

**Study for the measurement of  $\phi_3$  using  
 $B^0 \rightarrow DK^{*0}$  followed by  $D \rightarrow K_S \pi^+ \pi^-$  with  
model-independent Dalitz analysis**

**( $\phi_3$ 測定に向けたモデル依存の無いDalitz解析  
を用いた $B^0 \rightarrow DK^{*0}$ ,  $D \rightarrow K_S \pi^+ \pi^-$ 崩壊の研究)**

素粒子実験 根岸 健太郎

B1SD2015

平成27年 1月 29日



TOHOKU  
UNIVERSITY

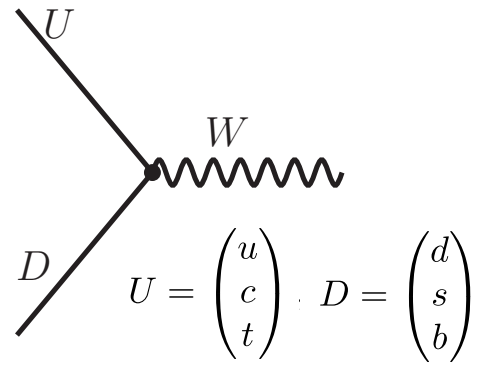


# 目次

|                                    |      |        |
|------------------------------------|------|--------|
| 1. $\phi_3$ 測定                     | D論本文 | 1章     |
| 2. Belle 実験                        |      | 2章     |
| 3. $B^0 \rightarrow DK^{*0}$ 崩壊の解析 |      | 3章     |
| – 信号再構成                            |      |        |
| – 背景事象除去                           |      |        |
| – $D\pi$ コントロールサンプルの研究             |      |        |
| 4. 結果                              |      | 4章     |
| – 信号抽出                             |      |        |
| – 統計誤差                             |      |        |
| – 系統誤差                             |      |        |
| 5. 結論、及び考察                         |      | 5 – 6章 |

# ユニタリ三角形

- KM機構 : 弱い相互作用のクォークセクターでCP非保存を説明



$$\mathcal{L}_{\text{int.}} = -\frac{g}{\sqrt{2}} (\bar{U}_L V_{CKM} \gamma_\mu D_L W_\mu^+) + h.c.$$

複素位相を持つ

$$V_{CKM} \equiv \begin{pmatrix} V_{ud} & V_{us} & V_{ub} \\ V_{cd} & V_{cs} & V_{cb} \\ V_{td} & V_{ts} & V_{tb} \end{pmatrix} \sim \begin{pmatrix} 1 - \lambda^2/2 & \lambda & A\lambda^3(\rho - i\eta) \\ -\lambda & 1 - \lambda^2/2 & A\lambda^2 \\ A\lambda^3(1 - \rho - i\eta) & -A\lambda^2 & 1 \end{pmatrix} + \mathcal{O}(\lambda^4)$$

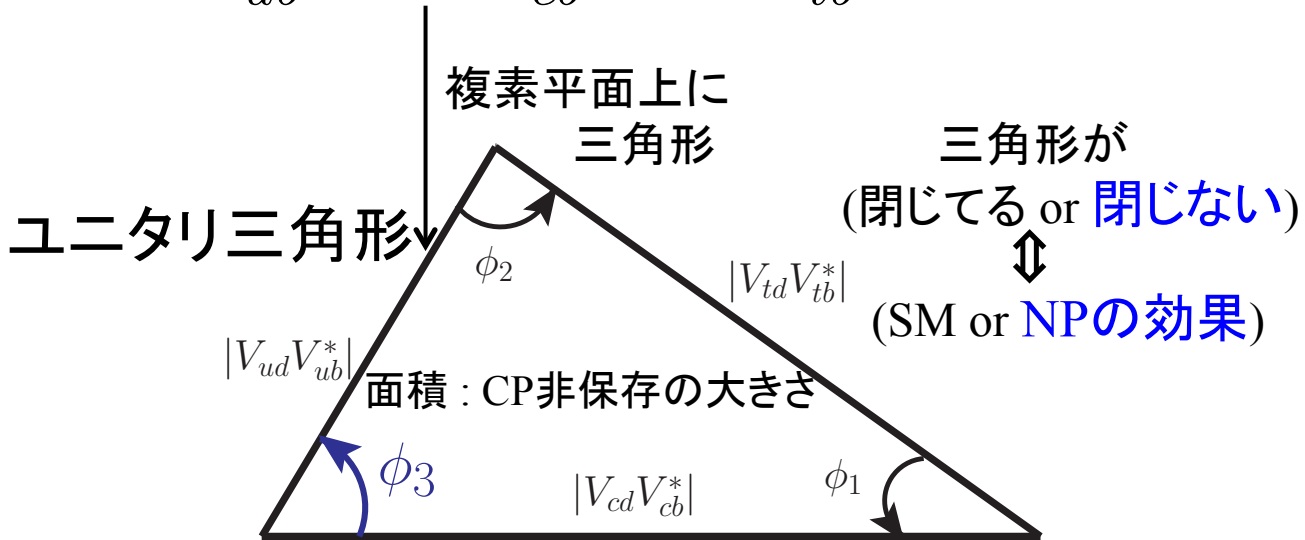
- CKM行列はユニタリ  $V_{CKM}^\dagger \cdot V_{CKM} = I$

- b列, d列に関しユニタリ条件

$$V_{ud}V_{ub}^* + V_{cd}V_{cb}^* + V_{td}V_{tb}^* = 0$$

CKMfitter 2014

$$\begin{aligned} \phi_1 &= (21.50_{-0.74}^{+0.75})^\circ \\ \phi_2 &= (85.4_{-3.9}^{+4.0})^\circ \\ \phi_3 &= (70.0_{-9.0}^{+7.7})^\circ \end{aligned}$$



• 角度  $\phi_3$  を測定

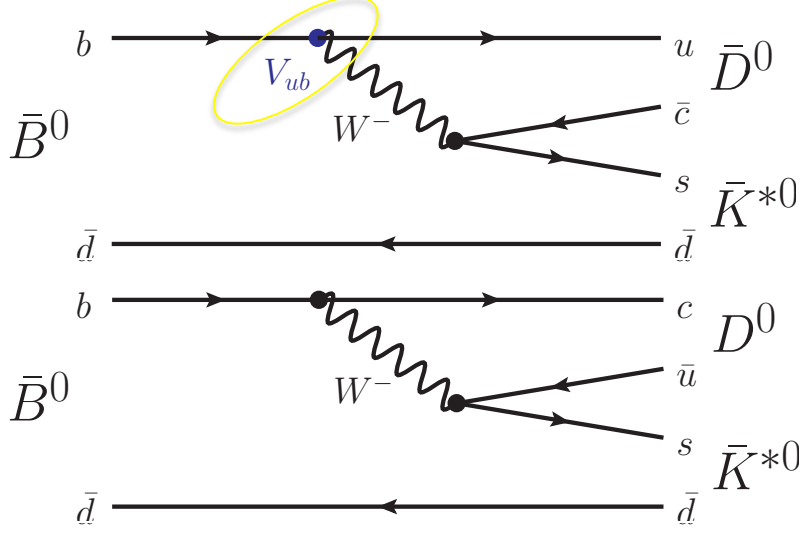
$$\phi_3 \equiv \arg \left( \frac{V_{ud}V_{ub}^*}{-V_{cd}V_{cb}^*} \right)$$

# φ<sub>3</sub> 測定

- φ<sub>3</sub> の測定は V<sub>ub</sub> の位相を測る事と同義

$$\phi_3 \equiv \arg \left( \frac{V_{ud}V_{ub}^*}{-V_{cd}V_{cb}^*} \right) \sim -\arg(V_{ub})$$

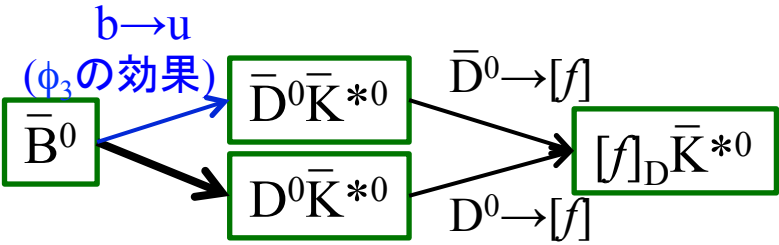
- B → DK 崩壊は b → u 遷移を含む経路と含まない経路が干渉する



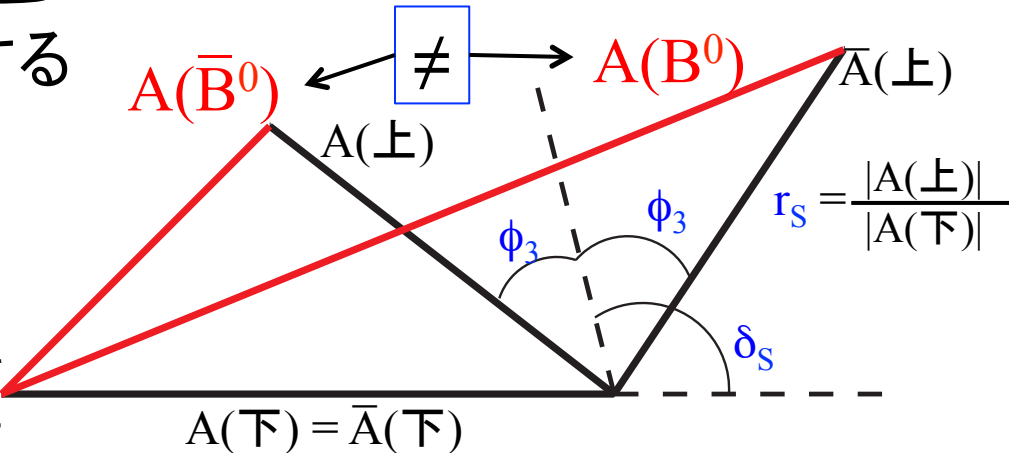
弱い相互作用位相差  
 $\equiv \phi_3$  (CPで符号反転)  
 強い相互作用位相差  
 $\equiv \delta_S$  (CPで符号反転せず)

$$r_S \equiv \frac{|\text{崩壊振幅(上}(V_{ub}\text{含む})|}{|\text{崩壊振幅(下)}|}$$

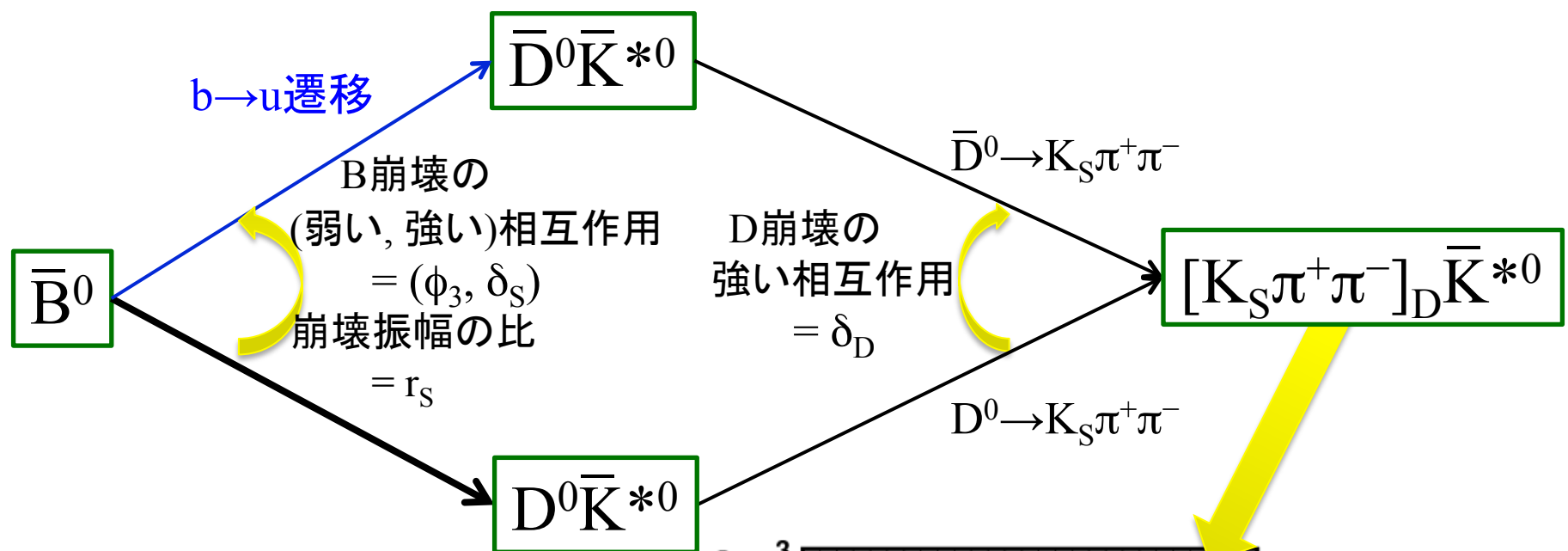
$\bar{D}^0, D^0$ が同じ終状態に崩壊する



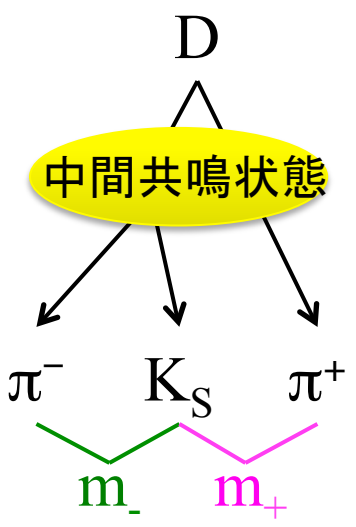
上下経路の干渉を経て  
CPが破れる様子



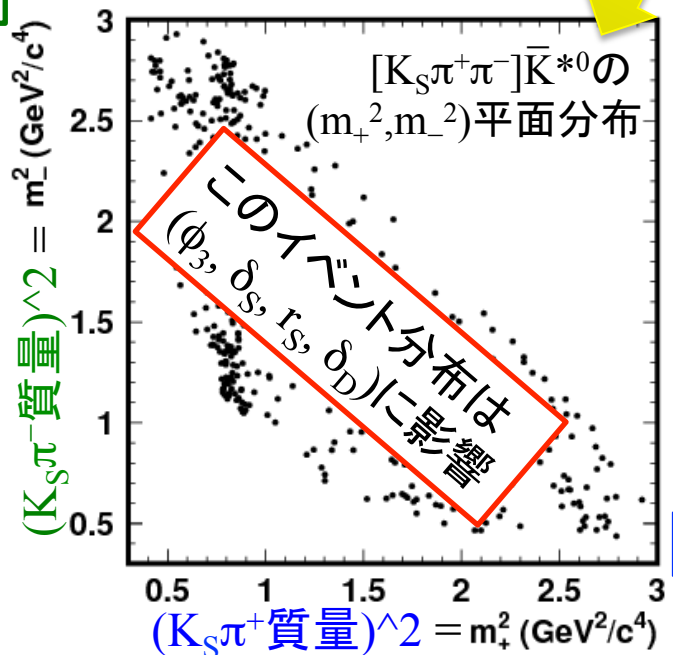
# B<sup>0</sup> → DK<sup>\*0</sup>崩壊のφ<sub>3</sub>測定



D → K<sub>S</sub>π<sup>+</sup>π<sup>-</sup>崩壊



(m<sub>+</sub><sup>2</sup>, m<sub>-</sub><sup>2</sup>)平面上で干渉の様子を観測する



B崩壊による  
(φ<sub>3</sub>, δ<sub>S</sub>, r<sub>S</sub>)は  
(m<sub>+</sub><sup>2</sup>, m<sub>-</sub><sup>2</sup>)よらない

D崩壊による  
δ<sub>D</sub>は  
(m<sub>+</sub><sup>2</sup>, m<sub>-</sub><sup>2</sup>)による

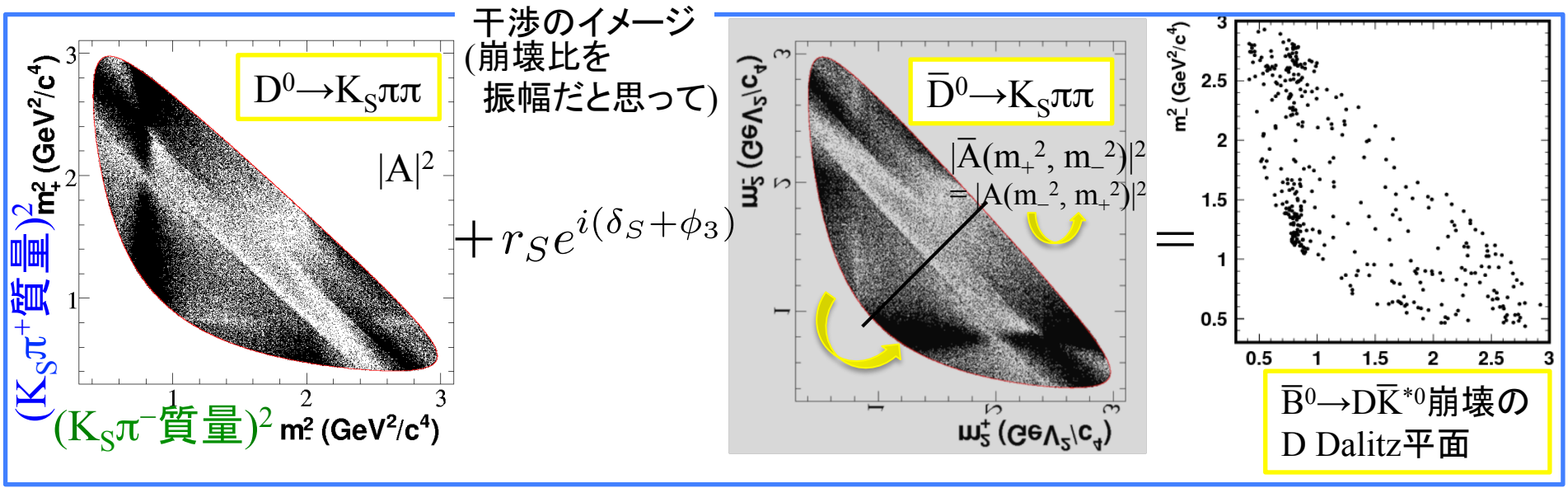
$\delta_D \equiv \delta_D(m_+^2, m_-^2)$

# Dalitz 解析 (GGSZ 法)

$(m_+^2, m_-^2)$  平面 ( $\equiv$  **Dalitz 平面**) 上での干渉の様子を観測する

崩壊振幅 (Dalitz平面上各点での)  $A \equiv A(m_+^2, m_-^2)$

$$A(\bar{B}^0 \rightarrow D\bar{K}^{*0}) = A(D^0 \rightarrow K_S\pi^+\pi^-) + r_S e^{i(\delta_S + \phi_3)} A(\bar{D}^0 \rightarrow K_S\pi^+\pi^-)$$



$B^0 \rightarrow DK^{*0}$  イベント数  $(m_+^2, m_-^2)$  (正しく)

$$\begin{aligned} |A_{(\bar{B}^0 \rightarrow D\bar{K}^{*0})}|^2 &= |A_{(D^0 \rightarrow K_S\pi^+\pi^-)} + r_S e^{i(\delta_S + \phi_3)} A_{(\bar{D}^0 \rightarrow K_S\pi^+\pi^-)}|^2 \\ &= |A + r_S e^{i(\delta_S + \phi_3)} \bar{A}|^2 \\ &= |A|^2 + r_S^2 |\bar{A}|^2 + 2r_S |A| |\bar{A}| (\cos(\delta_S + \phi_3) \cos \delta_D + \sin(\delta_S + \phi_3) \sin \delta_D) \end{aligned}$$

$|A|(m_+^2, m_-^2)$  は  $D^0 \rightarrow K_S\pi^+\pi^-$  のイベント数を観測する事で解る

$\delta_D(m_+^2, m_-^2)$  さえ解れば  $(\phi_3, \delta_S, r_S)$  測定が可能

# Dalitz 解析 (GGSZ 法)

## Model-Independent Dalitz

CLEOから $\delta_D$ の測定値が報告された(Dalitz平面上のある領域(Bin)で平均したもの)

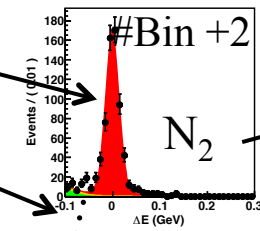
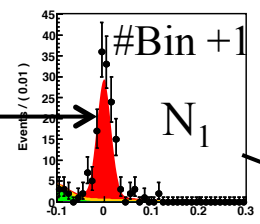
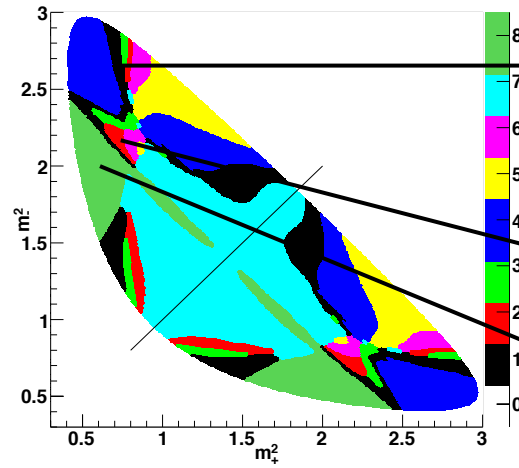
Phys.Rev. D82 (2010) 112006

$$c_i \sim \langle \cos \delta_D \rangle$$

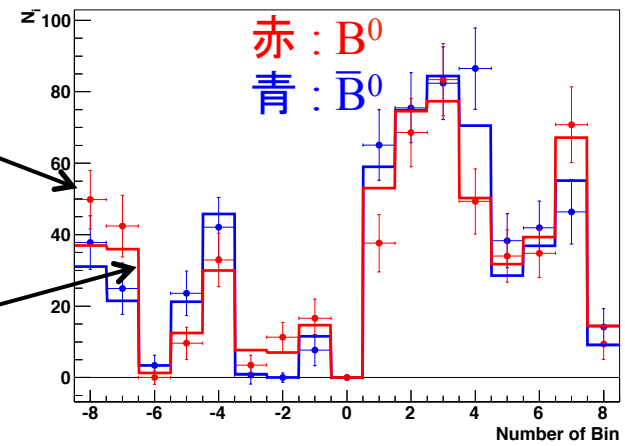
$$s_i \sim \langle \sin \delta_D \rangle$$

|       |        |
|-------|--------|
| $c_1$ | -0.009 |
| $c_2$ | +0.900 |
| $c_3$ | +0.292 |
| $c_4$ | -0.890 |
| $c_5$ | -0.208 |
| $c_6$ | +0.258 |
| $c_7$ | +0.869 |
| $c_8$ | +0.798 |
| $s_1$ | -0.438 |
| $s_2$ | -0.490 |
| $s_3$ | -1.243 |
| $s_4$ | -0.119 |
| $s_5$ | +0.853 |
| $s_6$ | +0.984 |
| $s_7$ | -0.041 |
| $s_8$ | -0.107 |

CLEOより



例



i Bin目のシグナル数  $N_i = h_B [K_i + (x^2 + y^2)K_{-i} + 2k\sqrt{K_i K_{-i}}(xc_i + ys_i)]$

$h_B$  : 規格化定数(フリーパラメター)

$K_i$  :  $D^0 \rightarrow K_S \pi \pi$  イベント数

$D^{*\pm} \rightarrow D^0 \pi^\pm, D^0 \rightarrow K_S \pi \pi$  から求める

$k$  : 補正係数(後述)

$$x_\pm = r_S \cos(\delta_S \pm \phi_3)$$

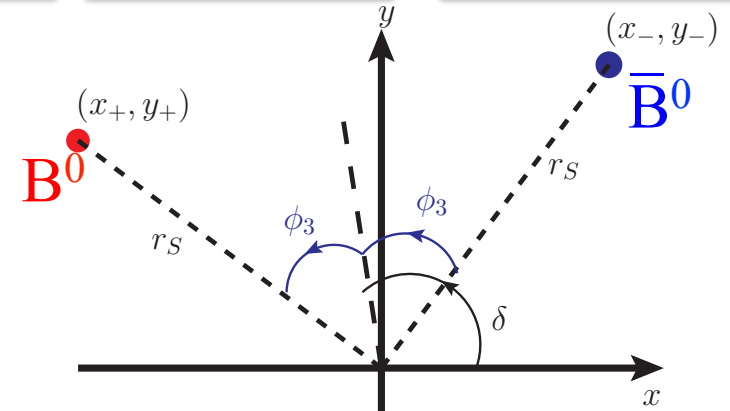
$$y_\pm = r_S \sin(\delta_S \pm \phi_3)$$

測定値

$\bar{B}^0 \rightarrow D^0 \bar{K}^{*0}$

$\bar{B}^0 \rightarrow \bar{D}^0 \bar{K}^{*0}$

干渉による項

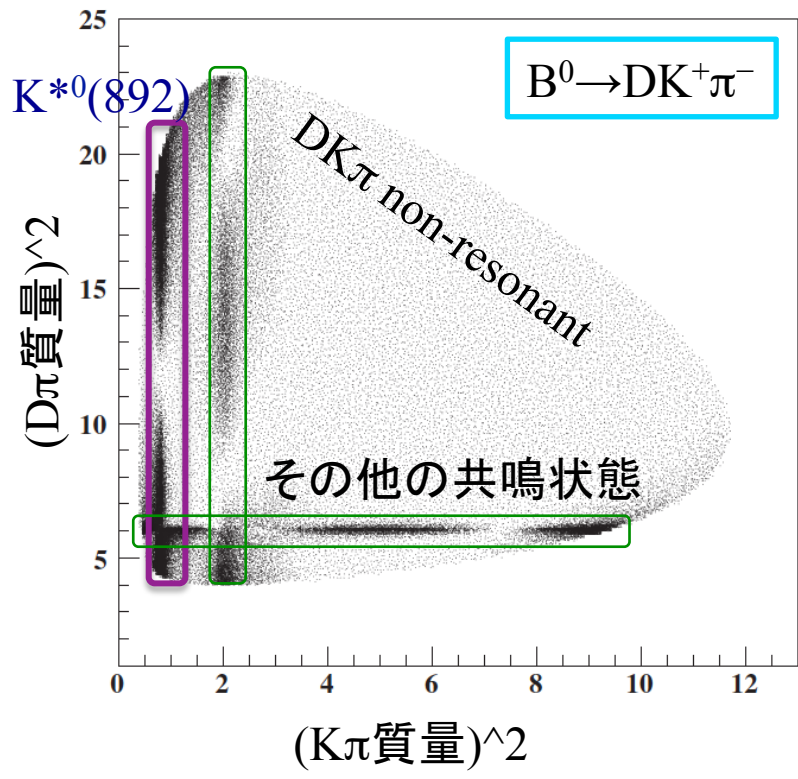


# k値

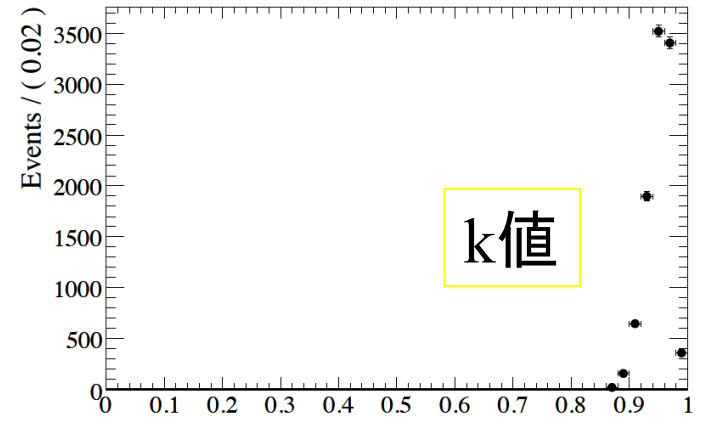
- DK $\pi$ , K\*の高次共鳴状態からの補正( $k (\leq 1)$ )が干渉項に掛かる

i Bin目のシグナル数

$$N_i = h_B [K_i + (x^2 + y^2)K_{-i} + 2k\sqrt{K_i K_{-i}}(xc_i + ys_i)]$$



B $^- \rightarrow D^0 K^{*-}$ 研究から類推される共鳴状態を  
 仮定したMCシミュレーション



$k = 0.95 \pm 0.03$  (BaBarより)

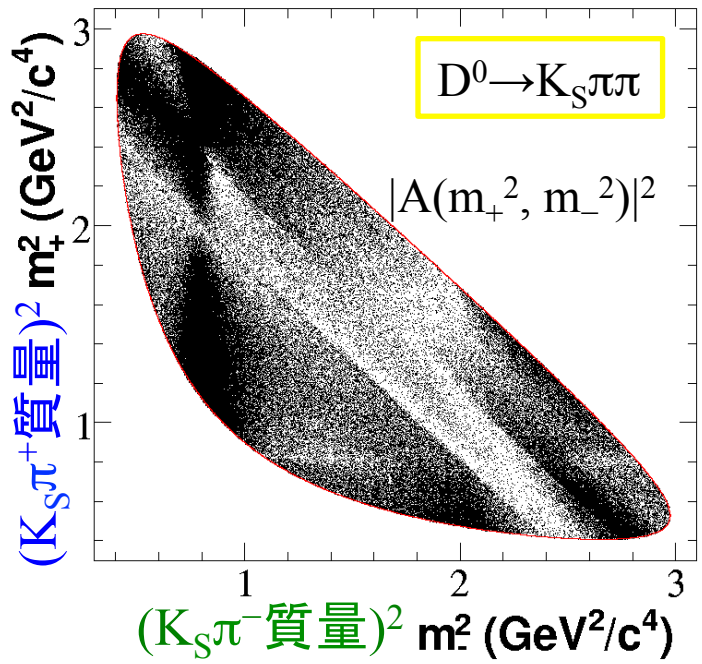
$k \sim 1$ ; K\* $^0(892)$ 以外の寄与が小さい  
 DK\* $^0$ 崩壊を用いて $\phi_3$ 測定が出来る

# Model-Independent vs Model-Dependent

- かつて, ( $\delta_D$ がCharm-Factoryから報告されていなかった)

$A(D^0 \rightarrow K_S \pi^+ \pi^-)(m_+^2, m_-^2)$ を

Modelを”仮定”し評価



| Intermediate state    | Amplitude           | Phase (°)       | Fit fraction (%)  |
|-----------------------|---------------------|-----------------|-------------------|
| $K_S \sigma_1$        | $1.56 \pm 0.06$     | $214 \pm 3$     | $11.0 \pm 0.7$    |
| $K_S \rho^0$          | 1.0 (fixed)         | 0 (fixed)       | $21.2 \pm 0.5$    |
| $K_S \omega$          | $0.0343 \pm 0.0008$ | $112.0 \pm 1.3$ | $0.526 \pm 0.014$ |
| $K_S f_0(980)$        | $0.385 \pm 0.006$   | $207.3 \pm 2.3$ | $4.72 \pm 0.05$   |
| $K_S \sigma_2$        | $0.20 \pm 0.02$     | $212 \pm 12$    | $0.54 \pm 0.10$   |
| $K_S f_2(1270)$       | $1.44 \pm 0.04$     | $342.9 \pm 1.7$ | $1.82 \pm 0.05$   |
| $K_S f_0(1370)$       | $1.56 \pm 0.12$     | $110 \pm 4$     | $1.9 \pm 0.3$     |
| $K_S \rho^0(1450)$    | $0.49 \pm 0.08$     | $64 \pm 11$     | $0.11 \pm 0.04$   |
| $K^*(892)^+ \pi^-$    | $1.638 \pm 0.010$   | $133.2 \pm 0.4$ | $62.9 \pm 0.8$    |
| $K^*(892)^- \pi^+$    | $0.149 \pm 0.004$   | $325.4 \pm 1.3$ | $0.526 \pm 0.016$ |
| $K^*(1410)^+ \pi^-$   | $0.65 \pm 0.05$     | $120 \pm 4$     | $0.49 \pm 0.07$   |
| $K^*(1410)^- \pi^+$   | $0.42 \pm 0.04$     | $253 \pm 5$     | $0.21 \pm 0.03$   |
| $K_0^*(1430)^+ \pi^-$ | $2.21 \pm 0.04$     | $358.9 \pm 1.1$ | $7.93 \pm 0.09$   |
| $K_0^*(1430)^- \pi^+$ | $0.36 \pm 0.03$     | $87 \pm 4$      | $0.22 \pm 0.04$   |
| $K_2^*(1430)^+ \pi^-$ | $0.89 \pm 0.03$     | $314.8 \pm 1.1$ | $1.40 \pm 0.06$   |
| $K_2^*(1430)^- \pi^+$ | $0.23 \pm 0.02$     | $275 \pm 6$     | $0.093 \pm 0.014$ |
| $K^*(1680)^+ \pi^-$   | $0.88 \pm 0.27$     | $82 \pm 17$     | $0.06 \pm 0.04$   |
| $K^*(1680)^- \pi^+$   | $2.1 \pm 0.2$       | $130 \pm 6$     | $0.30 \pm 0.07$   |
| Nonresonant           | $2.7 \pm 0.3$       | $160 \pm 5$     | $5.0 \pm 1.0$     |

**Modelの不定性が不可避**  
 (もし, 知らない共鳴状態が存在した  
 or 仮定した共鳴状態が実は無かった  
 or ...  
 →  $(\phi_3, r_S, \delta_S)$ の測定にバイアスを生む)

Belle フルデータ  $B^- \rightarrow DK^-$   
 Mod.-Dep. (2004) 統計 系統 Model不定性  
 $\phi_3 = 80.8^{+13.1}_{-14.8} \pm 5.0 \pm 8.9$   
 Mod.-Ind. (2012) 統計 系統  $c_i, s_i$ の測定精度  
 $\phi_3 = 77.3^{+15.1}_{-14.9} \pm 4.1 \pm 4.3$

# 中性B崩壊 荷電Bとの比較

- 荷電B崩壊に比べ稀崩壊

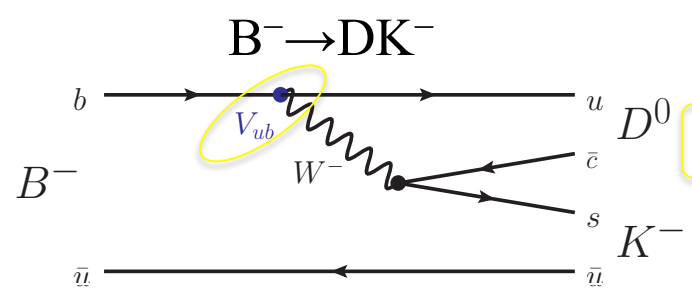
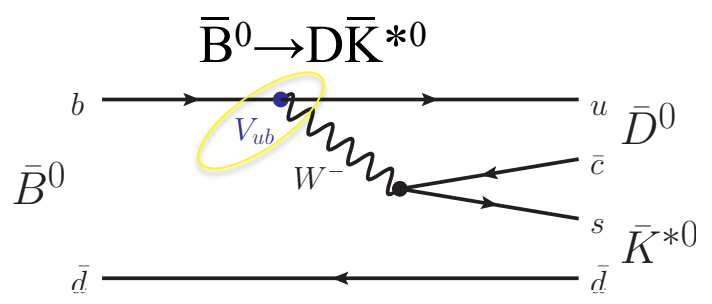
$$\text{Br}(B^0 \rightarrow \bar{D}^0 K^{*0}) = (4.2 \pm 0.6) \times 10^{-5}$$

$$\text{Br}(B^+ \rightarrow \bar{D}^0 K^+) = (3.65 \pm 0.33) \times 10^{-4}$$

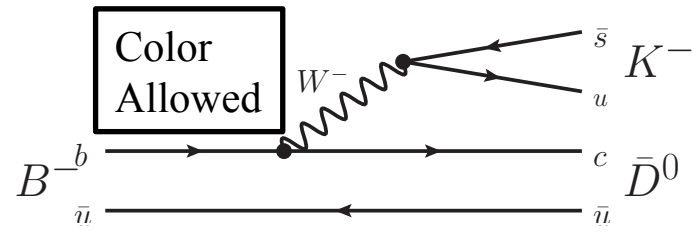
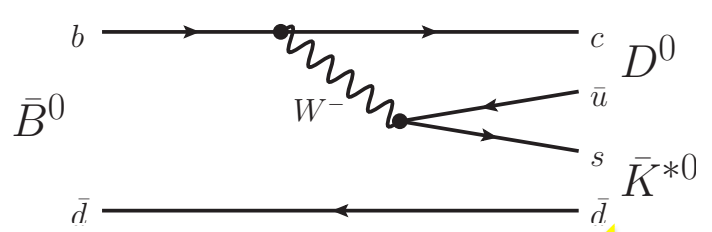
↑ ~1/10 ☹️  
シグナルが少ない

- ただし  $r$  ( $\phi_3$ の効果)は大きい

中性B崩壊の  $r_S$  は  $3\sigma$  以上で non-0 の測定出来ていない



b→u遷移( $\phi_3$ の効果)が入ってくる経路



$r_S = [0.2 - 0.4]$   
(予測値)

← ~3倍 ☺️

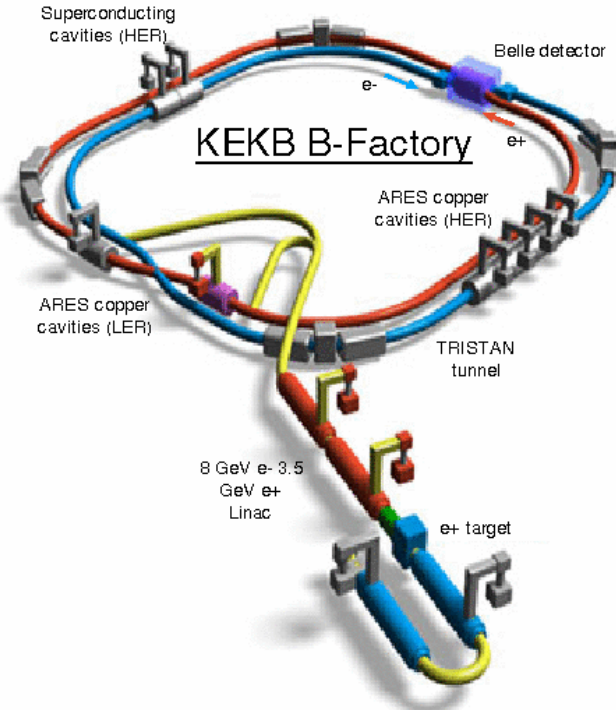
$r_B = 0.0972^{+0.0063}_{-0.0064}$   
CKMfitter 2014

中性Bを用いて, 荷電Bとは独立に  $\phi_3$  測定が期待出来る



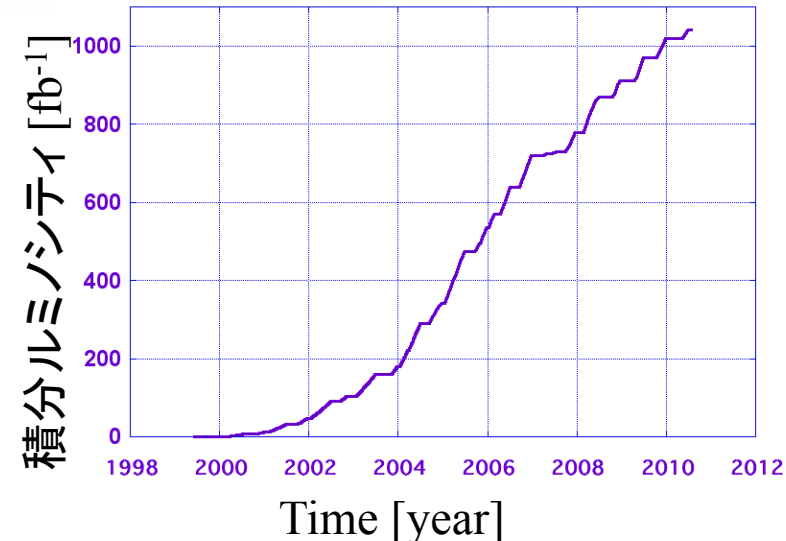
## 2. Belle 実験

# Belle実験 KEKB加速器



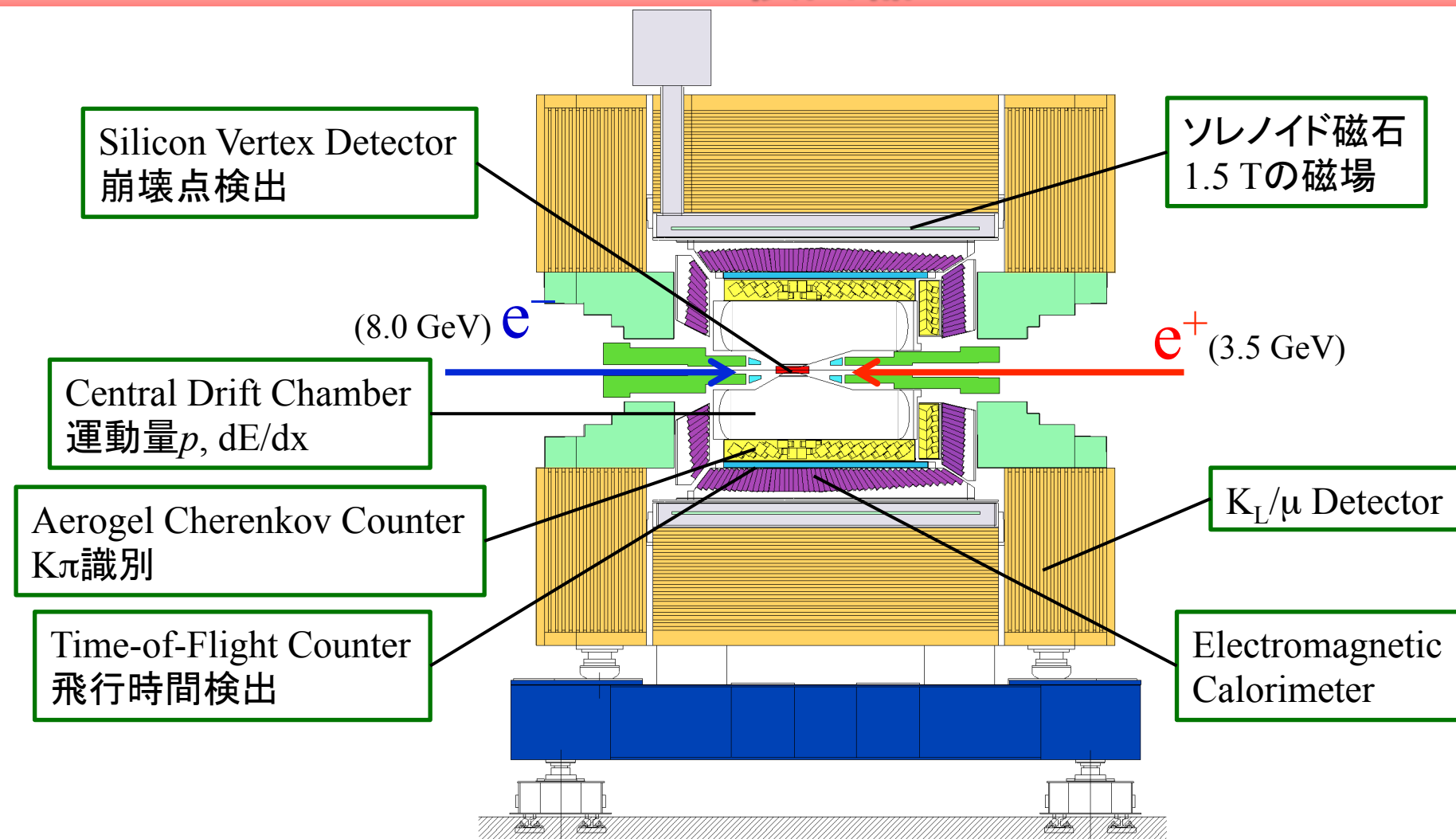
## KEKB加速器 (1999 – 2010)

- 重心エネルギー : 10.58 GeV
  - $Y(4S) \rightarrow B\bar{B}$  ( $\sim 100\%$ )
- 非対称エネルギー :  $\beta\gamma = 0.425$
- 世界最高のルミノシティ
  - (積分) :  $1040 \text{ fb}^{-1}$
  - (瞬間) :  $2.11 \times 10^{34} \text{ cm}^{-2}\text{s}^{-1}$



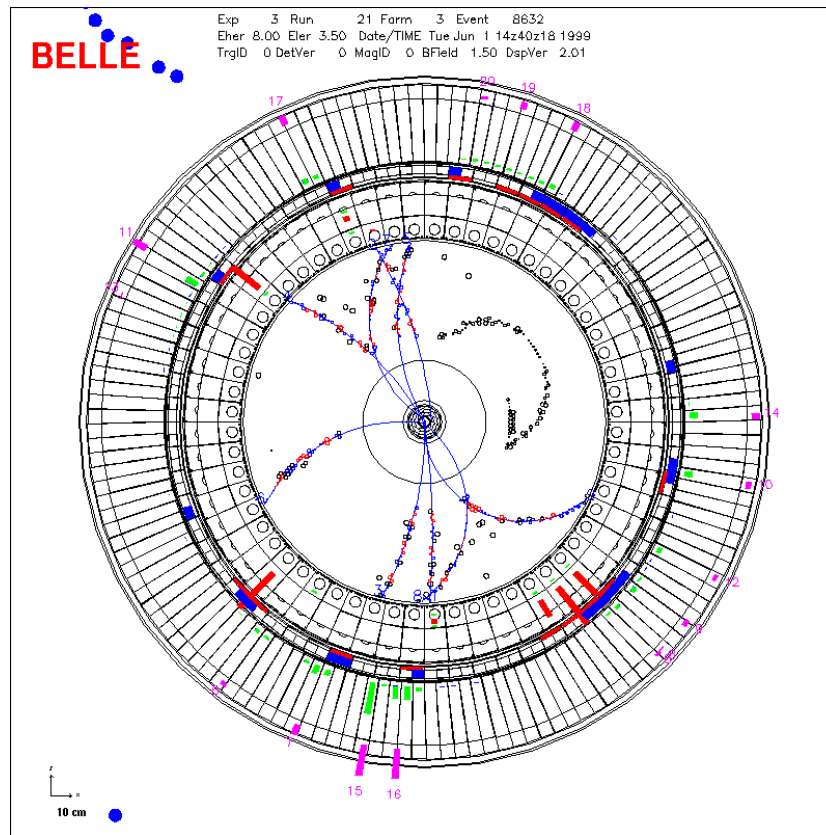
本解析では全Y(4S)データ  
( $711 \text{ fb}^{-1}$ , 7.72億 $B\bar{B}$ ペア)を使用

# Belle実験 Belle検出器



- 崩壊点分解能, 粒子識別能力が高い

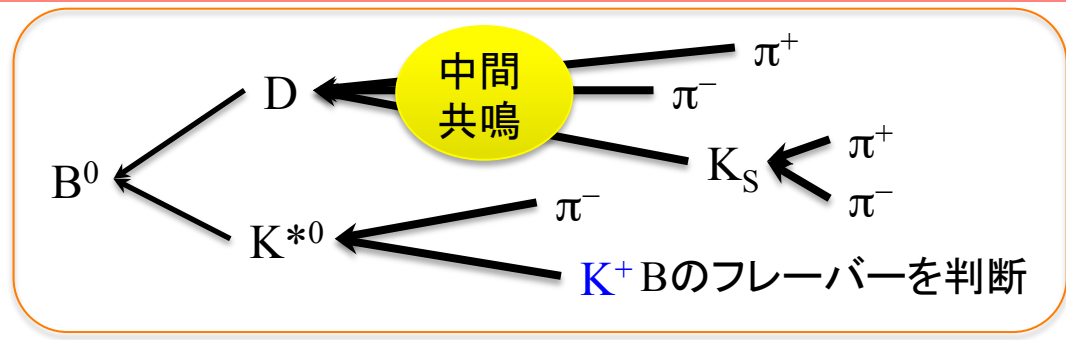
**B物理に適した実験, 検出器である**



### 3. $B^0 \rightarrow DK^{*0}$ 崩壊の解析

# シグナル再構成

$K_S, D, K^{*0}$ 中間子の再構成 15



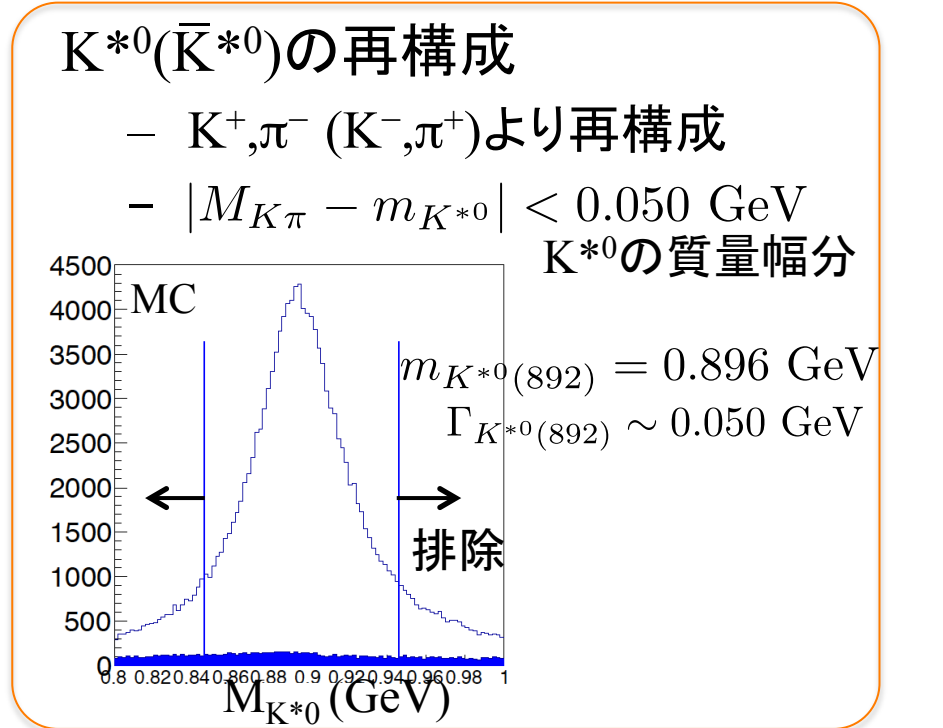
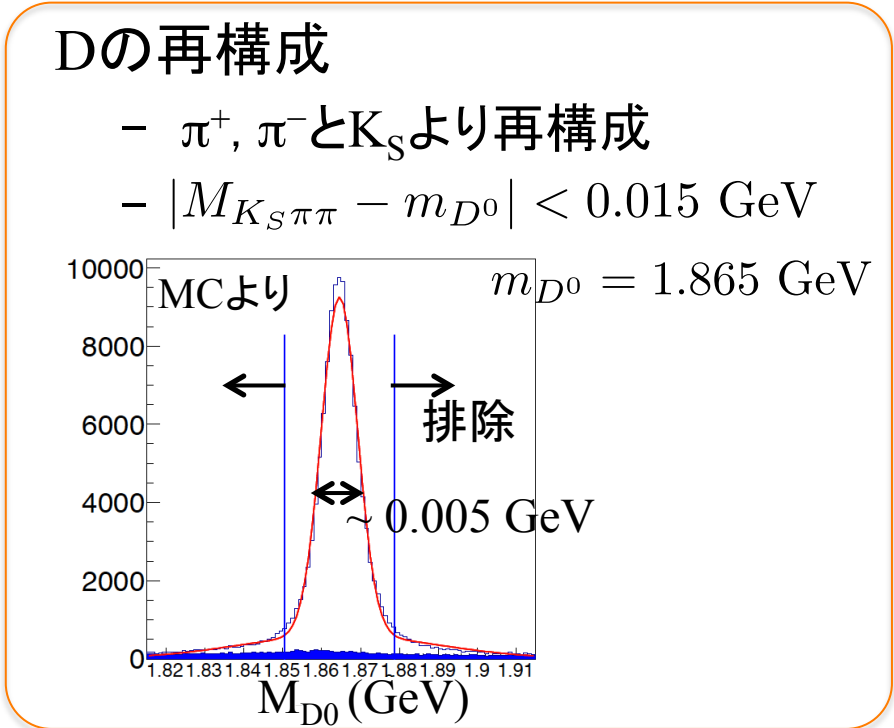
粒子識別( $K/\pi$ )  
 CDC, ACC, TOF情報から

- Efficiency 90 %
- Fake rate 10 %

$K_S$ は $\pi^+\pi^-$ から再構成  
 $K_S$ の特徴から

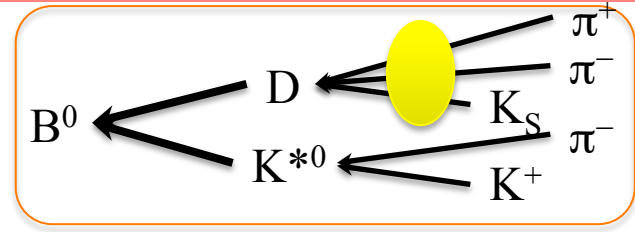
- Purity 94%
- Efficiency 87%

寿命が長い, ある程度飛ぶ



# シグナル再構成

## B<sup>0</sup>の再構成



粒子識別(K/π)  
CDC, ACC, TOF情報から

- Efficiency 90 %
- Fake rate 10 %

K<sub>S</sub>はπ<sup>+</sup>π<sup>-</sup>から再構成  
K<sub>S</sub>の特徴から

- Purity 94%
- Efficiency 87%

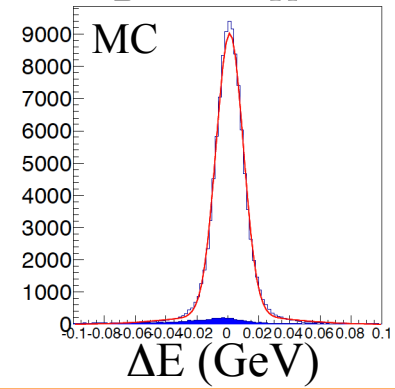
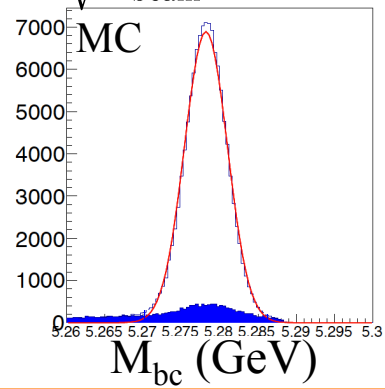
- Dの再構成
  - π<sup>+</sup>, π<sup>-</sup>とK<sub>S</sub>より再構成
  - $|M_{K_S\pi\pi} - m_{D^0}| < 0.015 \text{ GeV}$

- K\*<sup>0</sup>(K̄\*<sup>0</sup>)の再構成
  - K<sup>+</sup>, π<sup>-</sup> (K<sup>-</sup>, π<sup>+</sup>)より再構成
  - $|M_{K\pi} - m_{K^{*0}}| < 0.050 \text{ GeV}$

- B<sup>0</sup>の再構成  
(1イベント中複数のB<sup>0</sup>候補が組めた時)質量がB<sup>0</sup>質量に近いものを一つ選ぶ

•  $M_{bc} \equiv \sqrt{E_{\text{beam}}^2 - (\vec{p}_{D^0} + \vec{p}_{K^{*0}})^2}$

•  $\Delta E \equiv E_{D^0} + E_{K^{*0}} - E_{\text{beam}}$

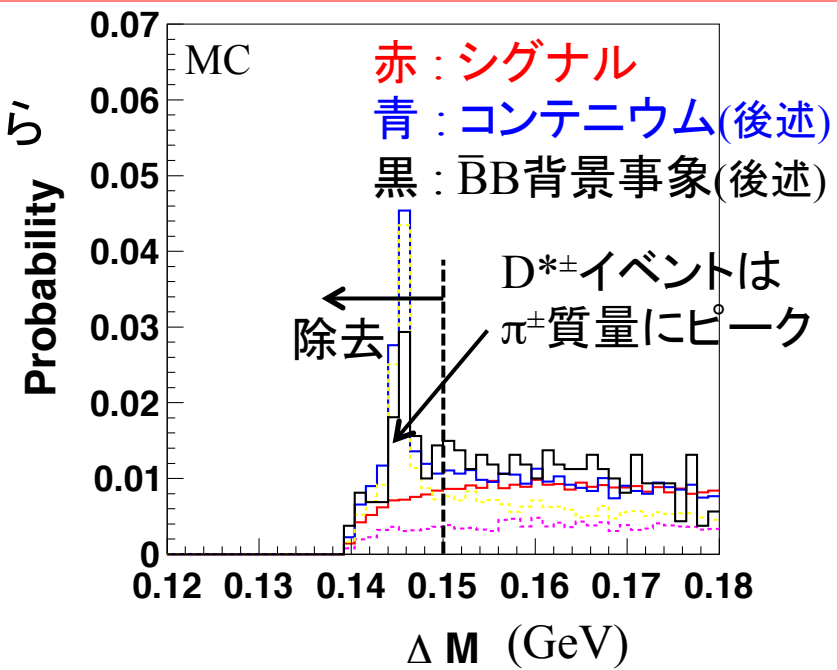
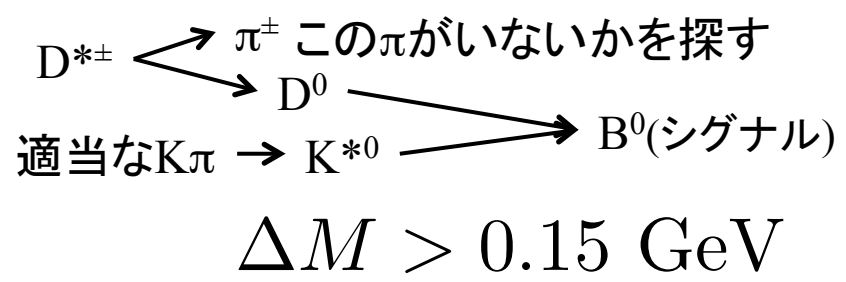


M<sub>bc</sub>, ΔEは  
シグナルの抽出に  
用いる

# 背景事象除去

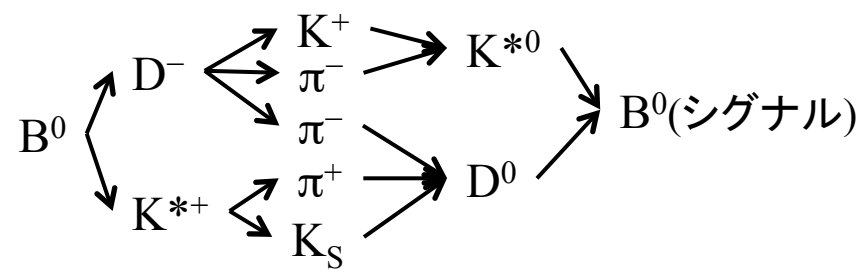
## • D\*±背景事象除去

- D\*±が含まれる背景事象はD\*±→D<sup>0</sup>π<sup>±</sup>からD<sup>0</sup>が生成されシグナルとして捉え易い
- D\*±とD<sup>0</sup>の質量差(ΔM)から除去

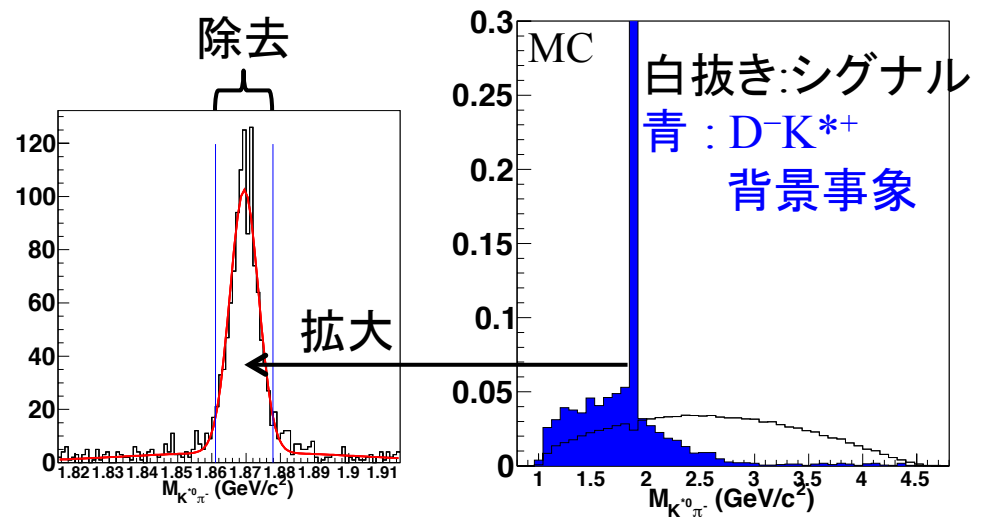


## • D<sup>-</sup>K\*<sup>+</sup>背景事象除去

- シグナルと終状態が同じ
- K\*<sup>0</sup>π<sup>-</sup>質量分布から除去



$$| M_{K^{*0}\pi^-} - m_{D^-} | > 0.04 \text{ GeV}$$



# 背景事象

- 特に中性Bの解析はシグナルの崩壊分岐比が小さく、  
背景事象の理解、評価がとても重要である
  - コンティニューウム背景事象
    - $e^+e^- \rightarrow q\bar{q}$ , ( $q = u, d, s, c$ ); Y(4S)以外の事象(次ページ)
  - $B\bar{B}$  背景事象
    - $e^+e^-$ から $B\bar{B}$  ペアが生成され、シグナル以外の崩壊をしているが、シグナルとして再構成されてしまう事象
      - $D^0$ が真な $B\bar{B}$ 背景事象
      - $D^0$ が偽な $B\bar{B}$ 背景事象
  - ピーキング背景事象
    - 特定の崩壊モードが特にシグナルに見え易く、シグナルの抽出に用いられるパラメータ( $\Delta E$ ,  $M_{bc}$ )でピークを作るもの
      - $D^0\rho^0$ 背景事象
      - $D^0a_1^+$ 背景事象

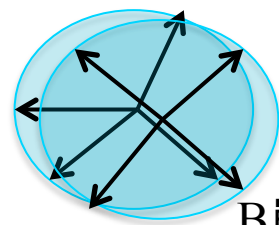
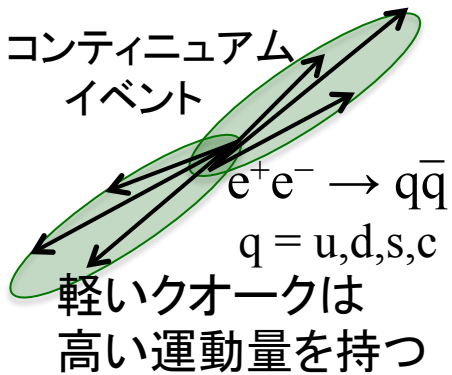
これら三種類の背景事象をシグナル抽出の際に同時に評価する

# コンティニューウム背景事象の抑制

コンティニューウム背景事象とは  $e^+e^-$  が  $(u,d,s,c)$  の軽いクオーク対を生成するイベント

| Process                      | $\sigma$ [nb] |
|------------------------------|---------------|
| $bb$                         | 1.1           |
| $c\bar{c}$                   | 1.3           |
| $q\bar{q}$ ( $q = u, d, s$ ) | 2.1           |

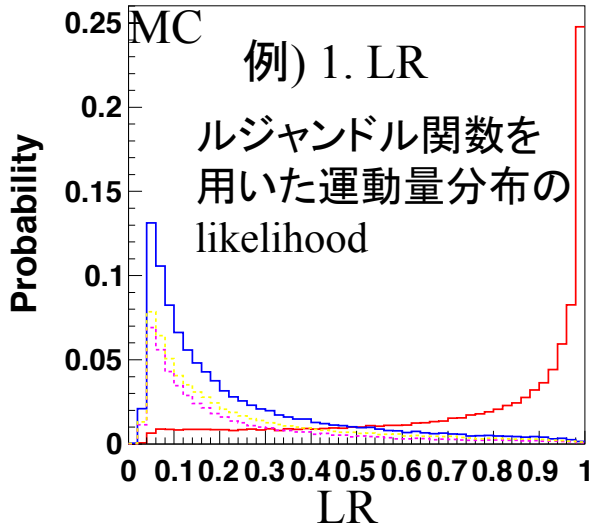
BBの~3倍



BBはほぼ静止状態で生成

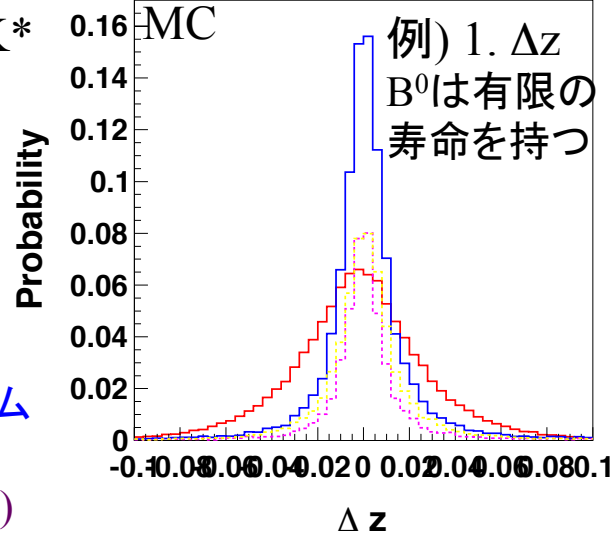
• コンティニューウム背景事象抑制に12の変数を用いる イベントトポロジーによる

1. LR
2.  $\cos\theta_{thr.}$
3.  $v1\_v1$
4.  $v2\_v2$
5.  $v3\_v3$
6.  $v1\_z$
7.  $thru_{oth.}$



B崩壊による

1.  $\Delta z$
2. dist. DK\*
3.  $|qr|$
4.  $\cos\theta_B$
5.  $\cos\theta_B^D$



赤:シグナル  
 青:コンティニューウム  
 緑破線:  $q = c$   
 紫破線:  $q = (u,d,s)$

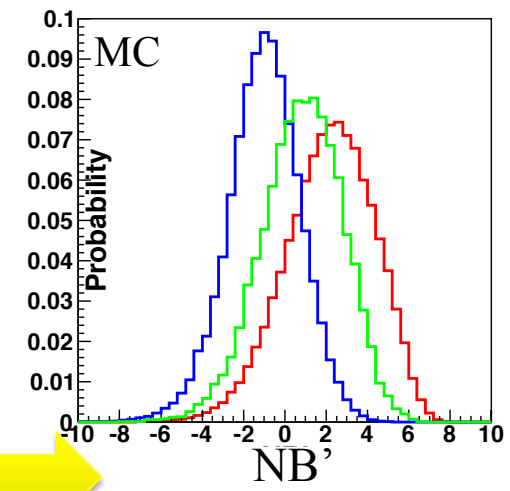
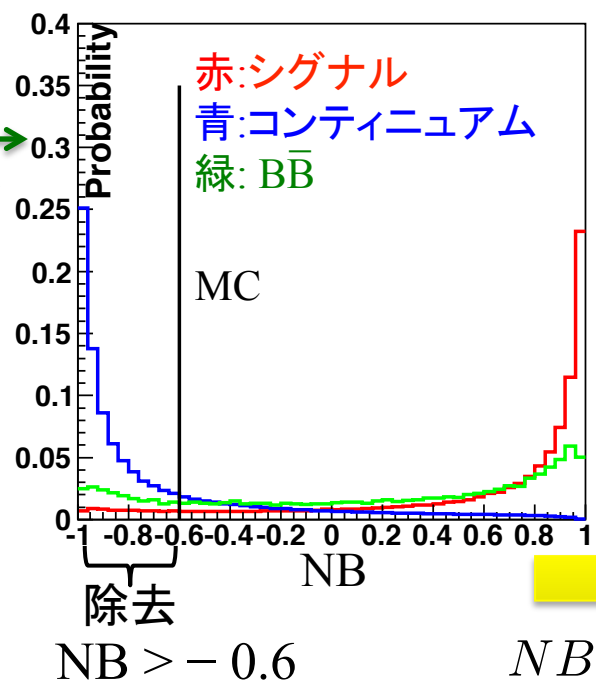
シグナルとコンティニューウム事象が分離可能なパラメータを見つけた

# コンティニューム背景事象の抑制

- コンティニューム背景事象抑制出来る12の変数をコンバイン (NeuroBayesというニューラルネット利用)

1. LR
2. v1\_v1
3. Δz
4. dist. DK\*
5. |qr|
6. cosθ<sub>B</sub>
7. cosθ<sub>thr</sub>
8. thru\_oth
9. v1\_z
10. v3\_v3
11. v2\_v2
12. cosθ<sup>D</sup><sub>B</sub>

NB = NB(LR, v1\_v1, ...)  
MCより求める



$$NB' \equiv \ln \left( \frac{NB - NB_{low}}{NB_{high} - NB} \right)$$

$$NB_{low} = -0.6$$

$$NB_{high} = 0.9992$$

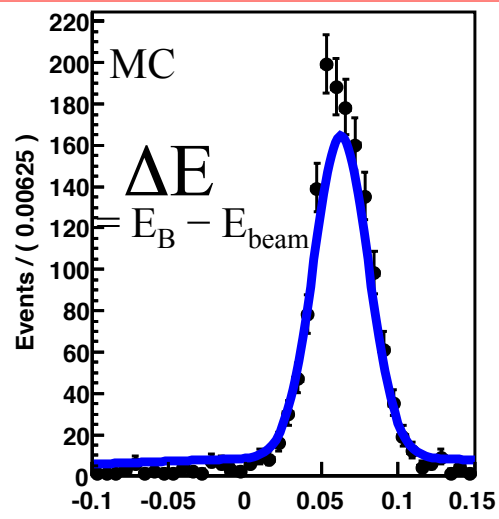
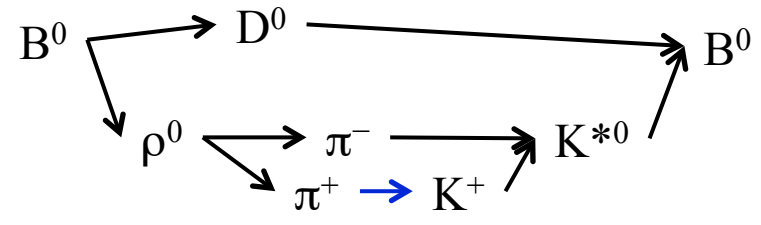
NB'に変換する事でフィットし易くなる

このNB'もシグナルの抽出に用いる  
→シグナルは(ΔE, NB', M<sub>bc</sub>)の3次元から抽出

# ピーキング背景事象

- 1つ粒子識別を間違えたイベント

- 例)  $D^0\rho^0$

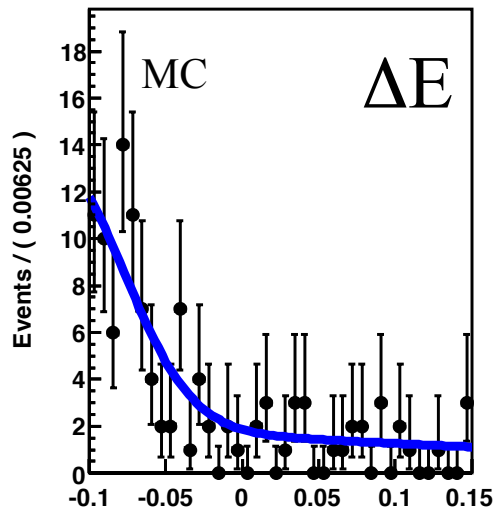
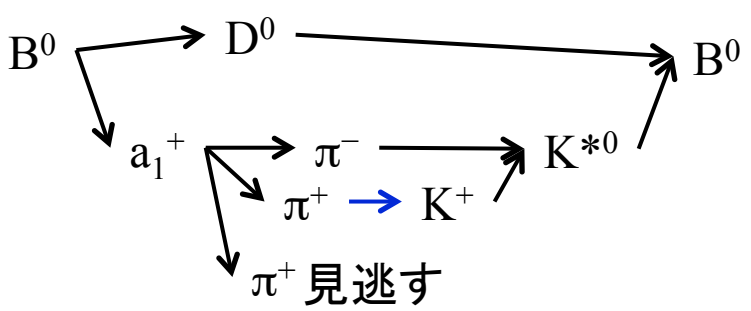


$\pi$ を $K$ と識別ミスしているので、 $m_\pi \rightarrow m_K$ 分運動量に応じて $\Delta E$ が正側にシフト( $\sim 0.05$  GeV)

B崩壊なので、コンテニューム抑制のNB'と $M_{bc}$ はシグナルとほぼ同様

- 1つ粒子識別を間違え $\pi$ を見逃すイベント

- 例)  $D^0 a_1^+, D^{*0} \rho^0$

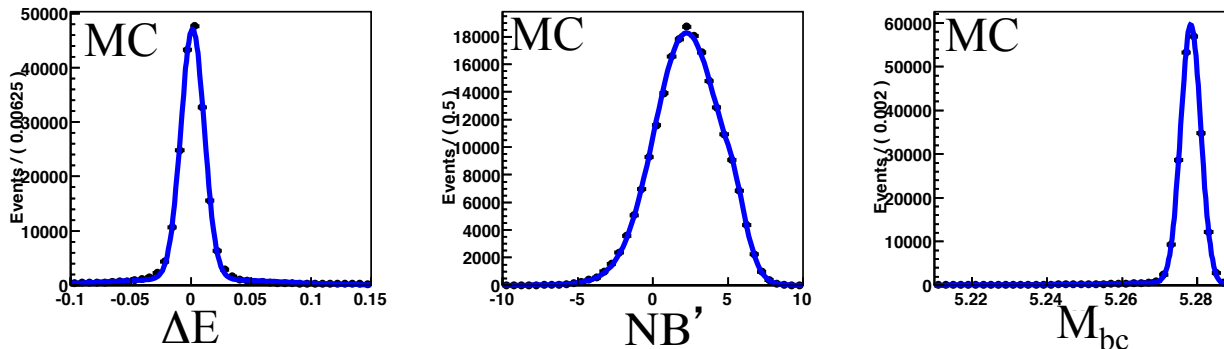


$\pi$ を1つ逃しているため、 $\Delta E \sim 0$  GeVから負側に鋭い立ち上がり

ピーキング背景事象はMCより分布の形を決めシグナル抽出時に同時に評価する

# シグナル抽出に用いるPDF

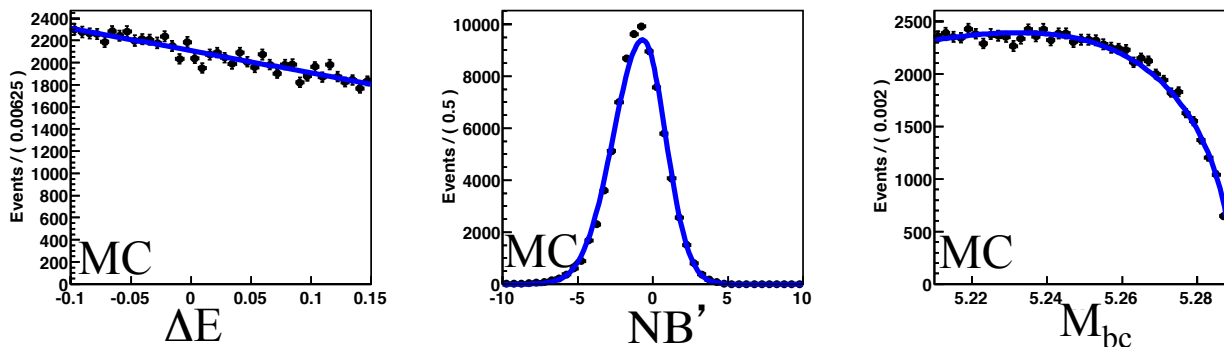
- シグナルは3次元( $\Delta E$ ,  $NB'$ ,  $M_{bc}$ )の分布をフィットして得る



MCから  
分布の形状を得る

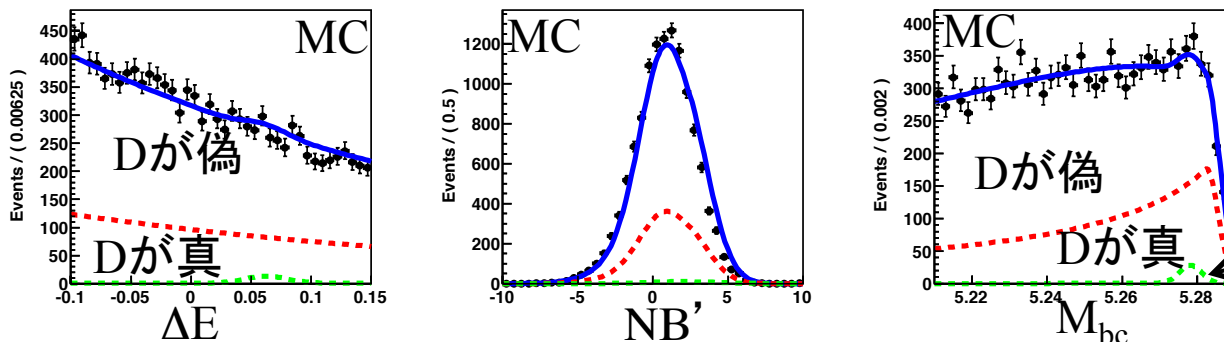
- 同時に(コンティニュウム,  $B\bar{B}$ , ピーキング)背景事象もフィットする

コンティニュウム



MCから  
分布の形状を得る

$B\bar{B}$  + ピーキング

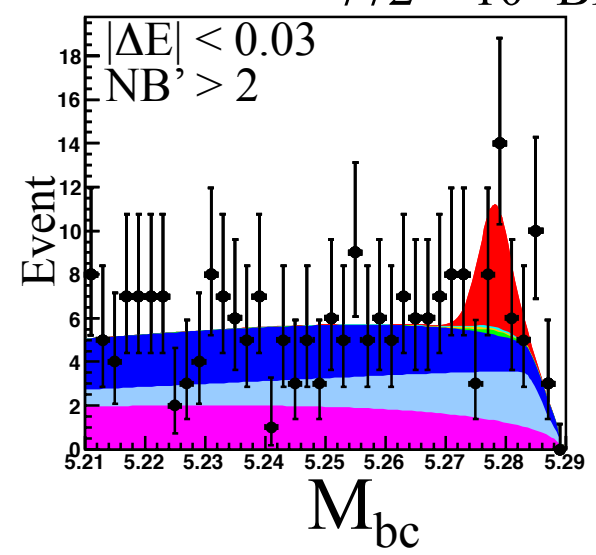
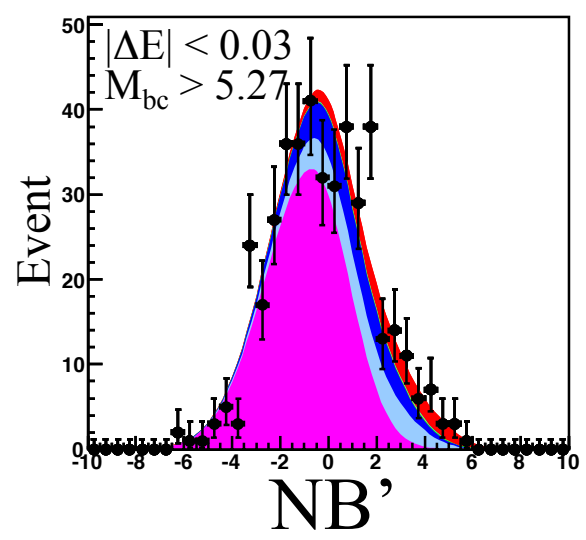
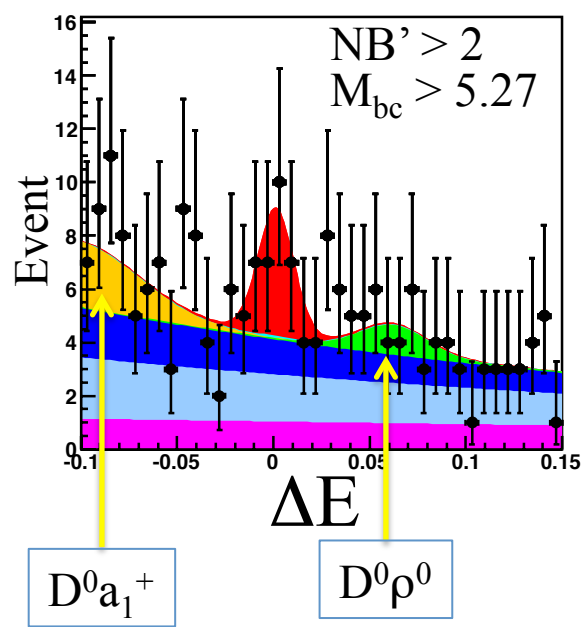


ピーキング背景事象

# シグナル抽出

- 3次元( $\Delta E$ ,  $NB'$ ,  $M_{bc}$ )フィットによりシグナル数を求める、  
ここで、Dalitz平面上Bin分けせず、シグナルの総数 $N_{total}$ を求めた

$772 \times 10^6 \bar{B}\bar{B}$



赤 : シグナル  
 青 :  $D^0$  偽  $\bar{B}\bar{B}$   
 水色 :  $D^0$  真  $\bar{B}\bar{B}$   
 紫 : コンティニューム

$N_{total} = 44.2^{+13.3}_{-12.1}$  イベント 誤差は統計誤差のみ  
 統計Significance =  $2.8 \sigma$

# D $\pi^\pm$ コントロールサンプルの解析

- D $\pi$ 崩壊(実データ)を用いて,  
Bin分けしたシグナル抽出で(x,y)が得られるか妥当性のチェック
  - D $\pi$ 崩壊  
DKと同様に $\phi_3$ 測定が可能
    - $\phi_3$ 感度は非常に低い  $r \sim 0.01$   $r = \frac{|\text{振幅}(\phi_3 \text{効果を含む崩壊})|}{|\text{振幅}(\phi_3 \text{効果を含まない崩壊})|}$
    - 信号数は非常に大きい  $\text{Br}(B^+ \rightarrow D^0 \pi^+) = (4.81 \pm 0.15) \times 10^{-3} \sim 100$ 倍  
大きい
  - $B^- \rightarrow DK^-$ を用いたモデル依存の無いDalitz解析でも  
コントロールサンプルとして用いられ, 結果が報告されている

$$x_- = -0.0045 \pm 0.0087 \pm 0.0056$$

$$y_- = -0.0231 \pm 0.0107 \pm 0.0077$$

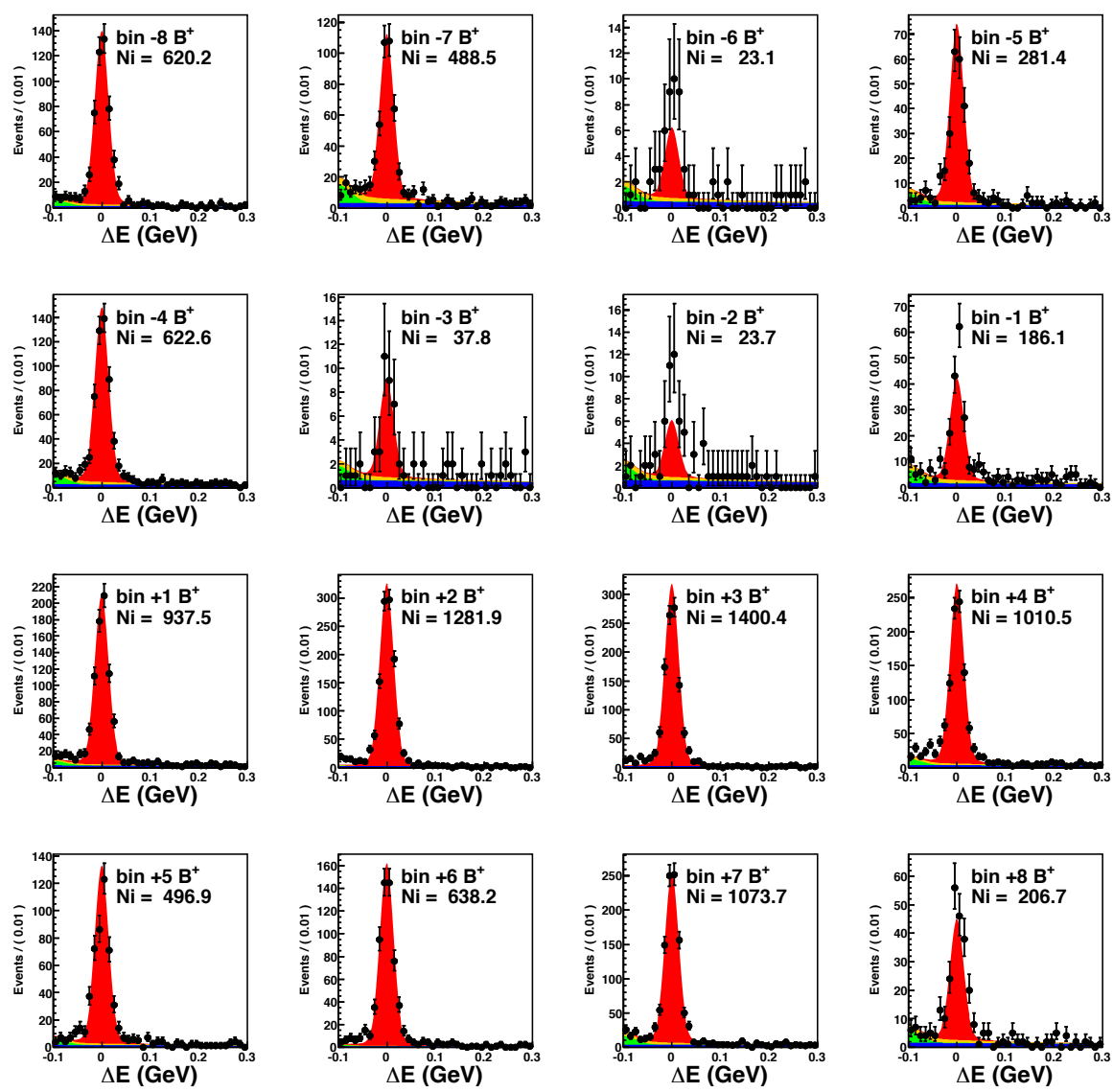
$$x_+ = -0.0172 \pm 0.0089 \pm 0.0065$$

$$y_+ = +0.0129 \pm 0.0103 \pm 0.0088$$

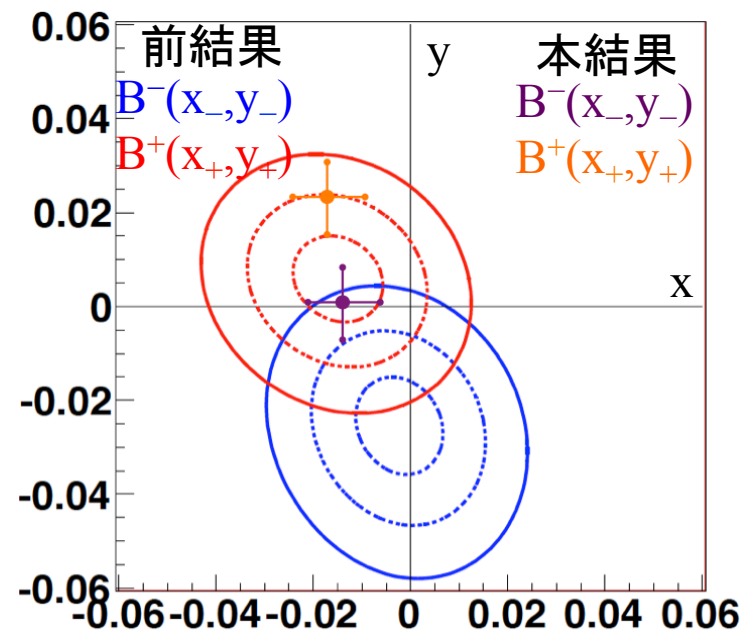
$r \sim 0.01$  から  
 $|x(\text{or } y)| \sim 0.01$ 程度を期待される  
**Phys.Rev. D85 (2012) 112014**  
 本解析と同じ  
 Belle実験のフルデータ

この先行研究と, 同じデータサンプルから  
コンシステントな結果を得られるかチェックする

# Dπ<sup>±</sup> コントロールサンプルの結果



$$\begin{aligned}
 x_- &= -0.0142 \pm 0.0077 \\
 y_- &= +0.0010 \pm 0.0076 \\
 x_+ &= -0.0169 \pm 0.0083 \\
 y_+ &= +0.0225 \pm 0.0076
 \end{aligned}$$

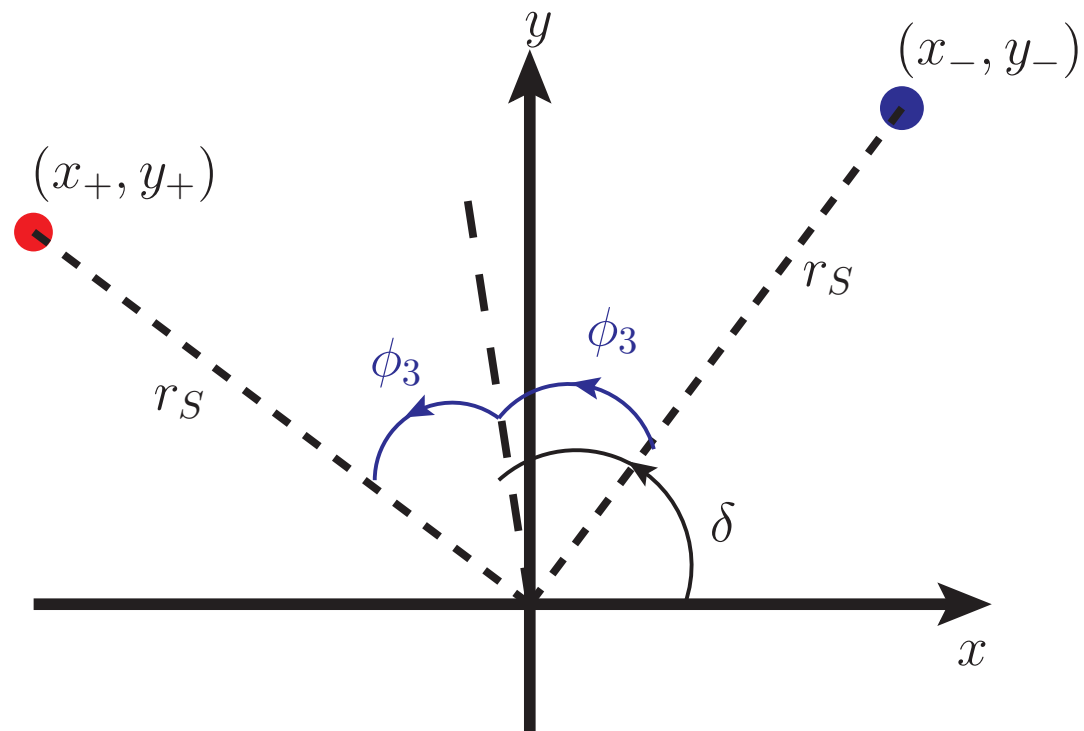


B<sup>-</sup>側(x<sub>-</sub>, y<sub>-</sub>)のズレは

- K<sub>S</sub>のセレクション
- コンテニューム抑制

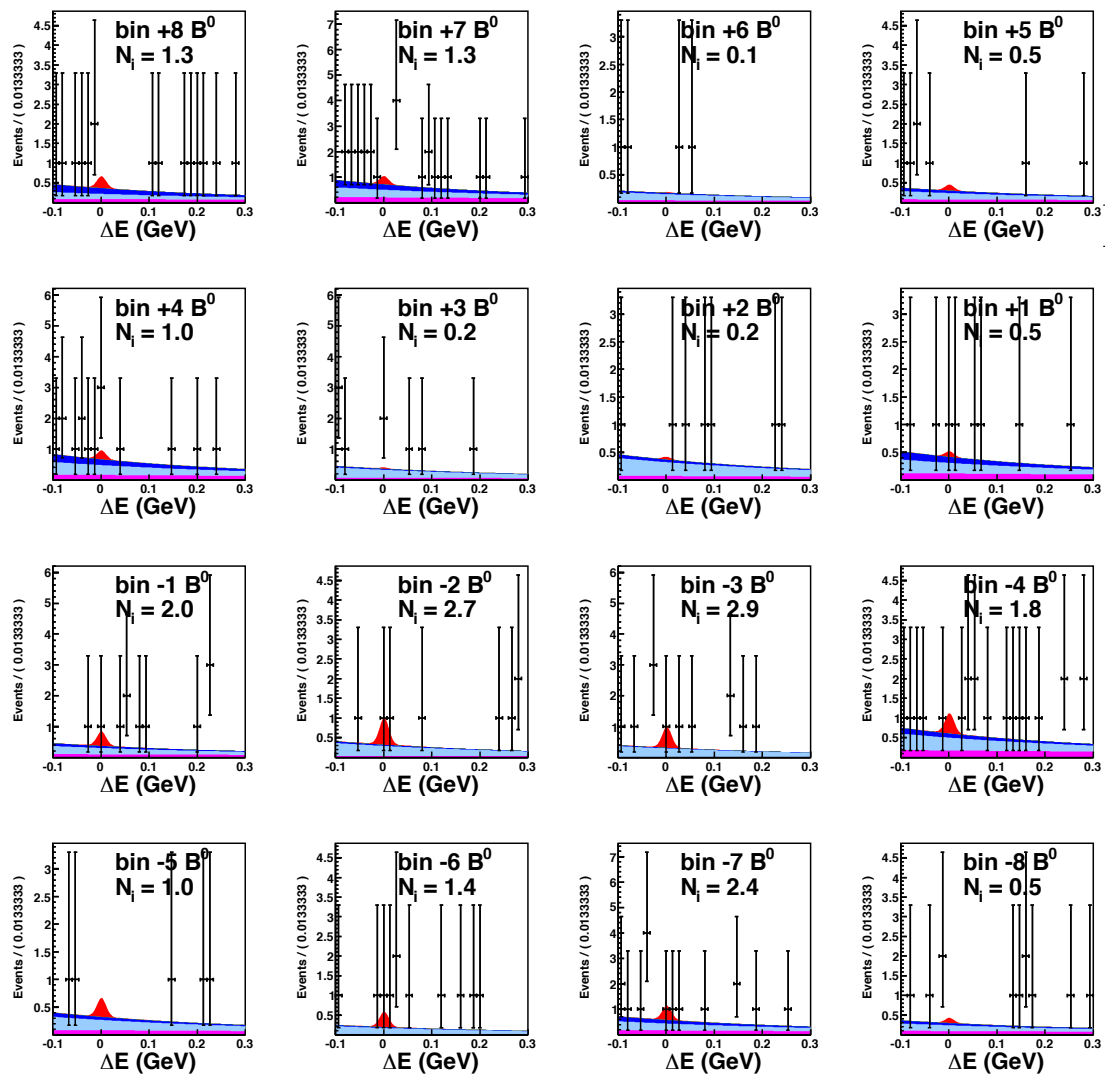
}と思われる

実データを用いて(x, y)フィットの妥当性を確認する事が出来た

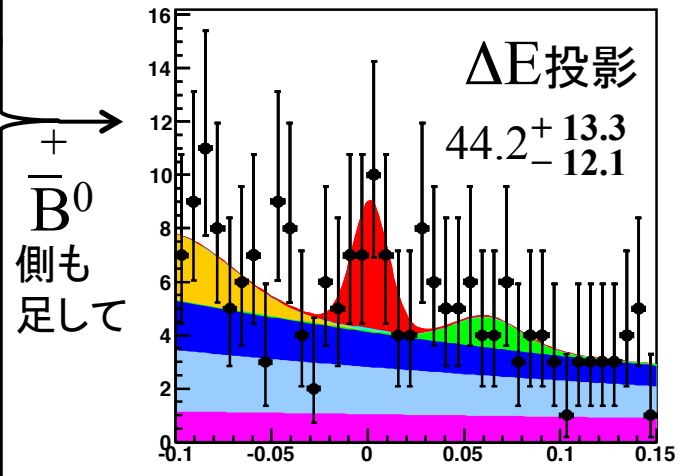


## 4. 結果

# DK\*0 実データにおける(x<sub>±</sub>, y<sub>±</sub>)の結果



背景事象のBin間の比を成分毎にMCで決定



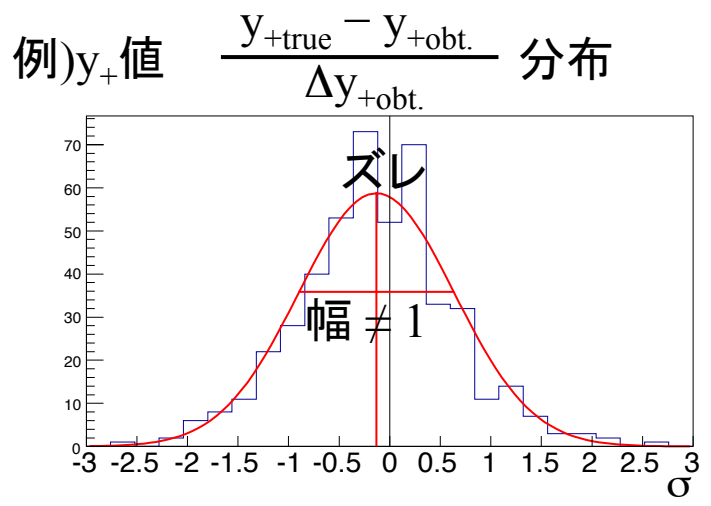
(x, y)<sub>meas.</sub> の結果  
(likelihood分布から)

$$\begin{aligned}
 x_{- \text{ meas.}} &= + 0.29^{+0.45}_{-0.42} \\
 y_{- \text{ meas.}} &= - 0.33^{+0.51}_{-0.54} \\
 x_{+ \text{ meas.}} &= + 0.07^{+0.55}_{-0.40} \\
 y_{+ \text{ meas.}} &= + 0.05^{+0.51}_{-0.63}
 \end{aligned}$$

測定値からフィットバイアスを含む真値, 統計誤差を求める →次ページ

# Feldman-Cousin frequentist法

- 真値, 統計誤差をFeldman-Cousin法を用いて求める



統計誤差を表現出来ていれば  
中心値0, 幅1のガウシアンになる

## 少数統計による

大統計でstandardなガウシアンになる事を確認

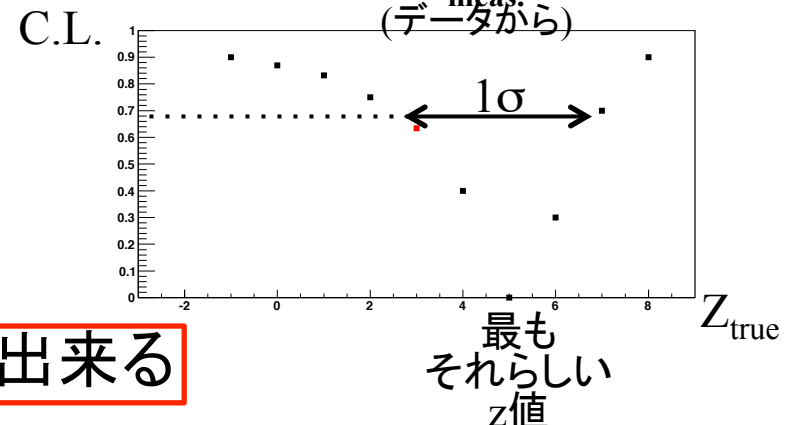
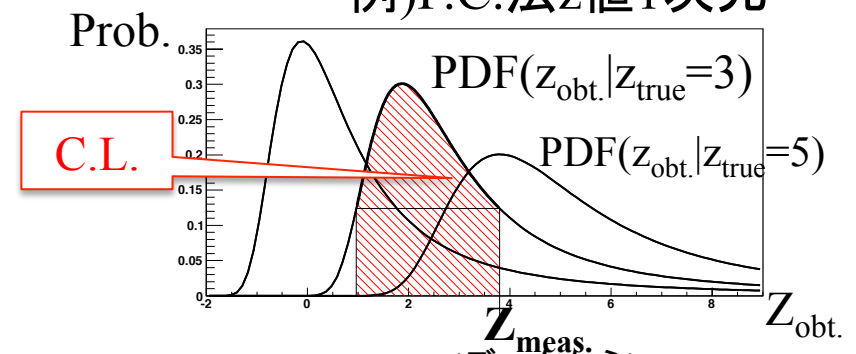
- 一次元(z値)でのF.C.法

1. Probability Density Function  
(真値が  $z_{true}$  の時の  $z_{obt.}$  分布)を得る

1.5. データから  $z_{meas.}$  を得る

2.  $PDF > PDF(z_{meas.} | z_{true})$  領域を  
積分し Confidence Level ( $z_{true}$ ) と定義

例) F.C.法 z値1次元



測定値から真値と誤差を見積もる事が出来る

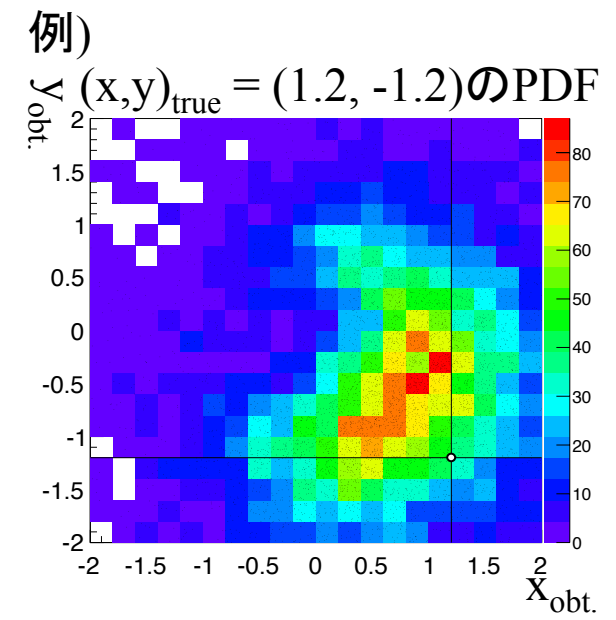
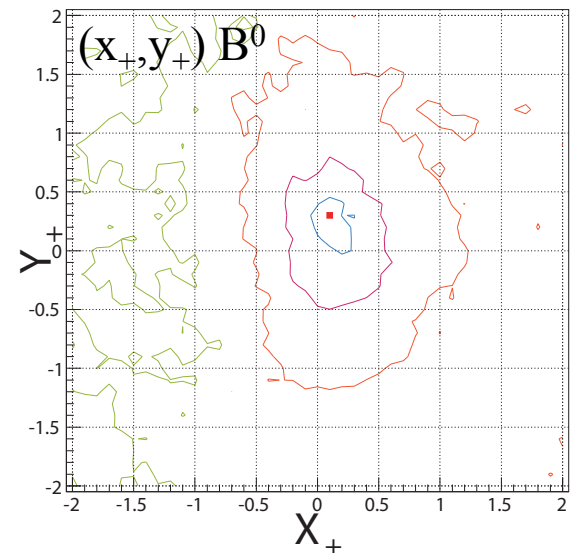
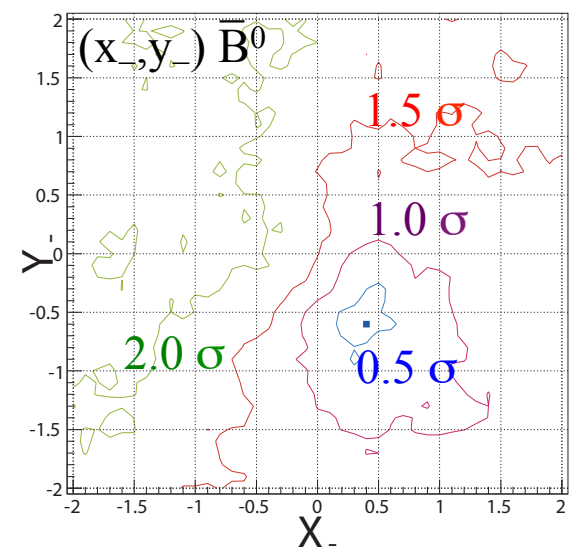
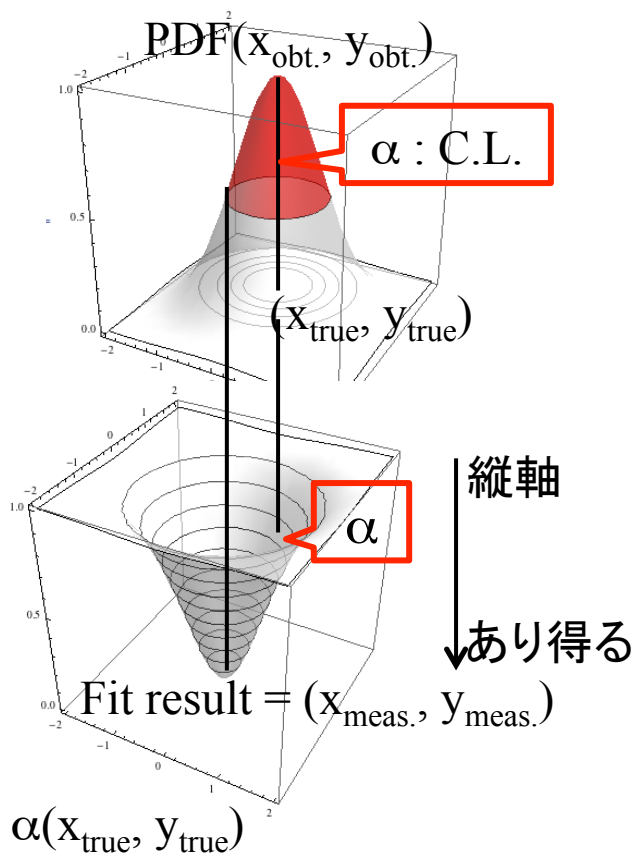
最も  
それらしい  
z値

# 統計誤差

- F.C.法を用いConfidence Level $(x,y)_{\text{true}}$ を測定

PDFは $N_i(x,y)_{\text{true}}$ をPoissonでふらつかせたMCシミュレーションより求める

## 二次元F.C.法



$(x, y)$  結果 統計誤差のみ

$$\begin{aligned}
 x_- &= +0.4 \begin{matrix} +1.1 \\ -0.6 \end{matrix} \\
 y_- &= -0.6 \begin{matrix} +0.8 \\ -1.0 \end{matrix} \\
 x_+ &= +0.1 \begin{matrix} +0.7 \\ -0.4 \end{matrix} \\
 y_+ &= +0.3 \begin{matrix} +0.5 \\ -0.8 \end{matrix}
 \end{aligned}$$

# 系統誤差

- 1) Dalitz図上Bin毎の検出効率の補正
- 2) Dalitz図上Bin間のCross-feedの補正
- 3) 三次元フィット時のPDFの誤差
- 4)  $D^0$ 崩壊の統計誤差( $K_i$ の誤差)
- 5)  $c_i, s_i$ の誤差(CLEOより)
- 6)  $k$ の誤差(BaBarより)

| Source of uncertainty              | $\Delta x_-$       | $\Delta y_-$       | $\Delta x_+$       | $\Delta y_+$       |
|------------------------------------|--------------------|--------------------|--------------------|--------------------|
| 1) Dalitz plots efficiency         | $\pm 0.00$         | $+0.01$<br>$-0.00$ | $\pm 0.01$         | $+0.00$<br>$-0.01$ |
| 2) Crossfeed between bins          | $\pm 0.00$         | $+0.01$<br>$-0.00$ | $+0.01$<br>$-0.00$ | $\pm 0.00$         |
| 3) PDF shape                       | $+0.01$<br>$-0.07$ | $+0.07$<br>$-0.01$ | $+0.01$<br>$-0.10$ | $+0.04$<br>$-0.06$ |
| Signal                             | $\pm 0.00$         | $\pm 0.00$         | $\pm 0.00$         | $\pm 0.00$         |
| $B\bar{B}$                         | $+0.01$<br>$-0.07$ | $+0.07$<br>$-0.01$ | $+0.01$<br>$-0.10$ | $+0.04$<br>$-0.06$ |
| Continuum                          | $\pm 0.00$         | $\pm 0.00$         | $\pm 0.00$         | $+0.00$            |
| $D^0\rho^0$                        | $\pm 0.00$         | $\pm 0.00$         | $\pm 0.00$         | $-0.01$<br>$+0.00$ |
| $D^0a_1^+$                         | $\pm 0.00$         | $+0.00$<br>$-0.01$ | $\pm 0.00$         | $\pm 0.00$         |
| 4) Flavor-tagged statistics        | $\pm 0.00$         | $\pm 0.00$         | $\pm 0.00$         | $+0.00$<br>$-0.01$ |
| 5) $c_i, s_i$ precision            | $\pm 0.03$         | $+0.09$<br>$-0.08$ | $\pm 0.05$         | $+0.08$<br>$-0.10$ |
| 6) $k$ precision                   | $\pm 0.00$         | $\pm 0.01$         | $\pm 0.00$         | $\pm 0.00$         |
| Total without $c_i, s_i$ precision | $+0.01$<br>$-0.07$ | $+0.07$<br>$-0.02$ | $+0.02$<br>$-0.10$ | $+0.04$<br>$-0.06$ |
| Total                              | $+0.03$<br>$-0.08$ | $+0.12$<br>$-0.08$ | $+0.05$<br>$-0.11$ | $+0.09$<br>$-0.12$ |

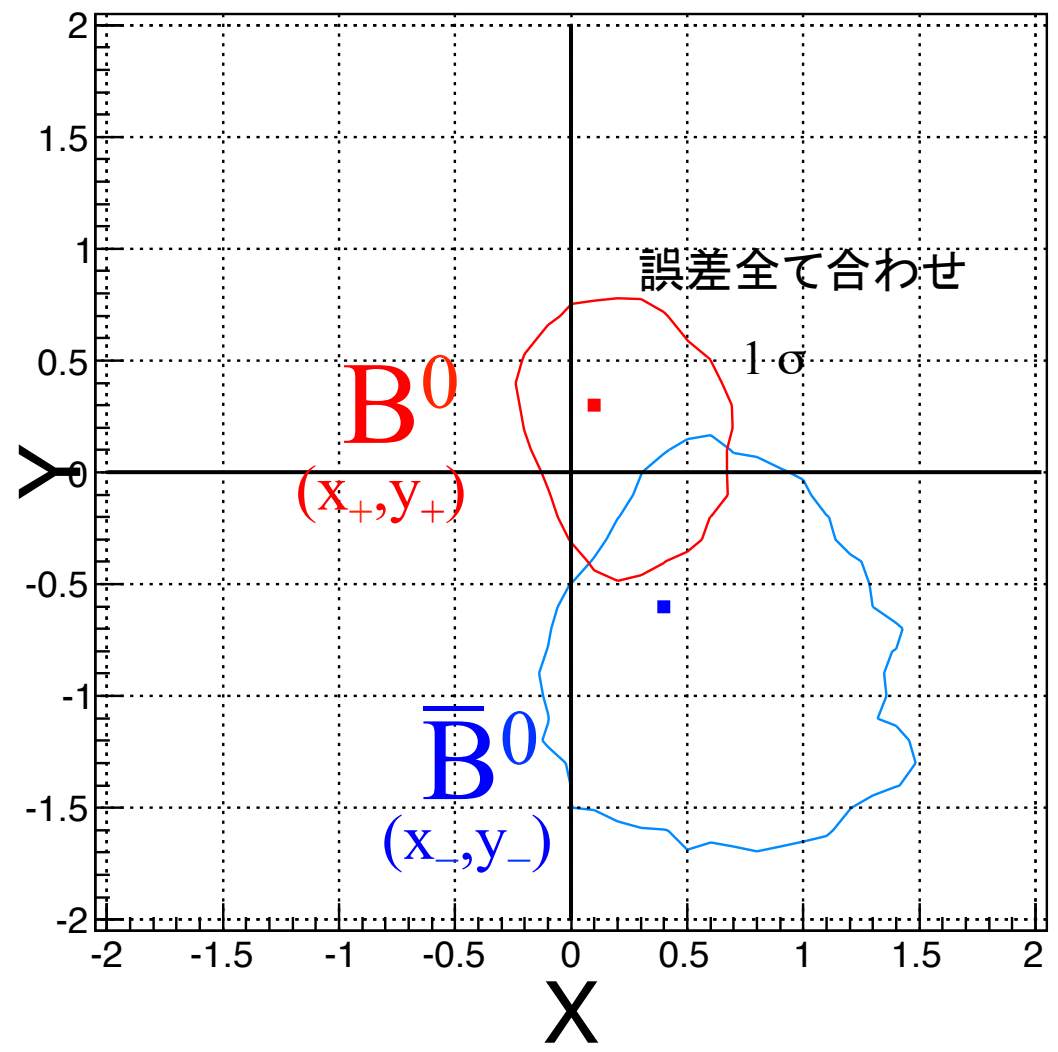
シグナル抽出のPDF(特に $B\bar{B}$ )  
 $D$ 崩壊の強い相互作用の位相差 $c_i, s_i$  } 支配的

$$\begin{array}{ll}
 \bullet \Delta x_- = \begin{array}{c} c_i, s_i \text{ 以外} \\ +0.0 \\ -0.1 \end{array} \pm 0.0 & \bullet \Delta x_+ = \begin{array}{c} c_i, s_i \\ +0.0 \\ -0.1 \end{array} \pm 0.1 \\
 \bullet \Delta y_- = \begin{array}{c} +0.1 \\ -0.0 \end{array} \pm 0.1 & \bullet \Delta y_+ = \begin{array}{c} +0.0 \\ -0.1 \end{array} \pm 0.1
 \end{array}$$

系統誤差は上記の誤差分に相当する(x,y)平面のガウシアンを仮定しPDFに畳込み, 統計誤差と系統誤差をコンバインする

# (x,y)測定の結果

- 系統誤差も含んだPDFから(x,y)平面上のC.L.を求める



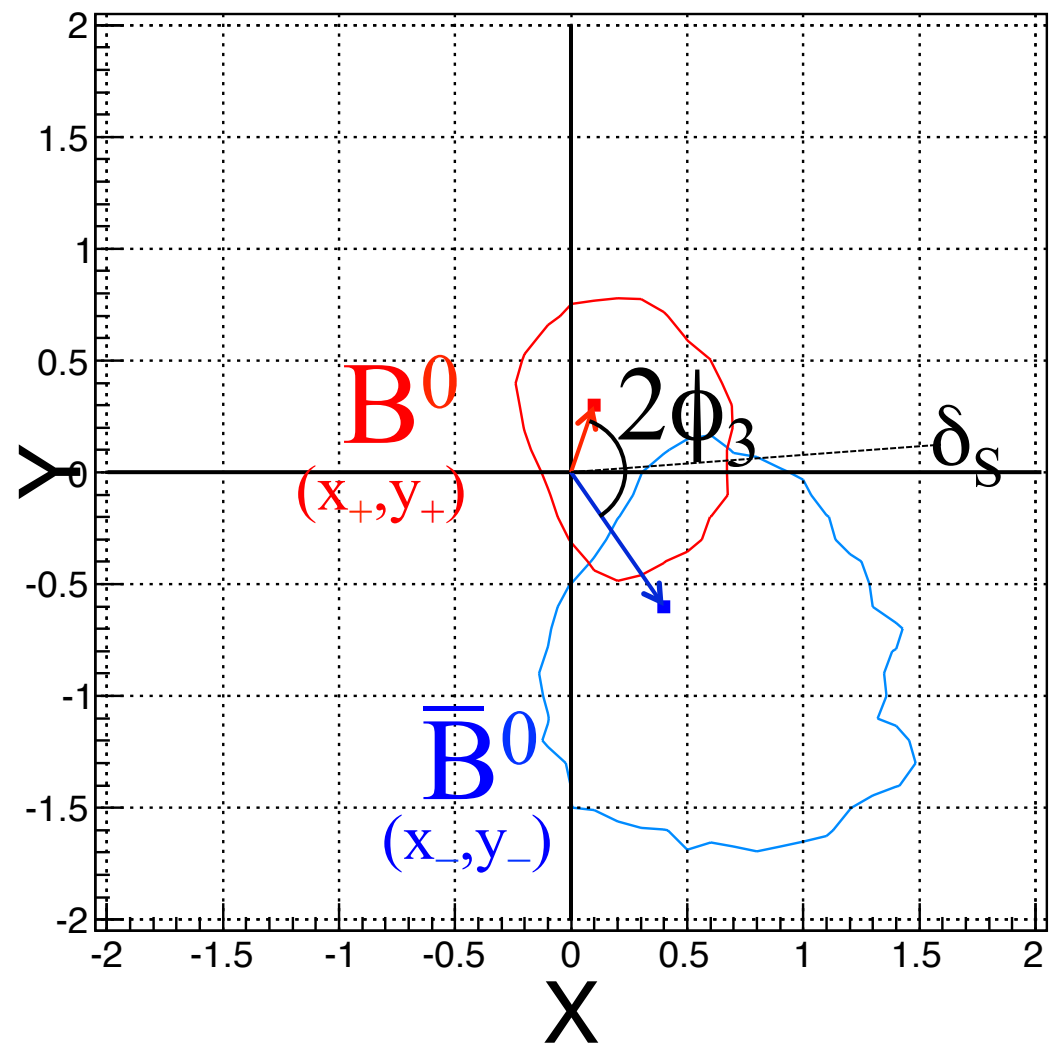
本研究の  
測定値((x,y)値)  
の最終結果

|              | 統計               | 系統               | $c_i, S_i$ |
|--------------|------------------|------------------|------------|
| $x_- = +0.4$ | $+1.0$<br>$-0.6$ | $+0.0$<br>$-0.1$ | $\pm 0.0$  |
| $y_- = -0.6$ | $+0.8$<br>$-1.0$ | $+0.1$<br>$-0.0$ | $\pm 0.1$  |
| $x_+ = +0.1$ | $+0.7$<br>$-0.4$ | $+0.0$<br>$-0.1$ | $\pm 0.1$  |
| $y_+ = +0.3$ | $+0.5$<br>$-0.8$ | $+0.0$<br>$-0.1$ | $\pm 0.1$  |

$B^0 (x_+, y_+)$  が0と無矛盾

# (x,y)測定の結果

- 系統誤差も含んだPDFから(x,y)平面上のC.L.を求める



本研究の  
測定値((x,y)値)  
の最終結果

|       | 統計     | 系統     | $c_i, S_i$     |
|-------|--------|--------|----------------|
| $x_-$ | $+0.4$ | $+1.0$ | $+0.0 \pm 0.0$ |
| $y_-$ | $-0.6$ | $-0.6$ | $-0.1 \pm 0.1$ |
| $x_+$ | $+0.1$ | $+0.7$ | $+0.0 \pm 0.1$ |
| $y_+$ | $+0.3$ | $-0.4$ | $-0.1 \pm 0.1$ |

$B^0 (x_+, y_+)$  が0と無矛盾  
→ 角度の測定は  
出来ないので、  
 $r_s$  の上限値を求める

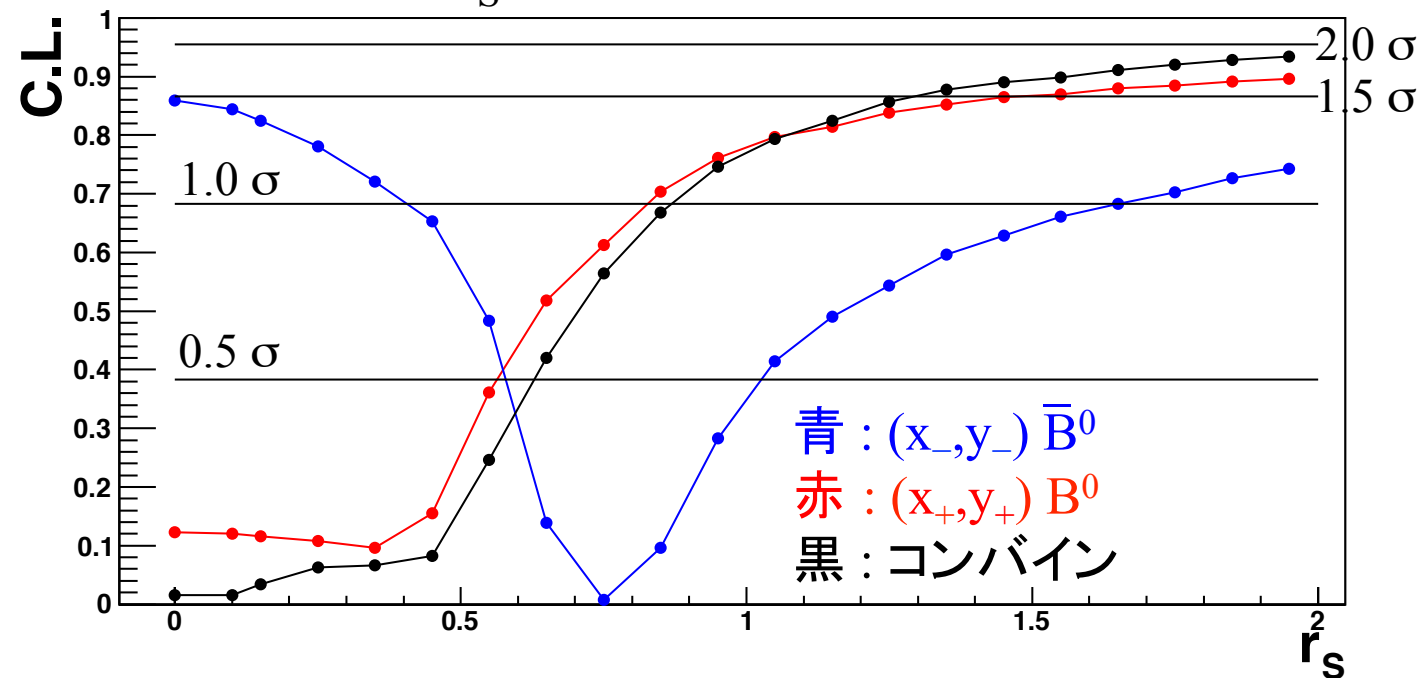
# $r_S$ 測定

- 物理量の一つである $r_S$ を測定し, 上限を求めた

$r$ :  $\phi_3$ 測定を制限する因子  $\phi_3$ 測定誤差は  
1/r でスケールされる

$$x_{\pm} = r_S \cos(\delta_S \pm \phi_3)$$
$$y_{\pm} = r_S \sin(\delta_S \pm \phi_3)$$

$r_S$ へ投影したC.L.



$r_S < 0.87$  @ 68 % C.L.

他実験での $r_S$ 測定 @ 68 % C.L.  
LHCb (2014)  $r_S = 0.240^{+0.055}_{-0.048}$   
BaBar (2008)  $r_S < 0.30$

Phys.Rev. D90  
11, 112002  
Phys.Rev. D79  
072003

# 結論, 及び考察

•  $r_S$  は0と無矛盾

–  $B^0 \rightarrow DK^{*0}$  シグナル数が小さかった  $44.2^{+13.3}_{-12.1}$  (統計誤差が支配的)  
 崩壊分岐比で  $\text{Br}(B^0 \rightarrow DK^{*0}) = (2.9 \pm 0.9) \times 10^{-5}$

|       | イベント数 | $\text{Br}(B^0 \rightarrow DK^{*0})$ | ずれ           |
|-------|-------|--------------------------------------|--------------|
| 本結果   | 44.2  | $(2.9 \pm 0.9) \times 10^{-5}$       |              |
| BaBar | 78    | $(5.2 \pm 1.2) \times 10^{-5}$       | $-1.5\sigma$ |
| PDG   | 64    | $(4.2 \pm 0.6) \times 10^{-5}$       | $-1.2\sigma$ |

ただし”ずれ”は  
 大きくない

– 統計的なふらつきによる

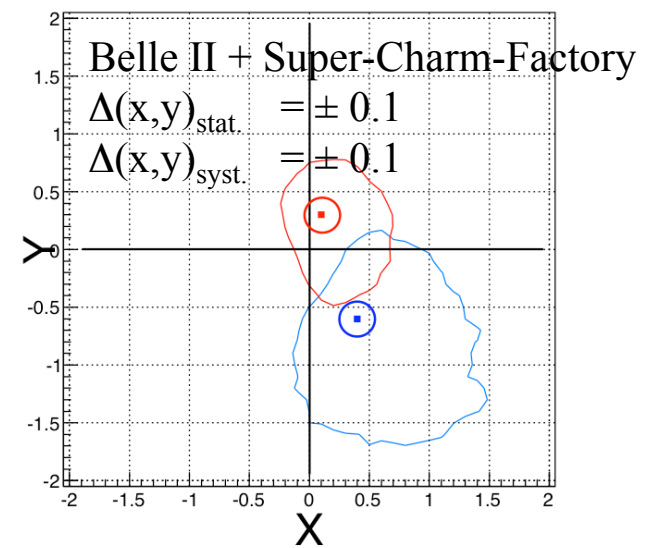
• Belle II 実験(予定)では

統計 系統  
 $x_- = +0.4^{+1.0}_{-0.6} +0.0_{-0.1}$   
 $y_- = -0.6^{+0.8}_{-1.0} \pm 0.1$   
 $x_+ = +0.1^{+0.7}_{-0.4} \pm 0.1$   
 $y_+ = +0.3^{+0.5}_{-0.8} \pm 0.1$



統計誤差  $\rightarrow O(<0.1)$   
 現系統誤差と同等

1. K/ $\pi$ 識別能力が上がる  
 $\rightarrow \text{B}\bar{\text{B}}$ 背景事象の抑制
2. Super-Charm-Factory  
 $\rightarrow c_i, s_i$ の誤差が減る



$B^0 \rightarrow DK^{*0}$ 崩壊を用い $\phi_3$ 測定の可能性

# まとめ

- $\phi_3$  は標準理論の検証の為に重要なパラメータの一つ
- 本解析モード  $B^0 \rightarrow DK^{*0}$  崩壊は  $\phi_3$  測定に有用
  - $\phi_3$  は多くのモードから制限をかけて測定する
- 中性B中間子を用いたモデル依存の無いDalitz解析は世界初
  - 結果

|                          | 統計               | 系統               | $c_i, s_i$ |
|--------------------------|------------------|------------------|------------|
| $x_- = +0.4$             | $+1.0$<br>$-0.6$ | $+0.0$<br>$-0.1$ | $\pm 0.0$  |
| $y_- = -0.6$             | $+0.8$<br>$-1.0$ | $+0.1$<br>$-0.0$ | $\pm 0.1$  |
| $x_+ = +0.1$             | $+0.7$<br>$-0.4$ | $+0.0$<br>$-0.1$ | $\pm 0.1$  |
| $y_+ = +0.3$             | $+0.5$<br>$-0.8$ | $+0.0$<br>$-0.1$ | $\pm 0.1$  |
| $r_S < 0.87$ @ 68 % C.L. |                  |                  |            |

$r_S$  が小さく,  $\phi_3$  測定出来なかった

**本モードでの  $\phi_3$  測定可能性を示せた**

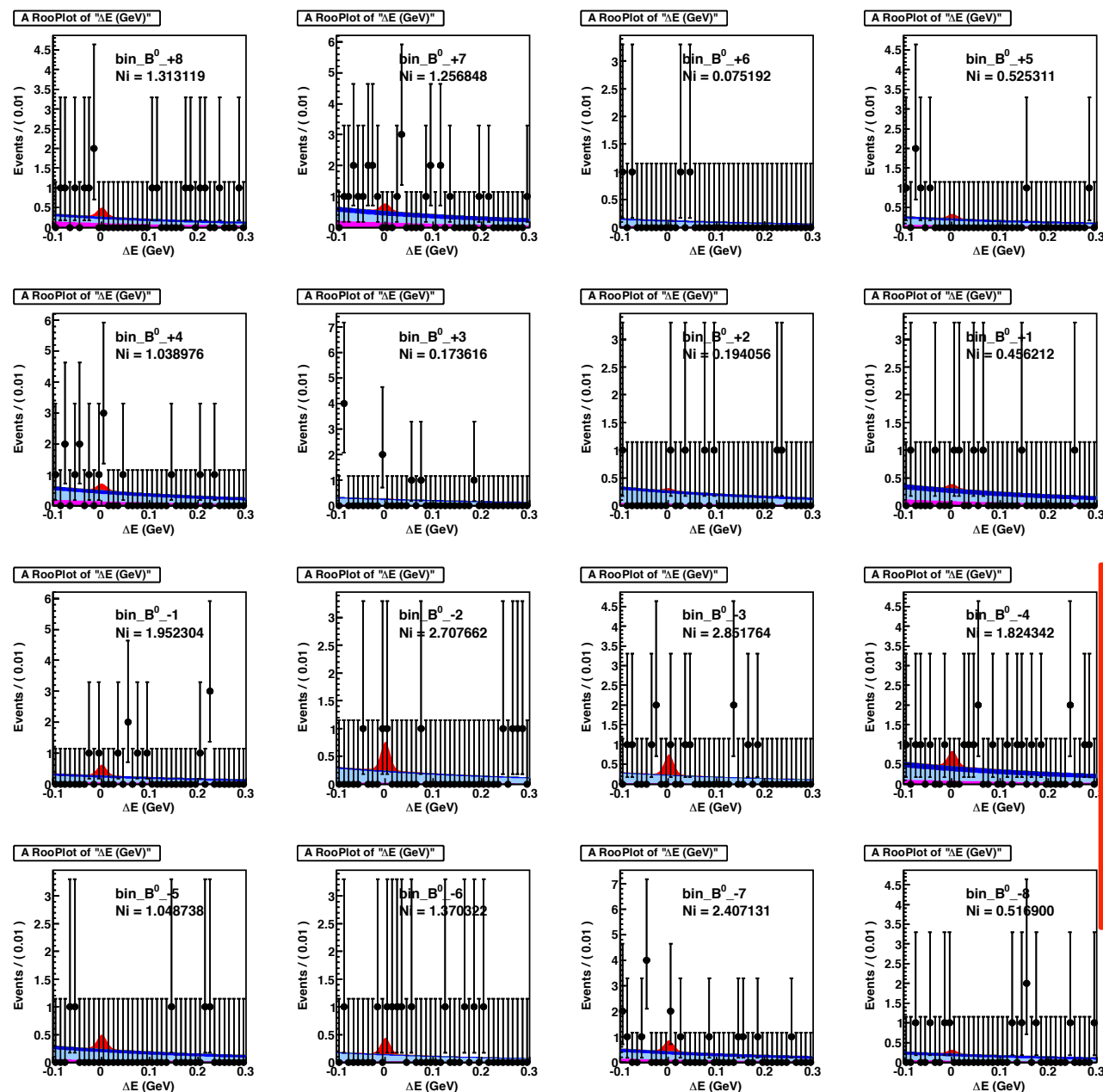
ありがとうございました

**THANK YOU FOR LISTENING**

# BACKUP

1. Belle subdetectors
2. qq suppression parameters
3. Other  $\phi_3$  measurements  $B \rightarrow DK$
4.  $B^0 \rightarrow DK^{*0}$ ,  $D \rightarrow K\pi$  ADS Belle (MY M THESIS)
5.  $B^0 \rightarrow DK^{*0}$ ,  $D \rightarrow K\pi$ ,  $KK$ ,  $\pi\pi$  ADS+GLW LHCb (Most precise  $r_s$ )
6.  $B^0 \rightarrow DK^{*0}$ ,  $D \rightarrow K_S \pi\pi$  Mod.-Dep. Dalitz BaBar
7.  $B^+ \rightarrow DK^+$ ,  $D \rightarrow K_S \pi\pi$  Mod.-Ind. Dalitz Belle (First Mod.-Ind. Dalitz,  $D\pi$ )
8.  $B^+ \rightarrow D^{(*)}K^+$ ,  $D \rightarrow K_S \pi\pi$  Mod.-Dep. Dalitz Belle
9. (Value of  $r_s$ ) W.A vs Belle Modeled Dalitz  $r_s$
10. CLEO  $c_i, s_i$  measurement ( $\delta_D$ )
11. About small signal statistic and large backgrounds
12. misc.

# DK\*<sup>0</sup> 実データにおける(x<sub>±</sub>, y<sub>±</sub>)の結果



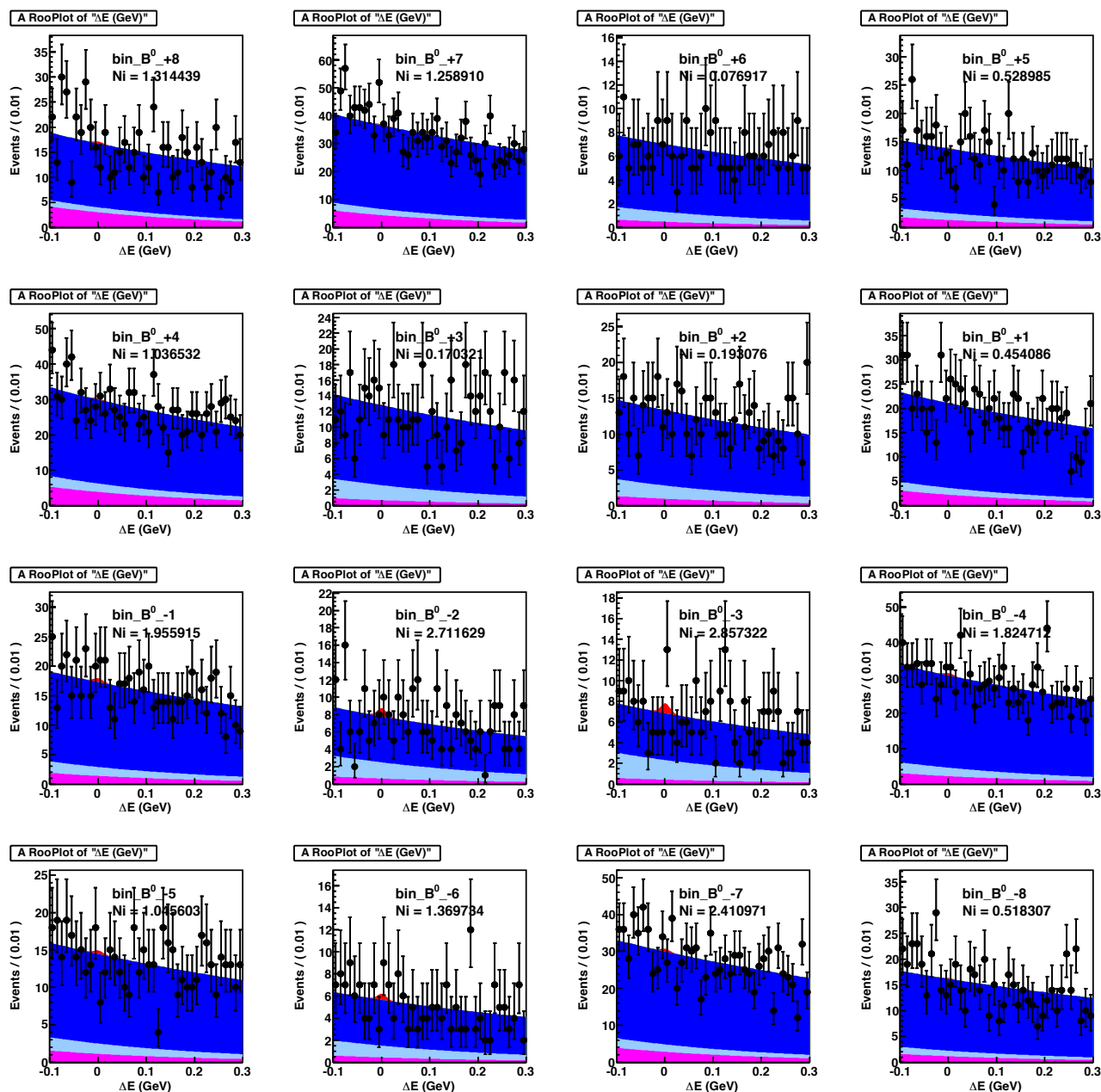
(x, y)の結果  
(likelihood分布から)

$$x_- = + 0.294 \pm 0.316$$

$$y_- = - 0.334 \pm 0.411$$

$$x_+ = + 0.073 \pm 0.417$$

$$y_+ = + 0.052 \pm 0.448$$

DK\*<sup>0</sup> 実データにおける(x<sub>±</sub>, y<sub>±</sub>)の結果

Fitは出来てる

(x<sub>y</sub>)の結果  
(likelihood分布から)

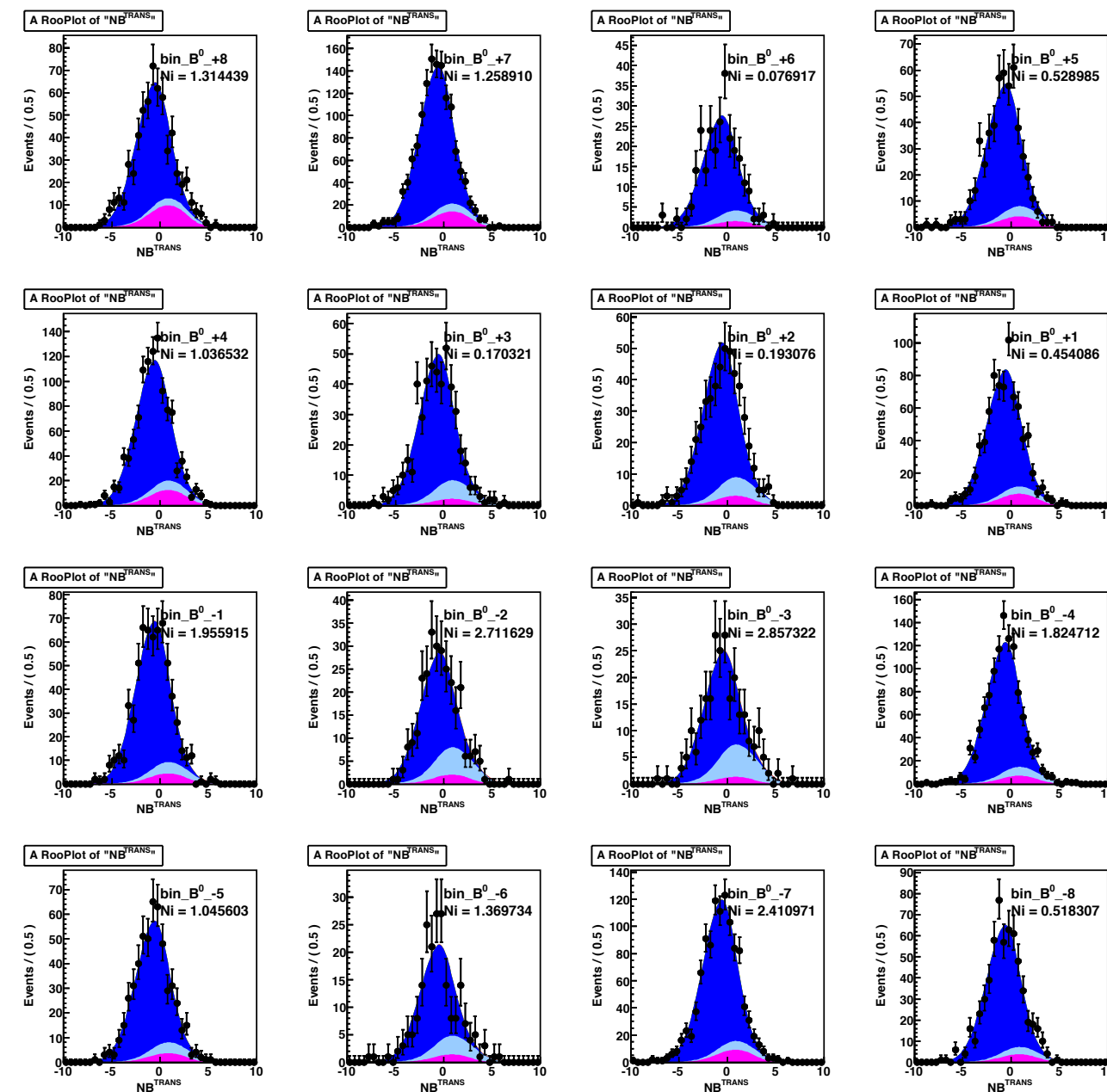
$$x_- = + 0.294 \pm 0.316$$

$$y_- = - 0.334 \pm 0.411$$

$$x_+ = + 0.073 \pm 0.417$$

$$y_+ = + 0.052 \pm 0.448$$

# DK\*<sup>0</sup> 実データにおける(x<sub>±</sub>, y<sub>±</sub>)の結果



Fitは出来てる

(x<sub>y</sub>)の結果  
(likelihood分布から)

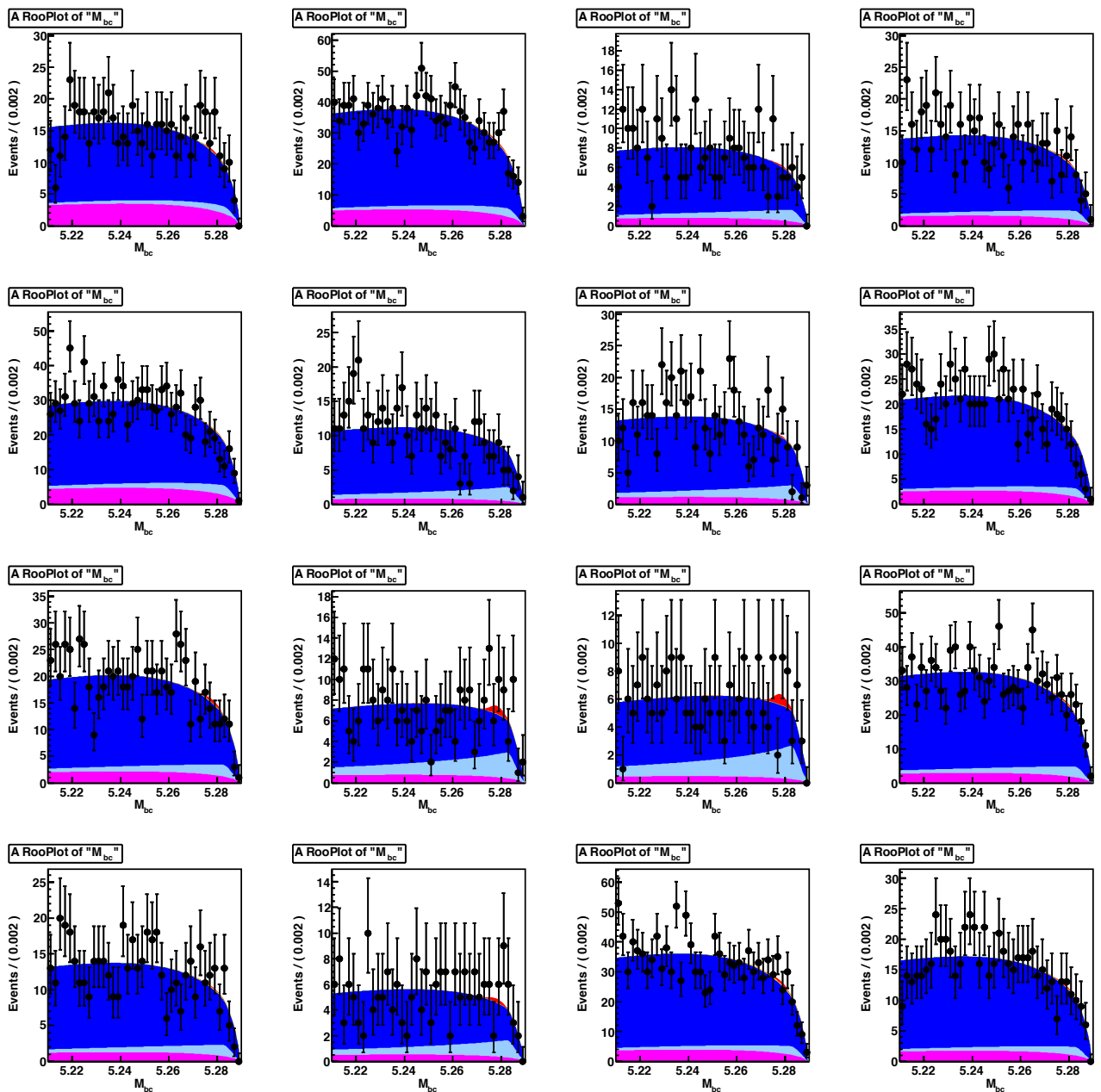
$$x_- = + 0.294 \pm 0.316$$

$$y_- = - 0.334 \pm 0.411$$

$$x_+ = + 0.073 \pm 0.417$$

$$y_+ = + 0.052 \pm 0.448$$

# DK\*<sup>0</sup> 実データにおける(x<sub>±</sub>, y<sub>±</sub>)の結果



Fitは出来てる

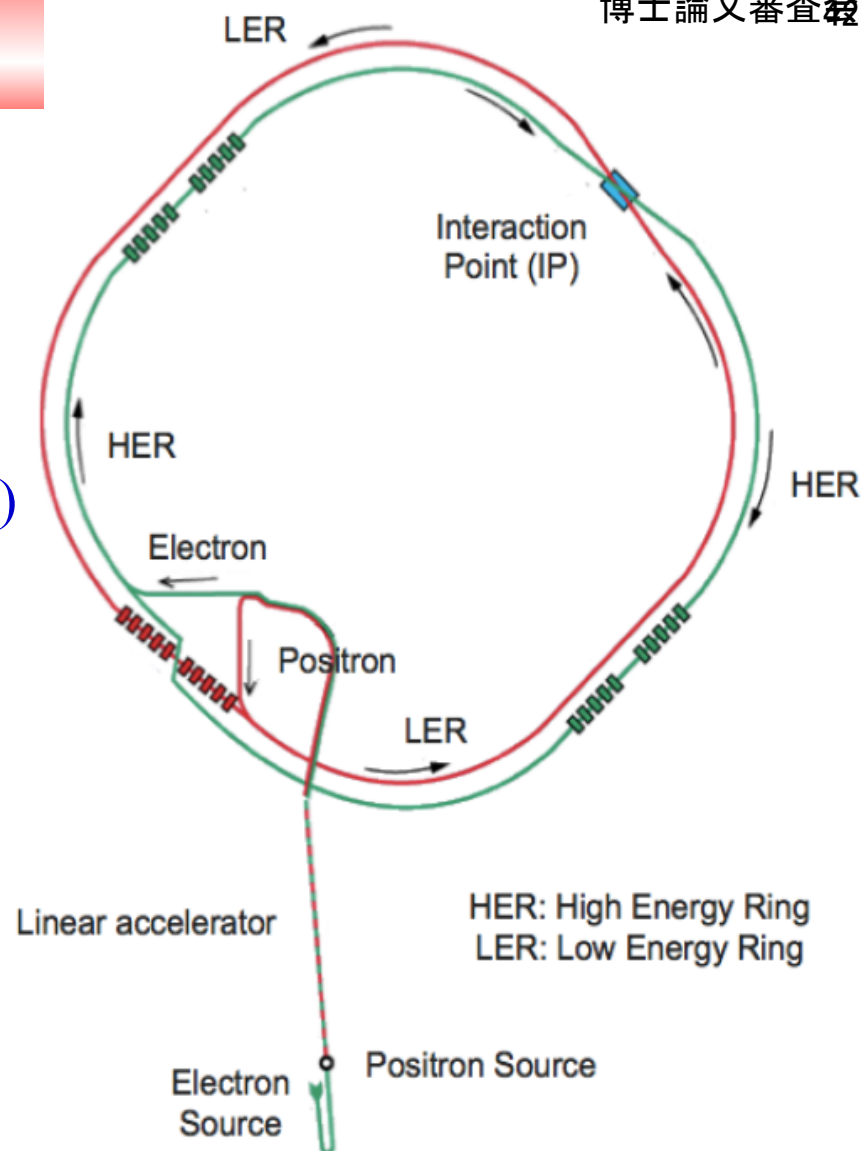
(x<sub>y</sub>)の結果  
(likelihood分布から)

$x_- = + 0.294 \pm 0.316$   
 $y_- = - 0.334 \pm 0.411$   
 $x_+ = + 0.073 \pm 0.417$   
 $y_+ = + 0.052 \pm 0.448$

# KEKB加速器

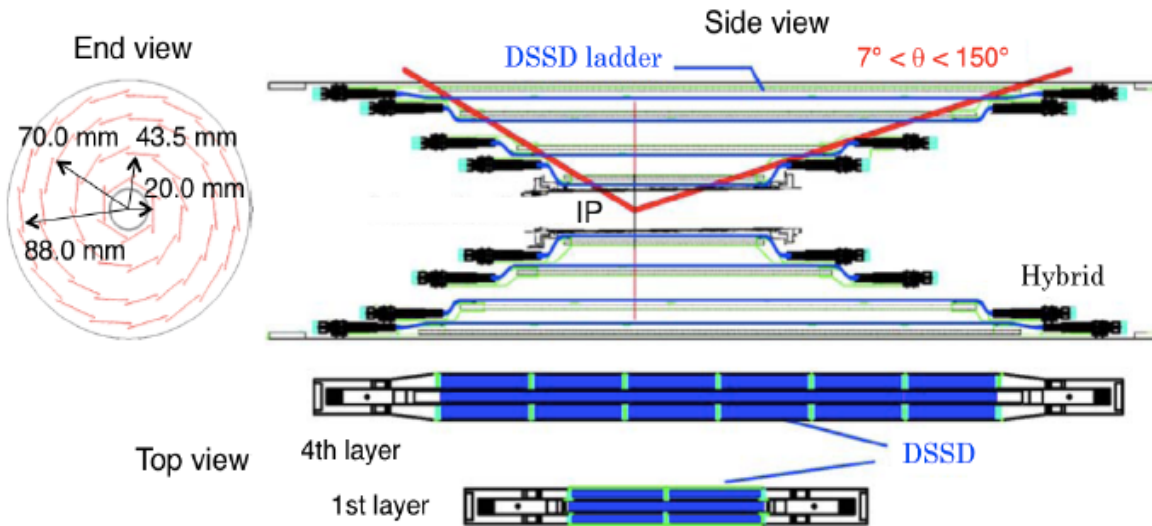
[戻る](#)

- 電子源: 熱電子銃
- 陽電子源:  
電子をタングステンに入射し抽出
- 電子8.0 GeV / 陽子3.5 GeV ( $\beta\gamma \sim 0.4$ )
- 入射器: 2004年から連続入射法
- 電流: 双方1 A程度
- バンチ数: 双方1000程度
- バンチ当たり粒子数:  $10^{10}$
- ビーム:  $O(1) \mu\text{m} \times O(100) \mu\text{m}$
- 衝突点での交差角: 22 mrad
- 2007年から「クラブ衝突」導入



<sup>1</sup>The luminosity is described as  $\mathcal{L} = N_+ N_- f / 4\pi\sigma_x^* \sigma_y^*$ , where  $N_{\pm}$  is the number of particles  $e^{\pm}$  per bunch,  $f$  is the frequency of collision, and  $\sigma_{x,y}^*$  is the beam size at IP in  $x$  or  $y$  direction.

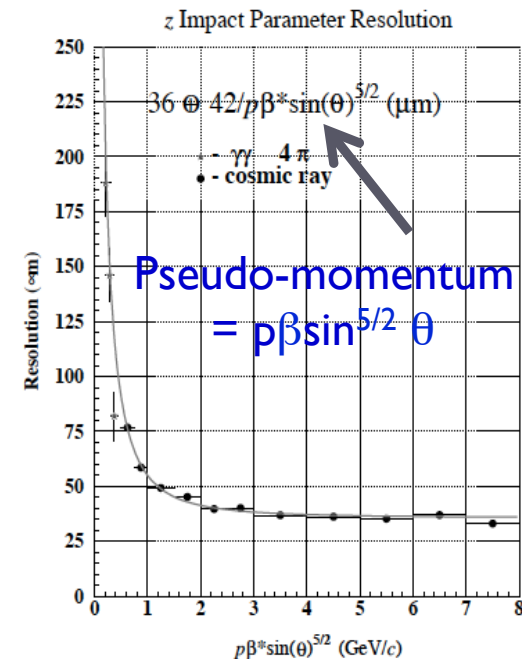
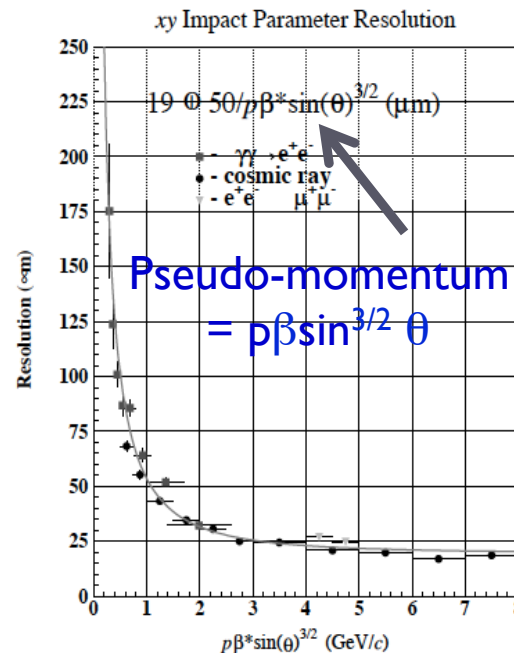
# SVD (Silicon Vertex Detector)



DSSD = double-sided Si strip  
 Chip size: 57.5 x 33.5 mm<sup>2</sup>  
 Strip pitch: 25 (p)/50 (n) μm

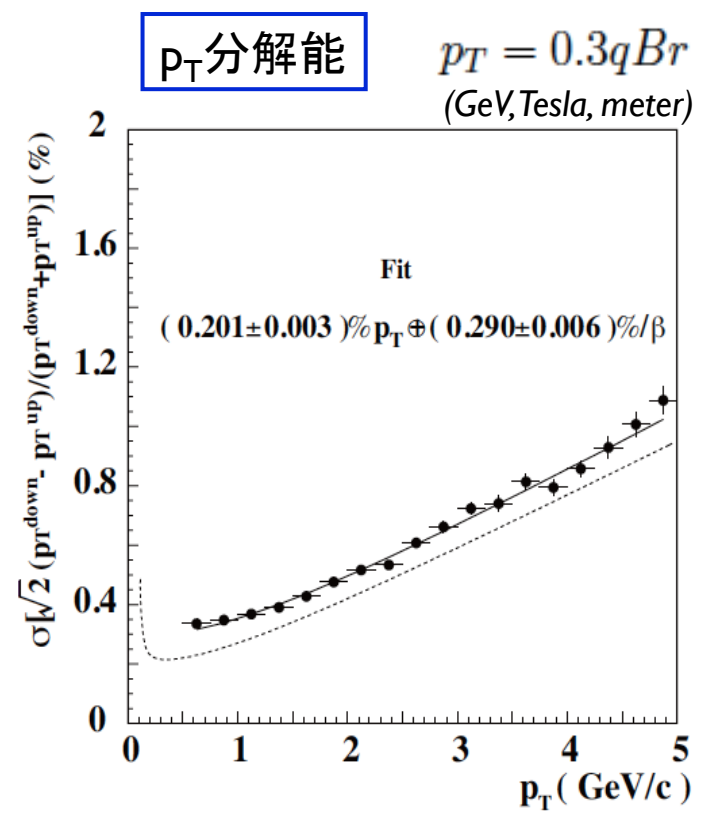
B中間子観測における  
 典型的分解能:  $\sigma_{\Delta z} \sim 80 \mu\text{m}$ .

読み出し: VAITA集積回路を用いる。  
 チップの放射線耐性は20 Mrad。  
 (1 rad = 0.01 J/kg)

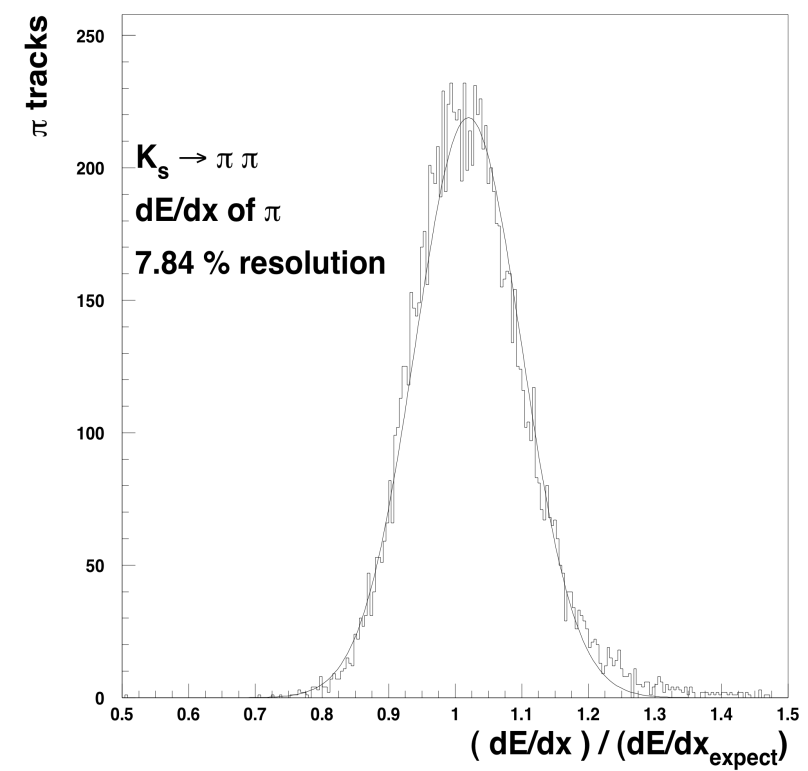


# CDC (Central Drift Chamber)

- Anode: 50 layers including 18 stereo wires  
(30 $\mu$ m-diameter gold-plated tungsten)
- r from beam axis = 8.3-86.3 cm
- -77 < z < 160 cm ( $17^\circ < \theta < 150^\circ$ )



**dE/dx分解能の例**



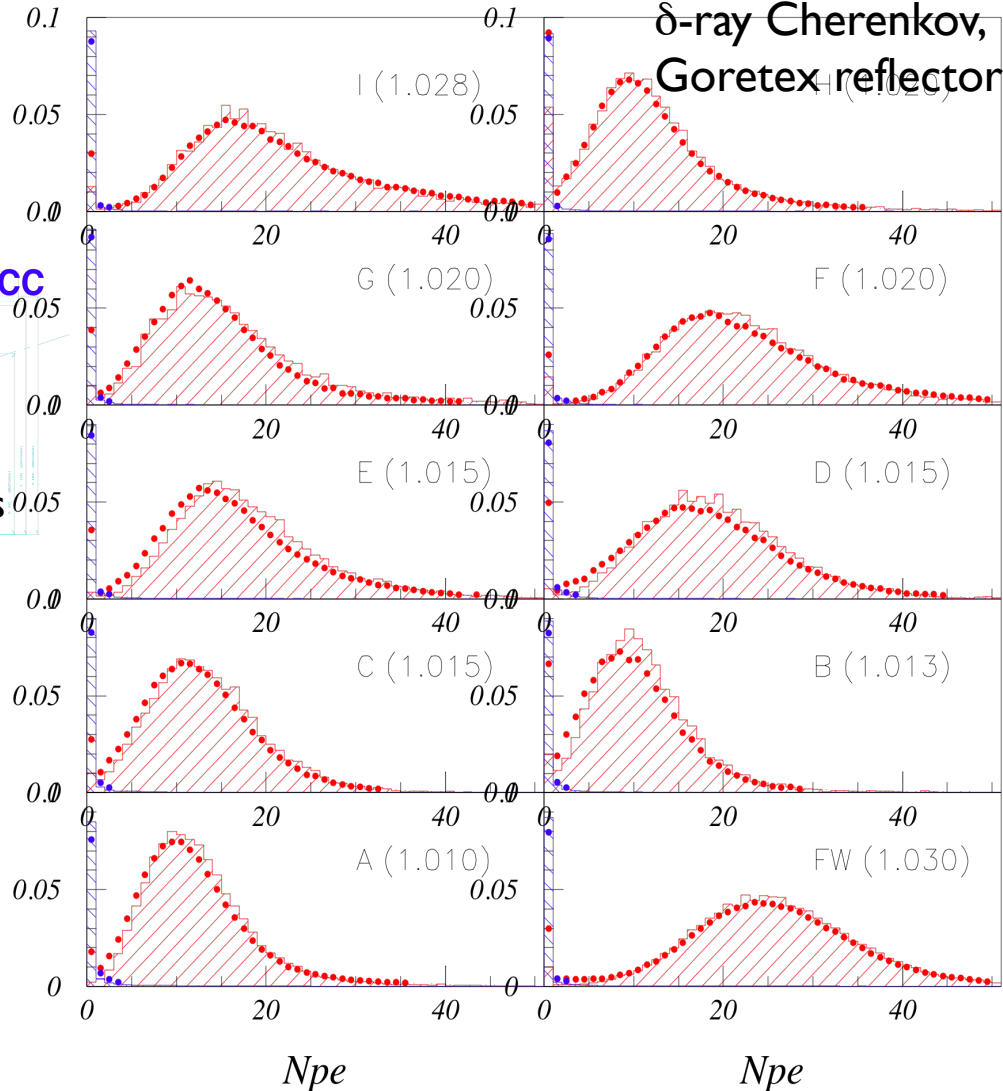
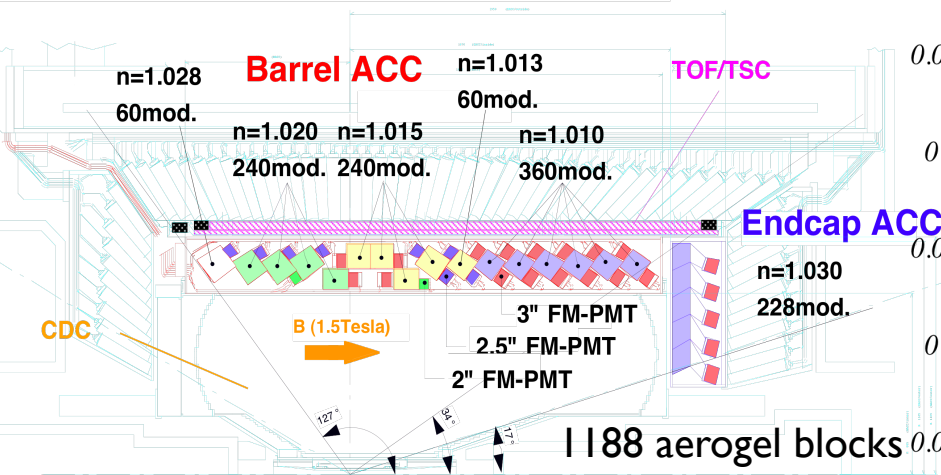
物質密度を上げれば分解能は良くなる。  
Belleでは、多重クーロン散乱を避けるためにHe+C<sub>2</sub>H<sub>6</sub>を利用。  
(Gas gain = 10<sup>5</sup> @ 3 kV)

# ACC (Aerogel Cherenkov Counter)

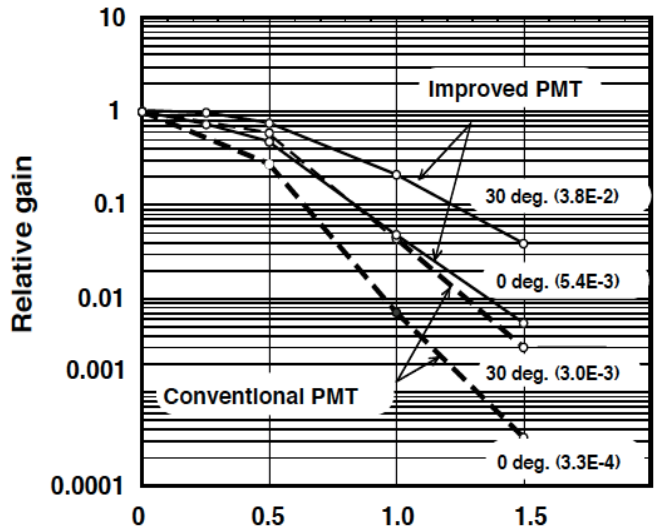
[戻る](#)

$$n > \frac{1}{\beta} = \sqrt{1 + \left(\frac{m}{p}\right)^2}$$

K/ $\pi$  separation from 1.2 GeV to 3.5 GeV



$\delta$ -ray Cherenkov, Goretex reflector



Gain  $\sim 10^8$  @0T

B (Tesla)

(Poisson distribution smeared by FM PMTs.)

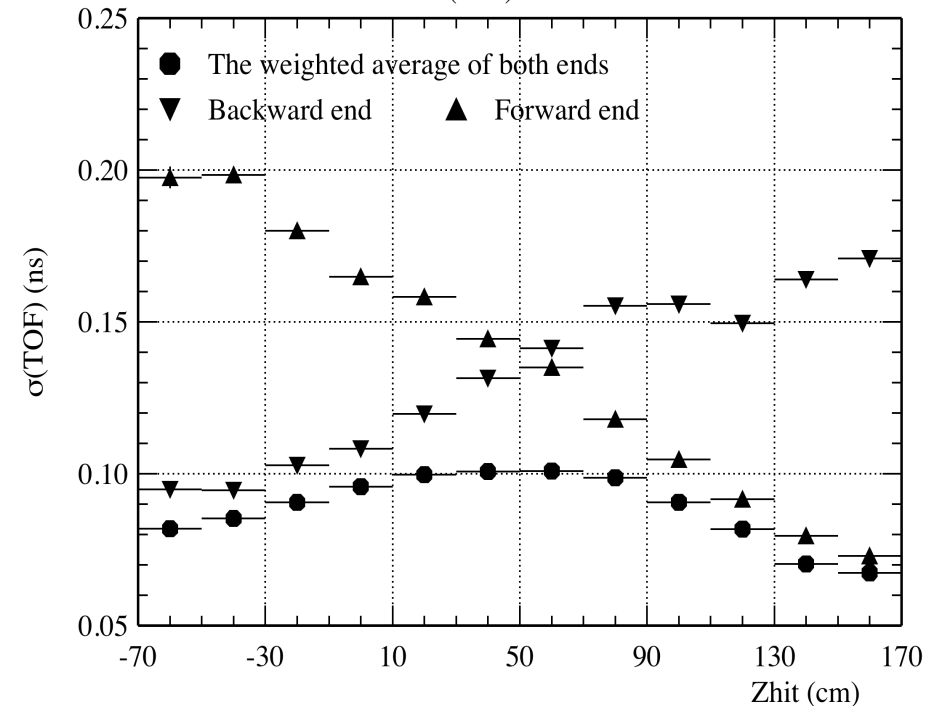
# TOF (Time-of-Flight Counter)

[戻る](#)

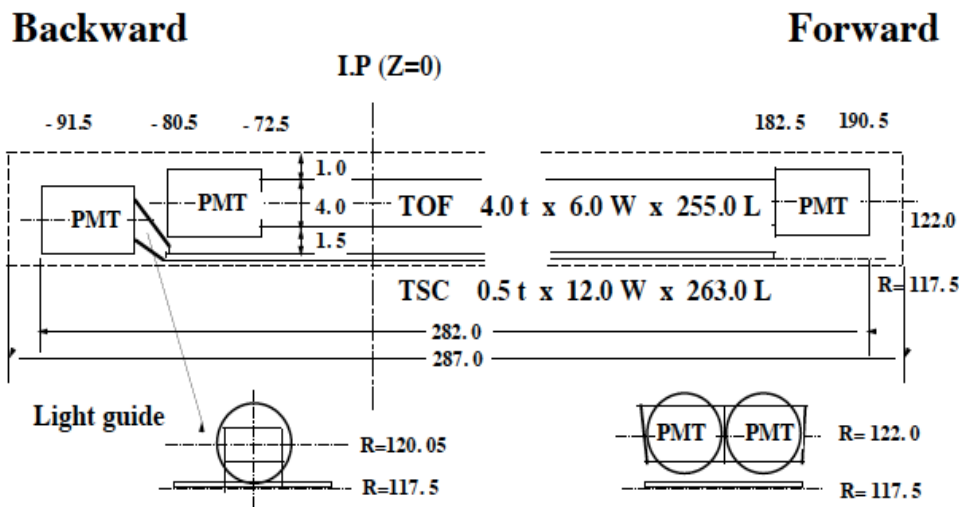
- $r$  from beam axis = 120 cm
- Length = 3-m long,  $N_{\text{scintillators}} = 128$
- $\sigma_T = 100$  psec
- $K/\pi$  separation up to 1.2 GeV

## 飛行時間分解能

$\sigma(\text{ToF})$  vs.  $Z_{\text{hit}}$



飛行距離、シンチレーションの早さ、  
光量、PMT性能などが大切な要素。

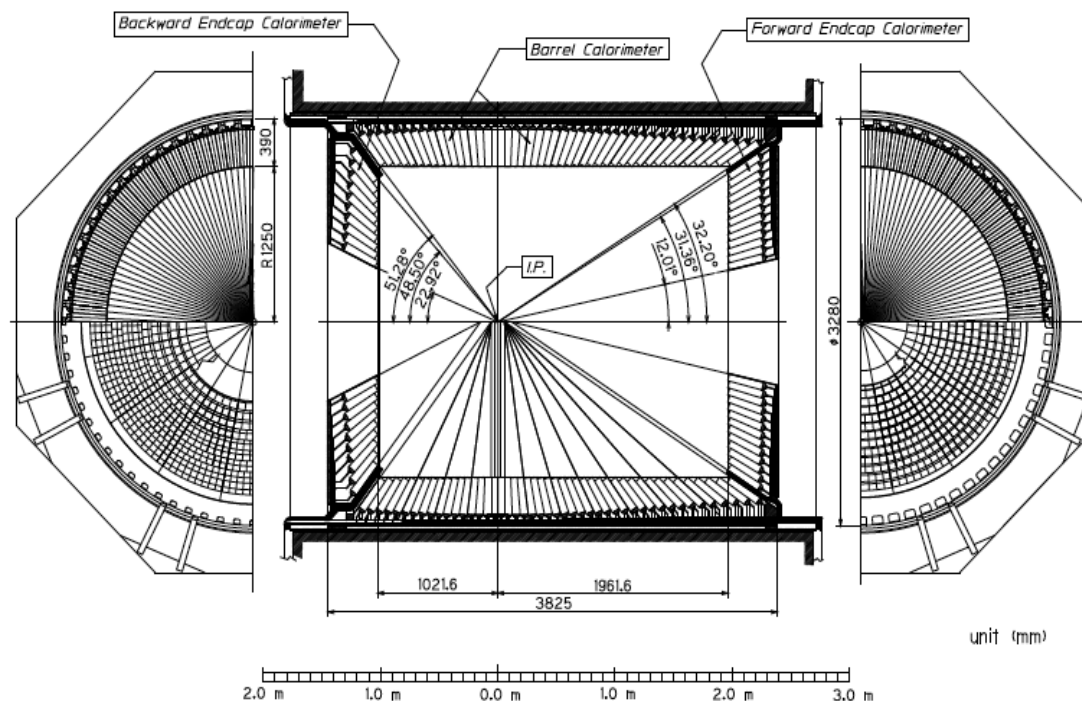


$$t = \frac{l}{c\beta} = \frac{l}{c} \sqrt{1 + \left(\frac{m}{p}\right)^2}$$

# ECL (Electromagnetic Calorimeter)

- PINフォトダイオードを用い、電磁シャワーを検出。
- エネルギー分解能は、 $\sim 1.3\%/\sqrt{E}$ 。位置分解能は $\sim 0.5 \text{ cm}/\sqrt{E}$ 。(E in GeV)  
(回路ノイズ、シャワーの漏れ、較正誤差などが効いてくる。)

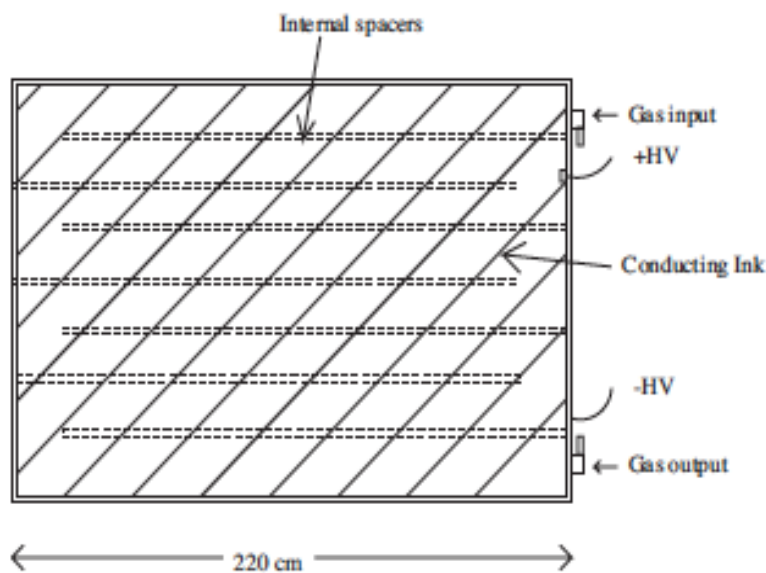
BELLE CsI ELECTROMAGNETIC CALORIMETER



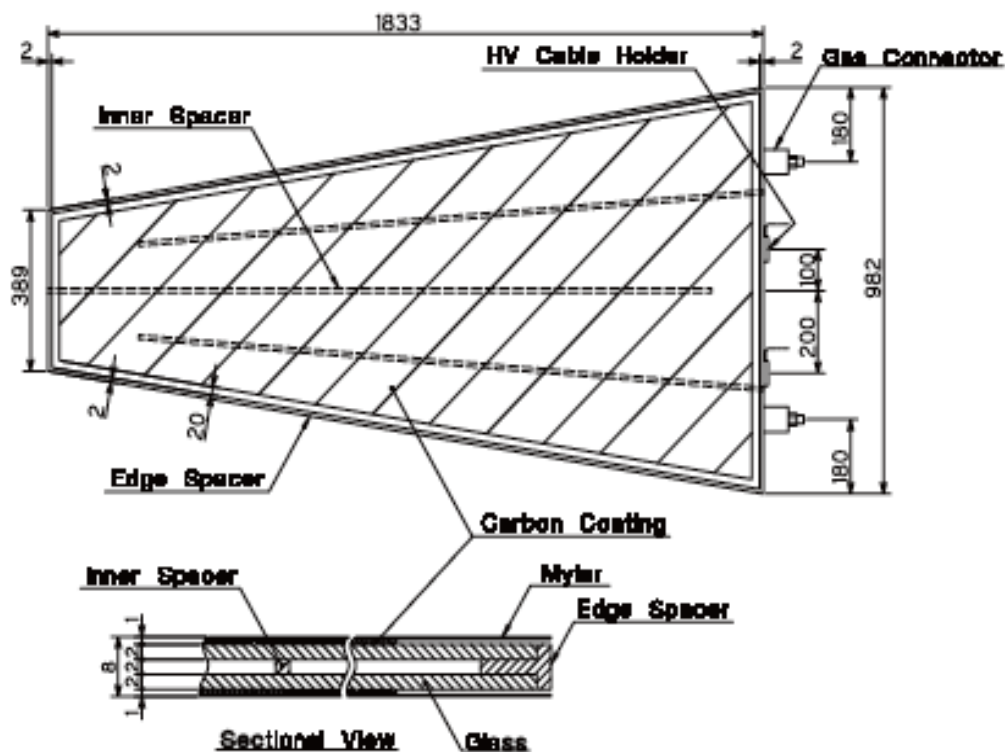
# KLM ( $K_L$ /Muon Detector)

- 鉄とRPC (Registive Plate Chamber)のサンドイッチ構造(14層)。
- $K_L$  (シャワーを発生)とMuon(長い飛跡)の検出を行う。

| Gas           | Symbol                           | Mol. weight | Density (g/l)     |
|---------------|----------------------------------|-------------|-------------------|
| Argon         | Ar                               | 39.95       | 1.784 (0°C, 1atm) |
| Butane-silver | C <sub>4</sub> H <sub>10</sub>   | 58.12       | 2.6 (0°C, 1atm)   |
| HFC-134a      | CH <sub>2</sub> FCF <sub>3</sub> | 102.0       | 4.5               |



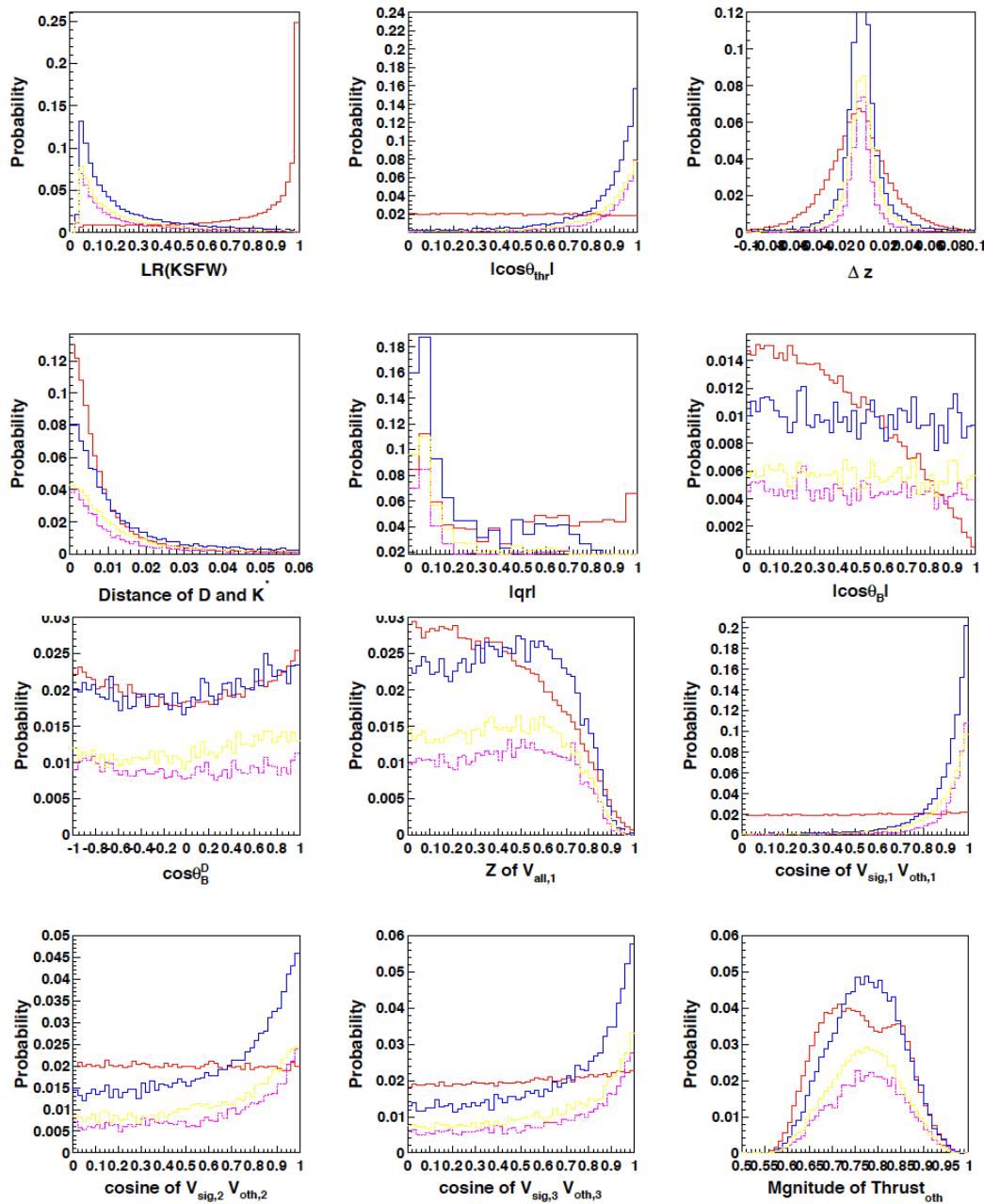
(a) Barrel RPC.



(b) End-cap RPC.

# コンテナウム抑制パラメータ

[戻る](#)



# コンテニウム抑制パラメータ

[戻る](#)

| Variable                     | Only this ( $\sigma$ ) | Without this ( $\sigma$ ) | Corr. to others |
|------------------------------|------------------------|---------------------------|-----------------|
| LR(KSFW)                     | 290                    | 62                        | 0.85            |
| v1_v1                        | 280                    | 35                        | 0.87            |
| $\Delta z$                   | 145                    | 68                        | 0.29            |
| distance <sub>DK*0</sub>     | 105                    | 49                        | 0.23            |
| $ qr $                       | 126                    | 51                        | 0.31            |
| $ \cos \theta_B $            | 102                    | 42                        | 0.21            |
| $ \cos \theta_{\text{thr}} $ | 246                    | 14                        | 0.81            |
| thru_oth                     | 58                     | 12                        | 0.23            |
| v_Z                          | 42                     | 9                         | 0.18            |
| v3_v3                        | 84                     | 7                         | 0.64            |
| v2_v2                        | 80                     | 6                         | 0.66            |
| $\cos \theta_B^D$            | 10                     | 4                         | 0.12            |

- Fox-Wolfram (FW) moment ( $P_l = l$ -th Legendre polynomial):

$$H_l \equiv \sum_{i,j} |\vec{p}_i| |\vec{p}_j| P_l(\cos \theta_{ij}),$$

- Fisher discriminant of Super FW (SFW):

$$\text{SFW} \equiv \sum_{l=2,4} \alpha_l \left( \frac{H_l^{\text{so}}}{H_0^{\text{so}}} \right) + \sum_{l=1}^4 \beta_l \left( \frac{H_l^{\text{oo}}}{H_0^{\text{oo}}} \right)$$

Separate signal B  
and the other B.

- Kakuno-SFW:

$$\text{KSFW} \equiv \sum_{l=0}^4 R_l^{\text{so}} + \sum_{l=0}^4 R_l^{\text{oo}} + \gamma \sum_{n=1}^{N_t} |p_{t,n}|,$$

Missing momentum,  
Charges of tracks, ...  
Fisher coefficients are  
determined for seven  
missing mass regions.

# Flavor tagging

- B-flavor taggingは、下記の情報を用いて行う。

(1) high-momentum leptons from  $B^0 \rightarrow X\ell^+\nu$  decays,

(2) kaons, since the majority of them originate from  $B^0 \rightarrow K^+X$  decays through the cascade transition  $\bar{b} \rightarrow \bar{c} \rightarrow \bar{s}$ ,

(3) intermediate momentum leptons from  $\bar{b} \rightarrow \bar{c} \rightarrow \bar{s}\ell^-\bar{\nu}$  decays,

(4) high momentum pions coming from  $B^0 \rightarrow D^{(*)}\pi^+X$  decays,

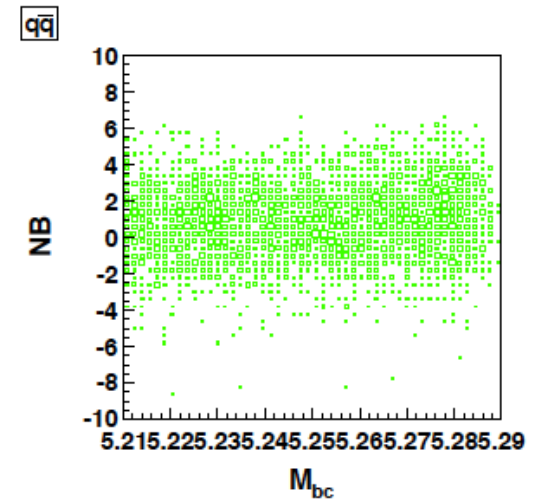
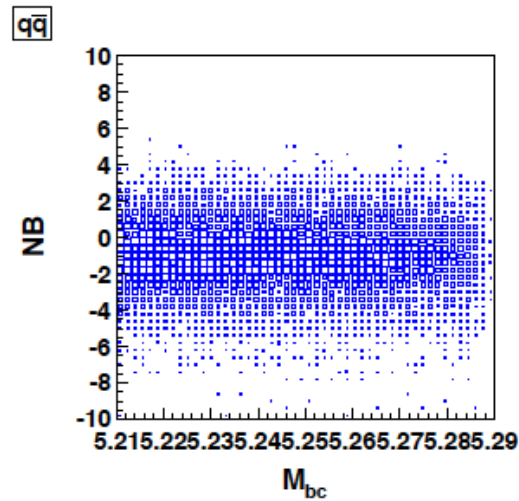
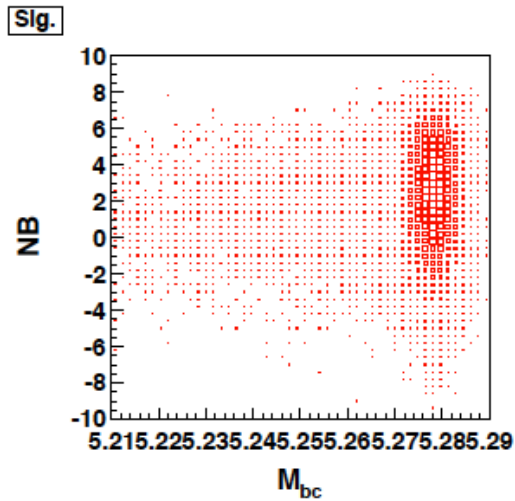
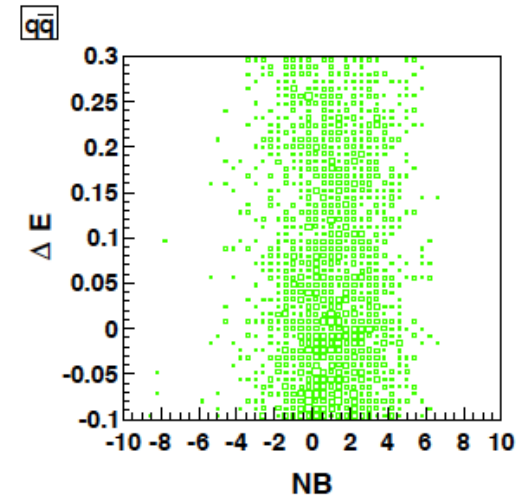
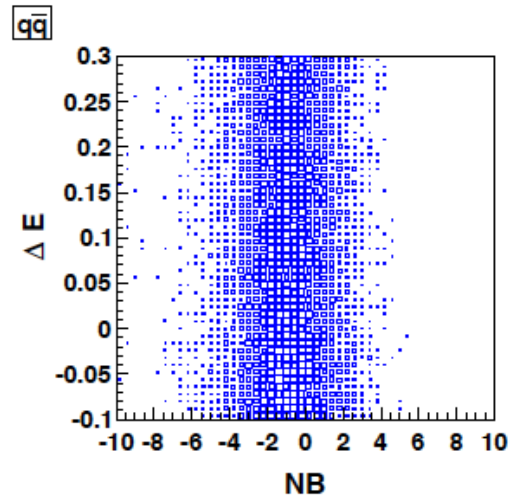
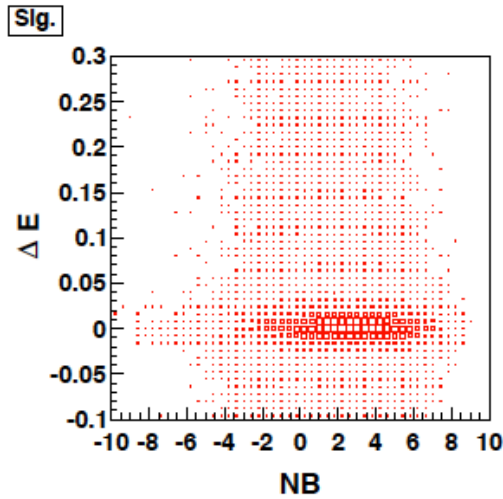
(5) slow pions from  $B^0 \rightarrow D^{*-}X, D^{*-} \rightarrow \bar{D}^0\pi^-$  decays, and

(6)  $\bar{\Lambda}$  baryons from the cascade decay  $\bar{b} \rightarrow \bar{c} \rightarrow \bar{s}$ .

事象ごとに、(1)から(2)に関連した約50の変数を得て、多次元Likelihood法を用いる。

Taggingの精度 $r_{\text{tag}}$ は、qq背景事象分離に用いる。

# $(\Delta E, M_{bc}, \mathcal{NB})$

[戻る](#)


|            | Correlation factor (%)       |                            |
|------------|------------------------------|----------------------------|
|            | $\Delta E$ vs $\mathcal{NB}$ | $\mathcal{NB}$ vs $m_{bc}$ |
| Signal     | -4                           | 6                          |
| $B\bar{B}$ | -2                           | -2                         |
| $q\bar{q}$ | 1                            | 10                         |

- 未だ  $B^0 \rightarrow D[K^+\pi^-]_{K^{*0}}$  の主に  $b \rightarrow u$  を介した suppressed decay は観測されず
  - 荷電Bより  $b \rightarrow u$  遷移含む崩壊の干渉が強い
  - 中性B中間子の  $DK^{*0}$  崩壊について研究が望まれる
- また2012年,  $B^+ \rightarrow [K_S\pi^+\pi^-]_D K^+$  にて世界初のモデル依存の無いDalitz解析を用いた  $\phi_3$  測定結果が発表された
  - $\phi_3 = (77.3^{+15.1}_{-14.9} \pm 4.1 \pm 4.3)^\circ$  PRD 85, 112014 (2012) @ Belle Collaboration  
( $r_B = 0.145 \pm 0.030 \pm 0.010 \pm 0.011$ )
  - このモデル依存の無いDalitz解析を用いた  $\phi_3$  測定は将来Super-B Factoryにおいて非常に有用であり、これを用いた  $B^0 \rightarrow [K_S\pi\pi]_D [K^+\pi^-]_{K^{*0}}$  の  $\phi_3$  測定を目指す

博士論文審査会

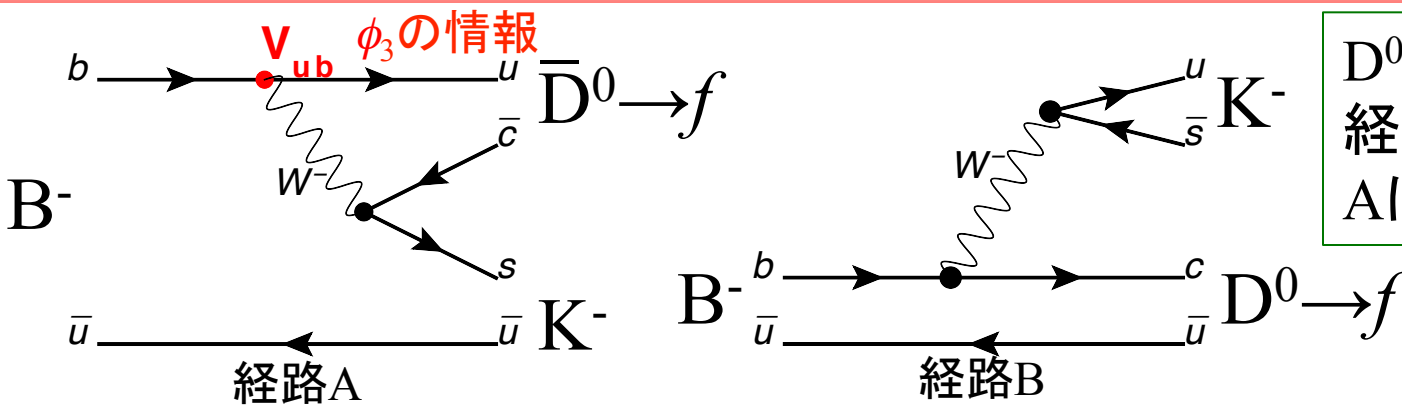
$\phi_3$ 測定法の中でDalitz法が最も感度が高い

Model-Independentでは( $c_i, s_i$ )の誤差もチャーム物理より将来的に小さく出来る

戻る

# $\phi_3$ 測定と $B \rightarrow DK$ 崩壊

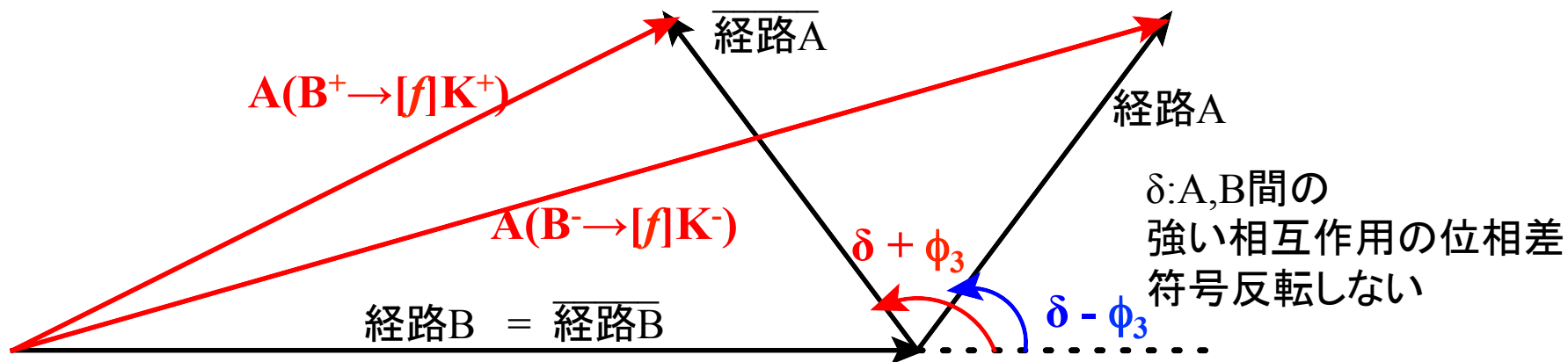
D :  $D^0$  or  $\bar{D}^0$



$D^0, \bar{D}^0$ が同じ終状態 $f$ へ  
経路A,Bが干渉  
Aに $b \rightarrow u$ ( $\phi_3$ の効果)

経路A,BのAmplitudeの足し算をする

- Charge Conjugateで弱い相互作用の位相は符号が**反転する**
- 経路A,B間で強い相互作用の位相差 $\delta$ が入ってくる  
(Charge Conjugateで符号は**反転せず**)



観測量は赤線の(経路A,Bの干渉を経た)二乗 ( $B^-$ と $B^+$ の崩壊分岐比)

# $\phi_3$ 測定

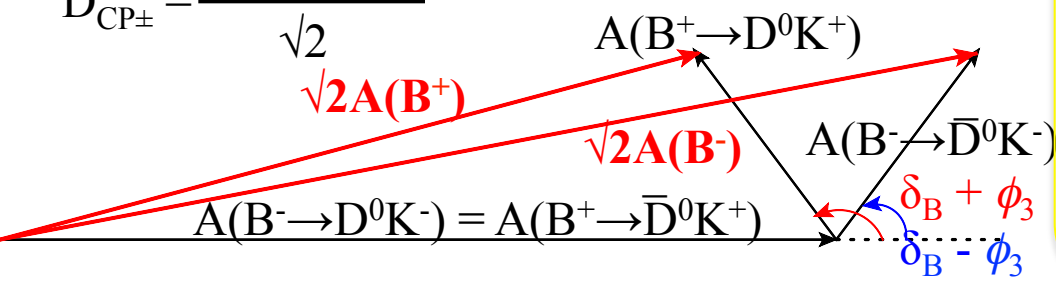
- $B^- \rightarrow DK^-$ 
  - GLW法 (Gronau-London-Wyler)  
 $D \rightarrow \pi\pi$ , CP Eigenstate
    - Signal大きい
    - CP非対称性小さい
  - ADS法 (Atwood-Dunietz-Soni)  
 $D \rightarrow K\pi$ , Flavor Specific
    - Signal小さい
    - CP非対称性大きい
  - GGSZ法(Dalitz) (Giri-Grossman-Soffer-Zupan)  
 $D \rightarrow K_S \pi\pi$ , 三体崩壊
    - GLWとADSを引っ括め解析

大きく三つに分けて、順に説明します

# GLW, ADS法

## GLW法 D→CP Eigenstate

$$D_{CP\pm} = \frac{(D^0 \pm \bar{D}^0)}{\sqrt{2}}$$



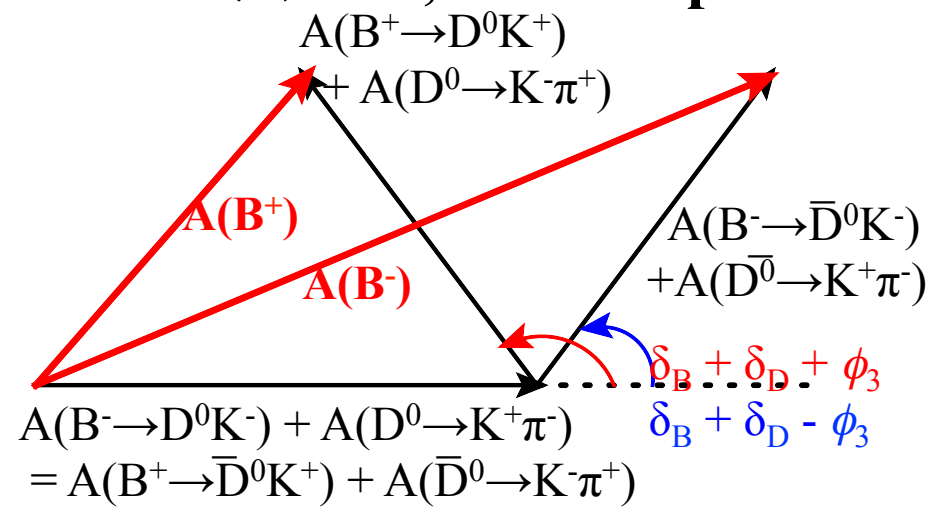
$$R_{\pm} = \frac{\Gamma(B^- \rightarrow D_{CP\pm} K^-) + \Gamma(B^+ \rightarrow D_{CP\pm} K^+)}{\Gamma(B^- \rightarrow D_{fav} K^-) + \Gamma(B^+ \rightarrow D_{fav} K^+)}$$

$$= 1 + r_B^2 \pm 2r_B \cos \delta_B \cos \phi_3$$

$$A_{\pm} = \frac{\Gamma(B^- \rightarrow D_{CP\pm} K^-) - \Gamma(B^+ \rightarrow D_{CP\pm} K^+)}{\Gamma(B^- \rightarrow D_{CP\pm} K^-) + \Gamma(B^+ \rightarrow D_{CP\pm} K^+)}$$

$$= \frac{\pm 2r_B \sin \delta_B \sin \phi_3}{R_{\pm}}$$

## ADS法 Kπ, Flavor Specific



$$R_{ADS} = \frac{\Gamma(B^- \rightarrow D_{sup} K^-) + \Gamma(B^+ \rightarrow D_{sup} K^+)}{\Gamma(B^- \rightarrow D_{fav} K^-) + \Gamma(B^+ \rightarrow D_{fav} K^+)}$$

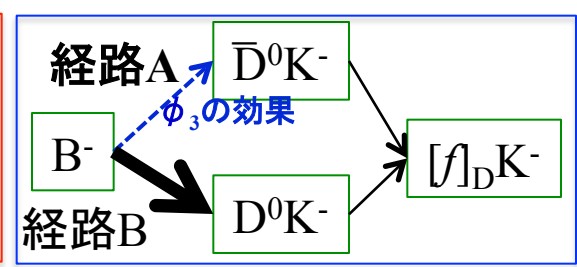
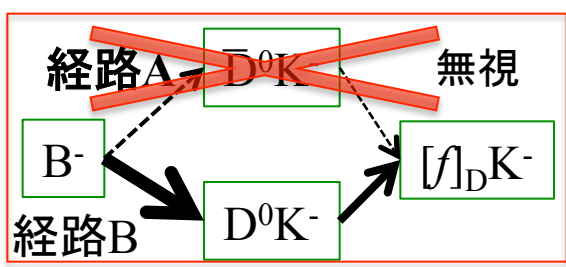
$$= r_B^2 + r_D^2 + 2r_B r_D \cos(\delta_B + \delta_D) \cos \phi_3$$

$$A_{ADS} = \frac{\Gamma(B^- \rightarrow D_{sup} K^-) - \Gamma(B^+ \rightarrow D_{sup} K^+)}{\Gamma(B^- \rightarrow D_{sup} K^-) + \Gamma(B^+ \rightarrow D_{sup} K^+)}$$

$$= \frac{\pm 2r_B r_D \sin(\delta_B + \delta_D) \sin \phi_3}{R_{ADS}}$$

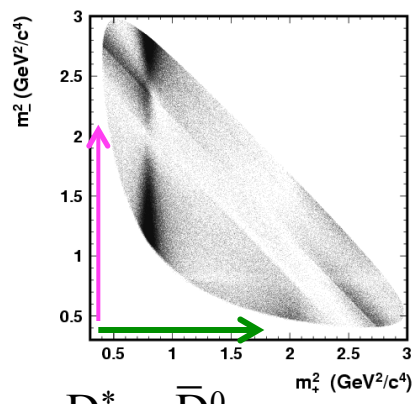
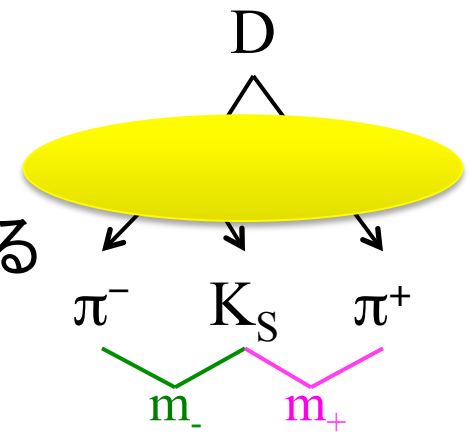
$r_B$  : 経路A,Bの比(B崩壊の比)  
 $\delta_B$  : B崩壊の強い相互作用の位相差

$r_D$  : D崩壊の比  
 $\delta_D$  : D崩壊の強い相互作用の位相差

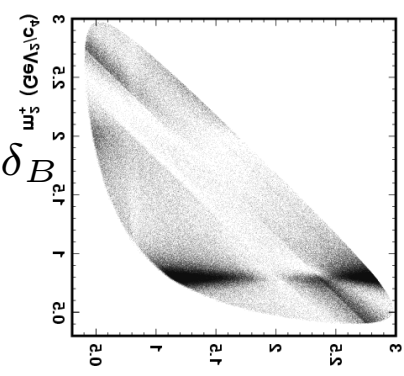


# GGSZ法

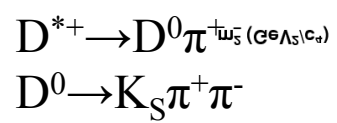
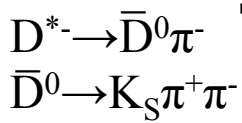
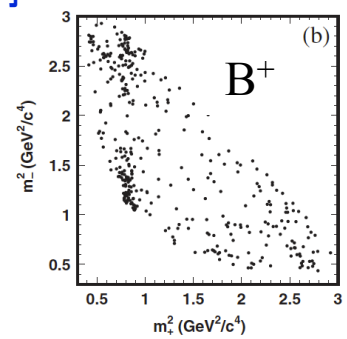
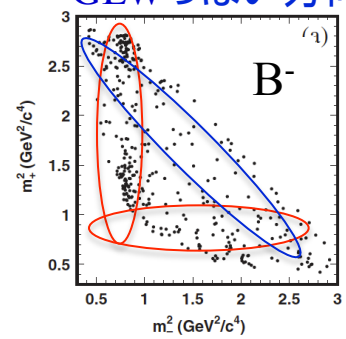
- $D \rightarrow K_S \pi \pi$ , etc
  - D崩壊が三体崩壊
  - 三体崩壊のレゾナンス分布に $\phi_3$ の影響が現れる
    - ・ 経由するレゾナンス(Dalitz図の場所)によって D崩壊の強い相互作用の位相( $\delta_D$ )が異なる



$$+ r_B e^{\pm i\phi_3 + i\delta_B}$$



ADSっぽい方向  
GLWっぽい方向



典型的に求める四つの変数

$$x_{\pm} = r_B \cos(\pm\phi_3 + \delta_B)$$

$$y_{\pm} = r_B \sin(\pm\phi_3 + \delta_B)$$

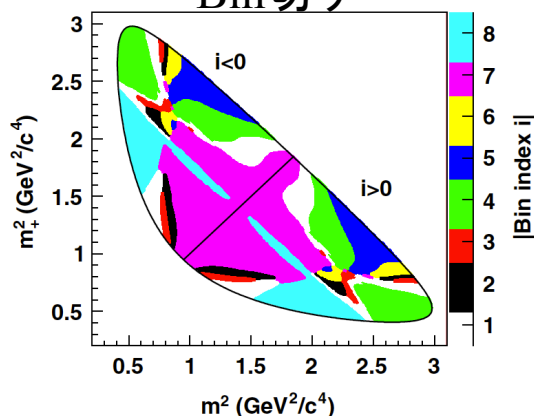
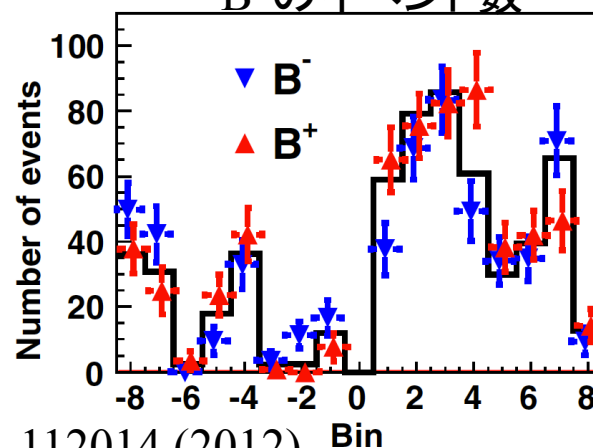
A. Poluektov, PRL 81, 112002 (2010)

$$\phi_3 = (78.4 \pm 3.6(stat.) \pm 8.9(syst.)_{-10.8}^{+11.6}(model))^{\circ}$$

# Model Independent Dalitz

- $D \rightarrow K_S \pi \pi$ , etc
  - D崩壊が三体崩壊
  - 三体崩壊のレゾナンス分布に $\phi_3$ の影響が現れる
    - ・ 経由するレゾナンス(Dalitz図の場所)によってD崩壊の強い相互作用の位相( $\delta_D$ )が異なる
- Dalitz図上 $\delta_D$ 値の等高線を引き、Bin切りして単純にSignalを数える  
Bin毎に $\delta_D$ が解っているので $\phi_3$ が出せる

Bin切り

 $B^\pm$ のイベント数

レゾナンス分布を評価する  
モデルの不定性が無い  
現状では統計エラーが優位  
→D,B Factoryの  
統計が溜まれば  
(次世代D,B Factoryで)  
解決出来る!!

A. Poluektov, PRD 85, 112014 (2012)

$$\phi_3 = (77.3_{-14.9}^{+15.1} \pm 4.1 \pm 4.3)^\circ$$

$$r_B = 0.145 \pm 0.030 \pm 0.010 \pm 0.011$$

$$\delta_B = (129.9 \pm 15.0 \pm 3.8 \pm 4.7)^\circ$$

# $\phi_3$ 測定

- $B^- \rightarrow DK^-$ 
    - GLW法  
 $D \rightarrow \pi\pi$ , CP Eigenstate
      - Signal大きい
      - CP非対称性小さい
    - ADS法  
 $D \rightarrow K\pi$ , Flavor Specific
      - Signal小さい
      - CP非対称性大きい
    - GGSZ法(Dalitz)  
 $D \rightarrow K_S \pi\pi$ , 三体崩壊
      - GLWとADSを引っ括め解析
- 現在の $\phi_3$ は  
これらの結果を  
Combineしたものの

全部ひっくるめて、連立方程式を作る事になるので、他のモードを解析すればする程 $\phi_3$ の制限がかかる！

# 中性Bでの $\phi_3$ 測定

- $B^- \rightarrow DK^-$ 
  - GLW法  
D $\rightarrow\pi\pi$ , CP Eigenstate
    - Signal大きい
    - CP非対称性小さい
  - ADS法  
D $\rightarrow K\pi$ , Flavor Specific
    - Signal小さい
    - CP非対称性大きい
  - GGSZ法(Dalitz)  
D $\rightarrow K_S\pi\pi$ , 三体崩壊
    - GLWとADSを引っ括め解析

← 同様の方法がとれる →

- $\bar{B}^0 \rightarrow D\bar{K}^{*0}$ 
  - GLW法
  - ADS法
  - GGSZ法(Dalitz)

**Belleの  
Full Dataで  
解析しているのは  
自分だけ**

中性Bで同様に解析した時の欠点と利点

→ 次ページ

# 中性Bでの $\phi_3$ 測定

•  $B^- \rightarrow DK^-$

← 同様の方法がとれる →

•  $\bar{B}^0 \rightarrow D\bar{K}^{*0}$

– 崩壊分岐比

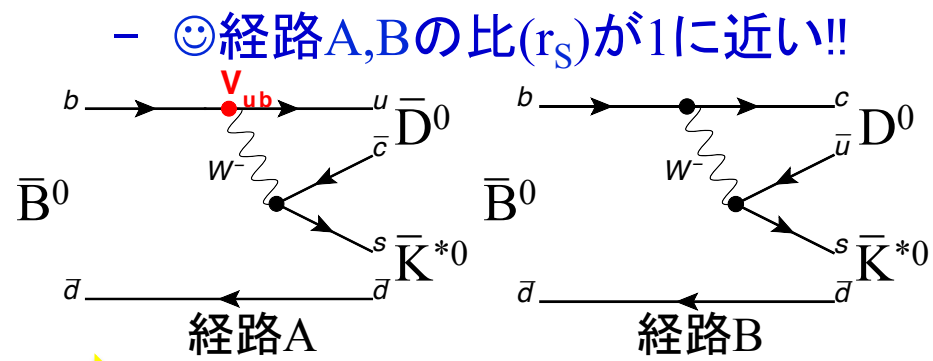
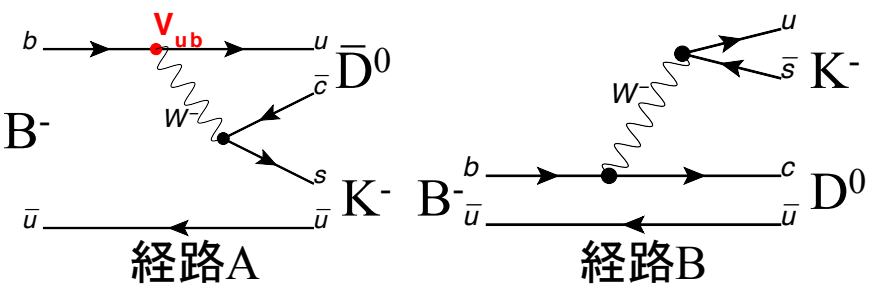
$$\text{Br}(B^- \rightarrow D^0 K^-) = (3.68 \pm 0.33) \times 10^{-4}$$

~ 1/10

– ☹分岐比は小さい

$$\text{Br}(B^0 \rightarrow D^0 \bar{K}^{*0}) = (4.2 \pm 0.6) \times 10^{-5}$$

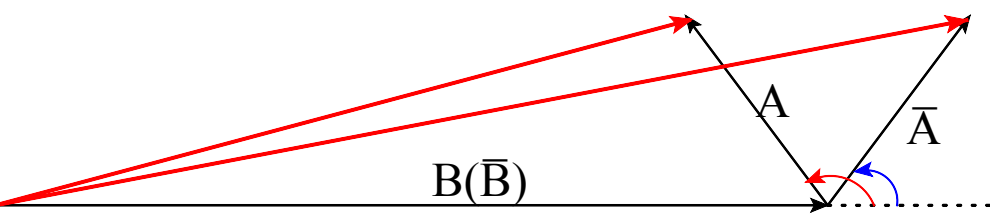
– 経路A,Bの比



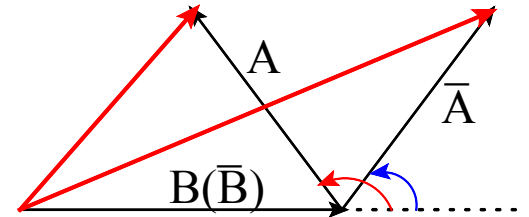
$$r_B(DK) = 0.099 \pm 0.008$$

~ 10 倍(?)

$$r_S(\text{expected}) \sim r_B \times 9$$



右の方が非対称度 測り易い



– ☺  $K^{*0} \rightarrow K^+ \pi^-$  による B Flavor Tag

$$K^{*0} \rightarrow \begin{cases} K^+ \pi^- & \sim 2/3 \\ K^0 \pi^0 & \sim 1/3 \end{cases}$$

$B^0$ - $\bar{B}^0$  混合の効果が入らない

# $B^0 \rightarrow DK^{*0}$

• 今までやった事

- ADS法

D $\rightarrow$ K $\pi$ にて $R_{ADS}$ を測定

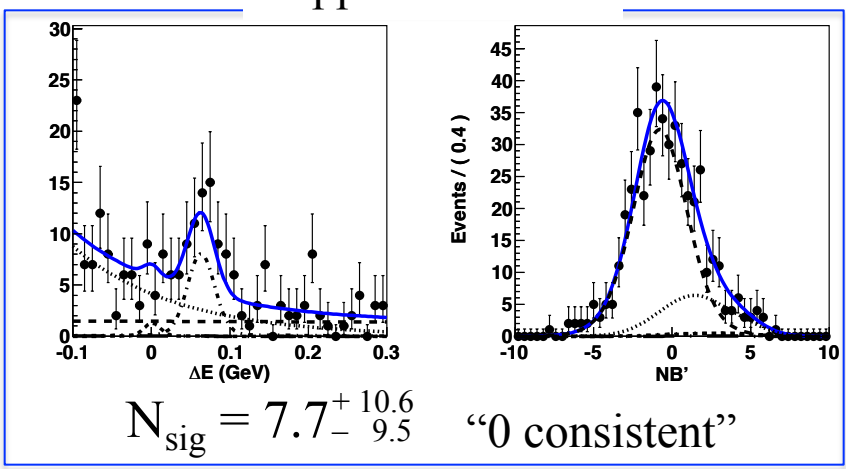
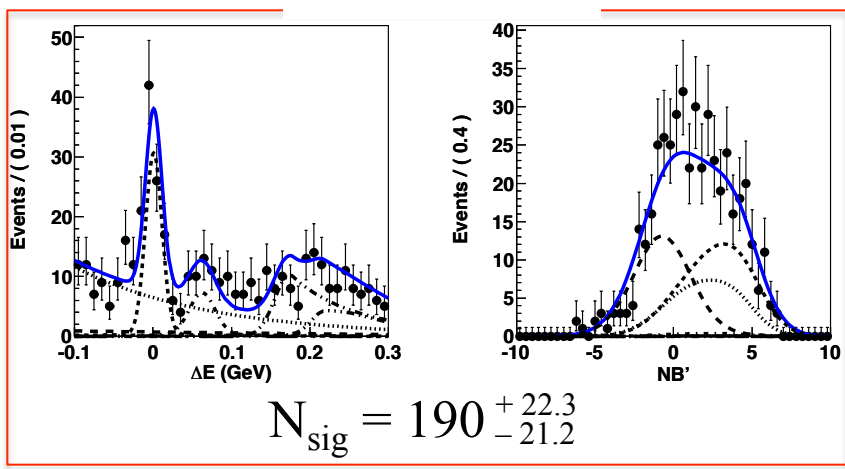
$$R_{DK^*} \cong \frac{\Gamma(B^0 \rightarrow [K^+\pi^-]_D K^{*0}) + \Gamma(\bar{B}^0 \rightarrow [K^-\pi^+]_D K^{*0})}{\Gamma(B^0 \rightarrow [K^-\pi^+]_D K^{*0}) + \Gamma(\bar{B}^0 \rightarrow [K^+\pi^-]_D \bar{K}^{*0})} = r_S^2 + r_D^2 + 2kr_S r_D \cos(\delta_S + \delta_D) \cos \phi_3$$

Suppressed mode

Favored

Favored mode

Suppressed mode



- Signal - - -
- BB BG •••
- q $\bar{q}$  BG —
- D $^0\rho^0$  - - - •
- D $^0K^+$  - - - •••
- D $^0\pi^+$  - ••• - •••

PRD 86, 011101 (2012)

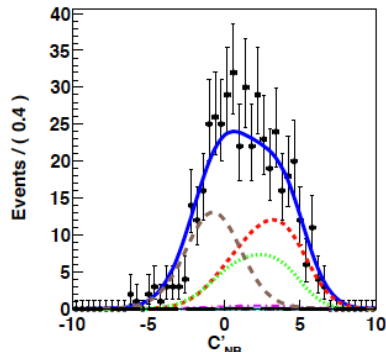
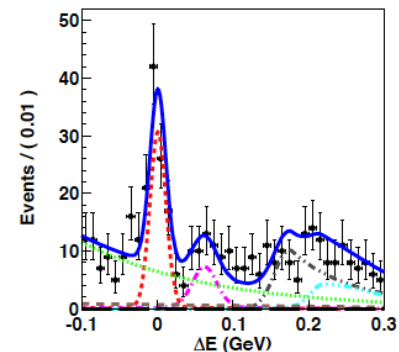
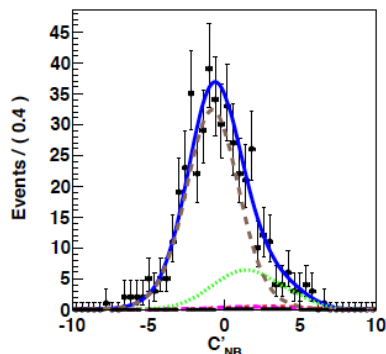
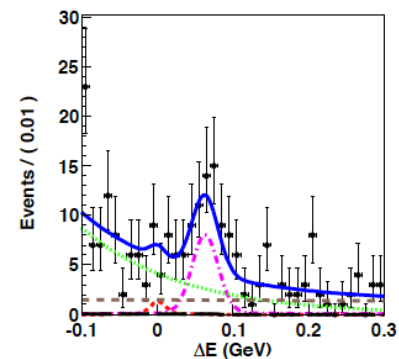
-  $R_{ADS} = (4.5^{+5.6+2.8}_{-5.0-1.8}) \times 10^{-2} < 0.16$  (@ 95 % C.L.)

$r_D^2 = (3.80 \pm 0.10) \times 10^{-3}$  (PDG)  
 $k \sim 1$  (BaBar simulation studies)  
 から  $R_{DK^*} \sim r_S^2$  (非常に保守的に) として  
 $r_S < 0.4$  ← 予想値より小さい可能性!!

• これからやる事

- D $\rightarrow$ K $_S\pi\pi$  Model Independent Dalitz

# $B^0 \rightarrow [K\pi]_D K^{*0}$ ADS method

[戻る](#)


| Mode                                   | $\epsilon$ (%) | $N$                   | $\mathcal{R}_{DK^{*0}}$              |
|--|----------------|-----------------------|--------------------------------------|
| $B^0 \rightarrow [K^+ \pi^-]_D K^{*0}$ | $21.0 \pm 0.3$ | $190^{+22.3}_{-21.2}$ | $(4.1^{+5.6}_{-5.0}) \times 10^{-2}$ |
| $B^0 \rightarrow [K^- \pi^+]_D K^{*0}$ | $20.9 \pm 0.3$ | $7.7^{+10.6}_{-9.5}$  |                                      |

| Source                        | Uncertainty [ $10^{-2}$ ] |
|-------------------------------|---------------------------|
| Signal PDFs                   | +0.1 – 0.2                |
| $\bar{D}^0 \rho^0$ PDFs       | +0.0 – 0.1                |
| Combinatorial $B\bar{B}$ PDFs | +1.8 – 1.2                |
| Peaking background PDFs       | +0.1 – 0.1                |
| $q\bar{q}$ PDFs               | +2.2 – 1.4                |
| $\bar{D}^0 K^+$ PDFs          | +0.0 – 0.0                |
| $\bar{D}^0 \pi^+$ PDFs        | +0.0 – 0.1                |
| Fit bias                      | +0.4 – 0.0                |
| Efficiency                    | +0.1 – 0.1                |
| Charmless decay               | +0.0 – 0.3                |
| Combined                      | +2.8 – 1.8                |

$\mathcal{R}_{DK^{*0}} \equiv \Gamma(B^0 \rightarrow [K^- \pi^+]_D K^+ \pi^-) / \Gamma(B^0 \rightarrow [K^+ \pi^-]_D K^+ \pi^-)$  to be  $(4.1^{+5.6+2.8}_{-5.0-1.8}) \times 10^{-2}$

$\mathcal{R}_{DK^{*0}} < 0.16$  at the 95% confidence level

$$\begin{aligned} \mathcal{R}_{DK^{*0}} &\equiv \frac{\Gamma(B^0 \rightarrow [K^- \pi^+]_D K^+ \pi^-)}{\Gamma(B^0 \rightarrow [K^+ \pi^-]_D K^+ \pi^-)} \\ &= r_S^2 + r_D^2 + 2kr_S r_D \cos(\delta_S + \delta_D) \cos \phi_3 \end{aligned}$$

$$r_S = \sqrt{\frac{\Gamma(\bar{B}^0 \rightarrow \bar{D}^0 \bar{K}^{*0})}{\Gamma(\bar{B}^0 \rightarrow D^0 \bar{K}^{*0})}}$$

# $B^0 \rightarrow [K_S \pi \pi]_D K^{*0}$

- $B^0 \rightarrow [K_S \pi \pi]_D K^{*0}$  に Model Independent な Dalitz を適用する

- 予想されるシグナル数

$$N_{\text{sig}} = N_{\text{fav}} \times \frac{Br(D \rightarrow K_S \pi \pi)}{Br(D \rightarrow K \pi)} \times \frac{eff_{K_S \pi \pi}}{eff_{\text{fav}}}$$

$$\sim 190 \times \frac{3 \times 10^{-2}}{4 \times 10^{-2}} \times \frac{9.7 \times 10^{-2}}{21.0 \times 10^{-2}}$$

$$\sim 68 \text{ events}$$

$N_{\text{fav}}$  :  $B^0 \rightarrow [K \pi]_D K^{*0}$  Favored Mode の  
シグナル数

$eff_{\text{fav}(K_S \pi \pi)}$  :  $B^0 \rightarrow [K \pi]_D K^{*0}$  Favored Mode  
( $B^0 \rightarrow [K_S \pi \pi]_D K^{*0}$ ) の検出効率

- 参考) 荷電 B で同等程度の Signal 統計による  $\phi_3$  測定の結果 (Belle)

- A. Poluktov, PRD 70, 072003 (2004)

$B^- \rightarrow D^{(*)} K^-$  で Model Dependent

$$\phi_3 = (77_{-19}^{+17} \pm 13 \pm 11(\text{model}))^\circ$$

DK<sup>-</sup> 146 events  $\rightarrow r_B = 0.26_{-0.14}^{+0.10}$   
(D<sup>\*</sup>K<sup>-</sup> 39 events)  $\sim 2\sigma$  で求まっている

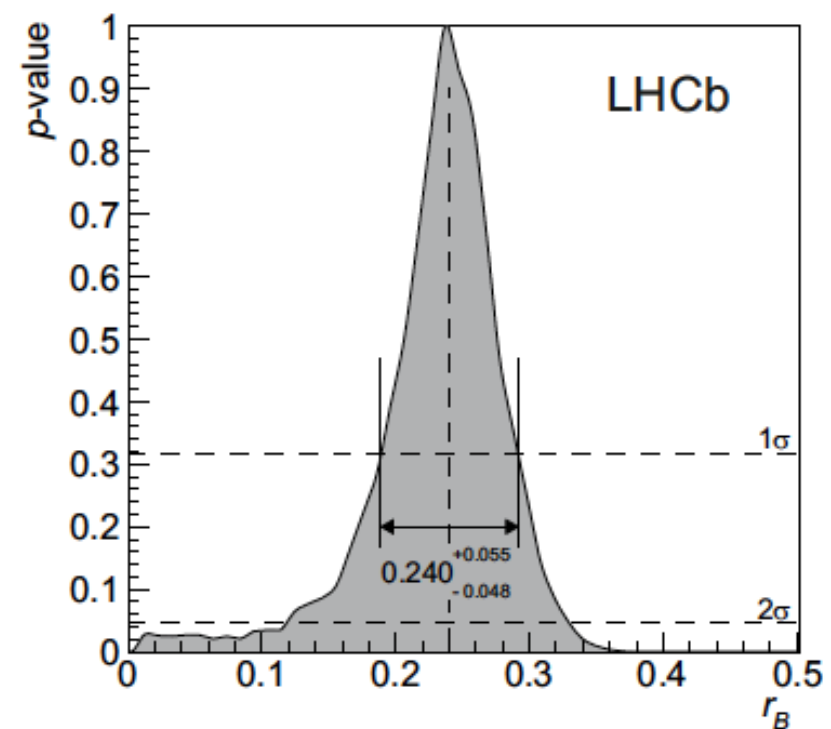
- 統計では Factor  $\sim 1/2$  程度だが、  
中性 B の方が非対称度が大きい

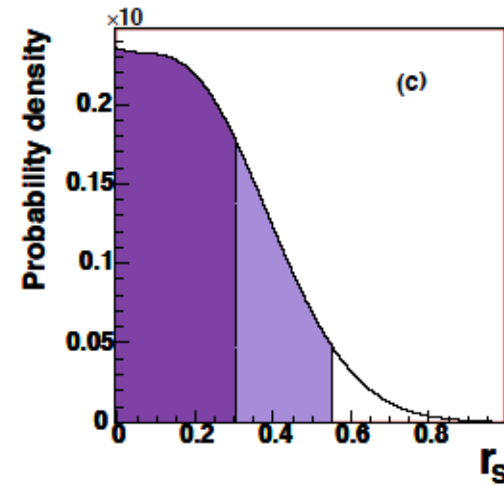
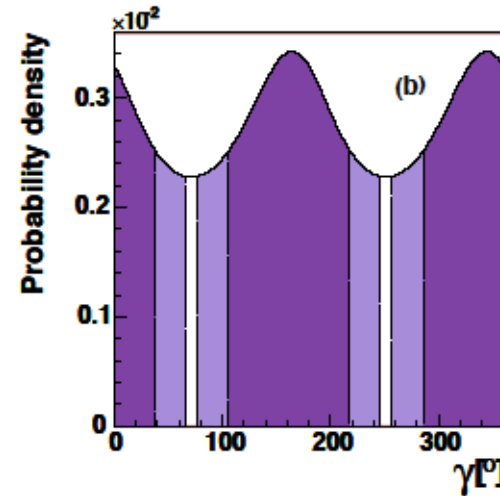
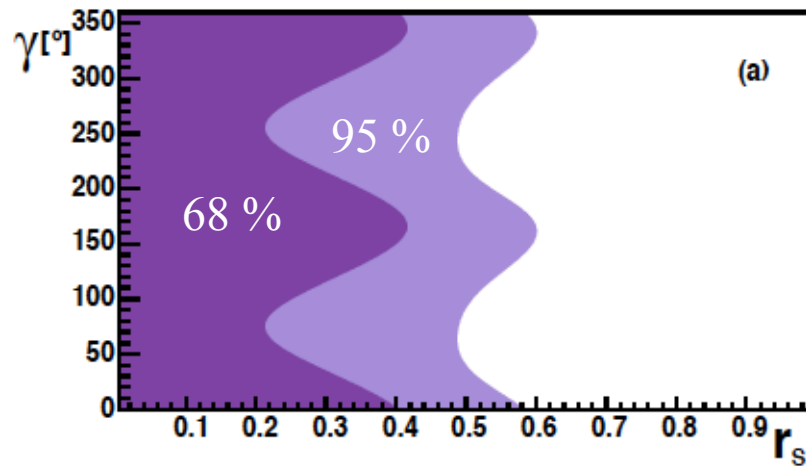
# LHCb $B^0$ ADS+GLW

| Channel   | Signal yield | Channel   | Signal yield |
|---|--------------|---|--------------|
| $\bar{B}^0 \rightarrow D(\pi^- K^+) \bar{K}^{*0}$   | $24 \pm 12$  | $B^0 \rightarrow D(\pi^+ K^-) K^{*0}$           | $26 \pm 12$  |
| $\bar{B}^0 \rightarrow D(K^- \pi^+) \bar{K}^{*0}$   | $370 \pm 22$ | $B^0 \rightarrow D(K^+ \pi^-) K^{*0}$           | $405 \pm 23$ |
| $\bar{B}^0 \rightarrow D(K^+ K^-) \bar{K}^{*0}$     | $36 \pm 9$   | $B^0 \rightarrow D(K^+ K^-) K^{*0}$             | $53 \pm 10$  |
| $\bar{B}^0 \rightarrow D(\pi^+ \pi^-) \bar{K}^{*0}$ | $18 \pm 6$   | $B^0 \rightarrow D(\pi^+ \pi^-) K^{*0}$         | $21 \pm 7$   |
| $B_s^0 \rightarrow D(\pi^- K^+) \bar{K}^{*0}$       | $933 \pm 33$ | $\bar{B}_s^0 \rightarrow D(\pi^+ K^-) K^{*0}$   | $993 \pm 34$ |
| $B_s^0 \rightarrow D(K^+ K^-) \bar{K}^{*0}$         | $115 \pm 12$ | $\bar{B}_s^0 \rightarrow D(K^+ K^-) K^{*0}$     | $125 \pm 13$ |
| $B_s^0 \rightarrow D(\pi^+ \pi^-) \bar{K}^{*0}$     | $39 \pm 7$   | $\bar{B}_s^0 \rightarrow D(\pi^+ \pi^-) K^{*0}$ | $35 \pm 7$   |

$$\begin{aligned}
 \mathcal{A}_d^{KK} &= -0.20 \pm 0.15 \pm 0.02, & \mathcal{A}_d^{\pi\pi} &= -0.09 \pm 0.22 \pm 0.02, \\
 \mathcal{R}_d^{KK} &= 1.05^{+0.17}_{-0.15} \pm 0.04, & \mathcal{R}_d^{\pi\pi} &= 1.21^{+0.28}_{-0.25} \pm 0.05, \\
 \mathcal{R}_d^+ &= 0.06 \pm 0.03 \pm 0.01, & \mathcal{R}_d^- &= 0.06 \pm 0.03 \pm 0.01, \\
 \mathcal{R}_{ds}^{KK} &= 0.10 \pm 0.02 \pm 0.01, & \mathcal{R}_{ds}^{\pi\pi} &= 0.15 \pm 0.04 \pm 0.01, \\
 \mathcal{A}_s^{KK} &= -0.04 \pm 0.07 \pm 0.02, & \mathcal{A}_s^{\pi\pi} &= 0.06 \pm 0.13 \pm 0.02, \\
 \mathcal{A}_d^{K\pi} &= -0.03 \pm 0.04 \pm 0.02, & \mathcal{A}_s^{K\pi} &= -0.01 \pm 0.03 \pm 0.02,
 \end{aligned}$$

- $3.0 \text{ fb}^{-1}$  @ LHC pp collision



BaBar  $B^0$  Dalitz

68 %

$$\begin{aligned} \gamma &= (162 \pm 56)^\circ \text{ or } (342 \pm 56)^\circ; \\ \delta_S &= (62 \pm 57)^\circ \text{ or } (242 \pm 57)^\circ; \\ r_S &< 0.30; \end{aligned}$$

95 %

$$\begin{aligned} \gamma &\in [77, 247]^\circ \text{ or } [257, 426]^\circ; \\ \delta_S &\in [-23, 147]^\circ \text{ or } [157, 327]^\circ; \\ r_S &< 0.55. \end{aligned}$$

- $371 \times 10^6$  BB @ BaBar
- Signal  $39 \pm 9$
- eff.  $(10.8 \pm 0.5) \%$

# Belle $B^\pm$ Dalitz Mod.-Ind.

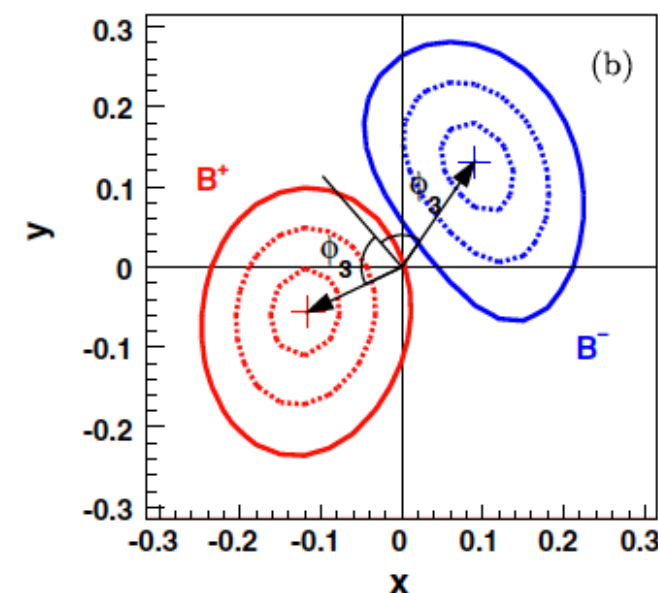
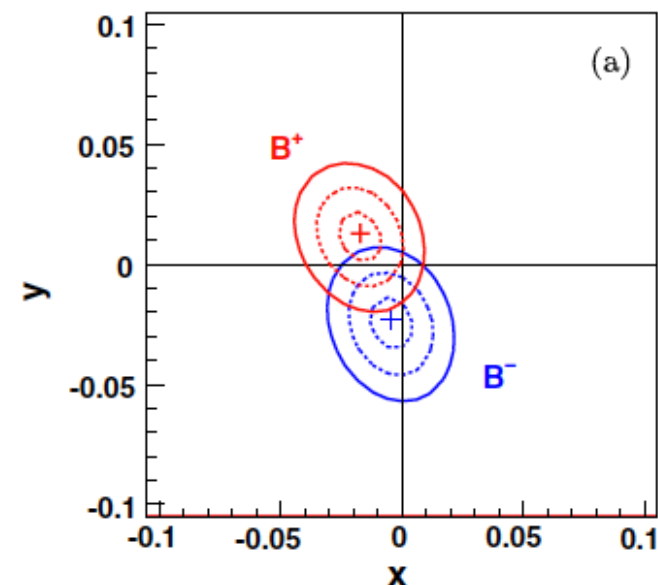
| Bin $i$ | $N_i^-$          | $N_i^+$          |
|---------|------------------|------------------|
| -8      | $49.8 \pm 8.2$   | $37.8 \pm 7.5$   |
| -7      | $42.2 \pm 8.6$   | $24.9 \pm 7.2$   |
| -6      | $0.0 \pm 1.9$    | $3.4 \pm 2.9$    |
| -5      | $9.6 \pm 4.5$    | $23.6 \pm 6.2$   |
| -4      | $32.9 \pm 7.5$   | $42.1 \pm 8.3$   |
| -3      | $3.5 \pm 2.8$    | $0.7 \pm 2.5$    |
| -2      | $11.3 \pm 4.1$   | $0.0 \pm 1.3$    |
| -1      | $16.6 \pm 5.4$   | $7.7 \pm 4.4$    |
| 1       | $37.6 \pm 8.0$   | $65.1 \pm 9.9$   |
| 2       | $68.6 \pm 9.6$   | $75.5 \pm 9.8$   |
| 3       | $83.4 \pm 10.1$  | $82.4 \pm 10.2$  |
| 4       | $49.3 \pm 9.1$   | $86.5 \pm 11.4$  |
| 5       | $34.0 \pm 7.3$   | $38.3 \pm 7.6$   |
| 6       | $34.8 \pm 6.8$   | $41.9 \pm 7.5$   |
| 7       | $70.8 \pm 10.6$  | $46.4 \pm 9.0$   |
| 8       | $9.4 \pm 4.3$    | $14.2 \pm 5.1$   |
| Total   | $574.9 \pm 29.9$ | $601.6 \pm 30.8$ |

| Parameter               | $B^\pm \rightarrow D\pi^\pm$               | $B^\pm \rightarrow DK^\pm$                     |
|-------------------------|--|--|
| $x_-$                   | $-0.0045 \pm 0.0087 \pm 0.0049 \pm 0.0026$ | $+0.095 \pm 0.045 \pm 0.014 \pm 0.010$         |
| $y_-$                   | $-0.0231 \pm 0.0107 \pm 0.0041 \pm 0.0065$ | $+0.137^{+0.053}_{-0.057} \pm 0.015 \pm 0.023$ |
| $\text{corr}(x_-, y_-)$ | $-0.189$                                   | $-0.315$                                       |
| $x_+$                   | $-0.0172 \pm 0.0089 \pm 0.0060 \pm 0.0026$ | $-0.110 \pm 0.043 \pm 0.014 \pm 0.007$         |
| $y_+$                   | $+0.0129 \pm 0.0103 \pm 0.0059 \pm 0.0065$ | $-0.050^{+0.052}_{-0.055} \pm 0.011 \pm 0.017$ |
| $\text{corr}(x_+, y_+)$ | $-0.205$                                   | $+0.059$                                       |

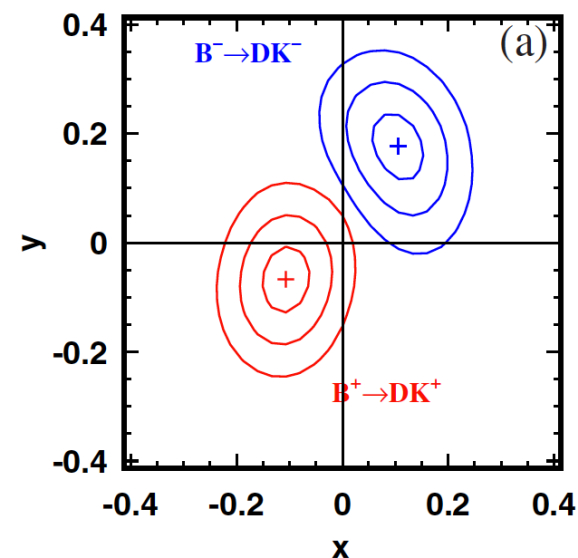
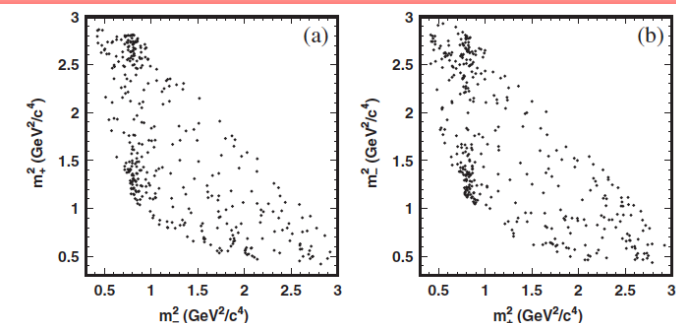
$$\phi_3 = (77.3^{+15.1}_{-14.9} \pm 4.1 \pm 4.3)^\circ$$

$$r_B = 0.145 \pm 0.030 \pm 0.010 \pm 0.011$$

$$\delta_B = (129.9 \pm 15.0 \pm 3.8 \pm 4.7)^\circ,$$



# Belle $B^\pm$ Dalitz Mod.-Dep.

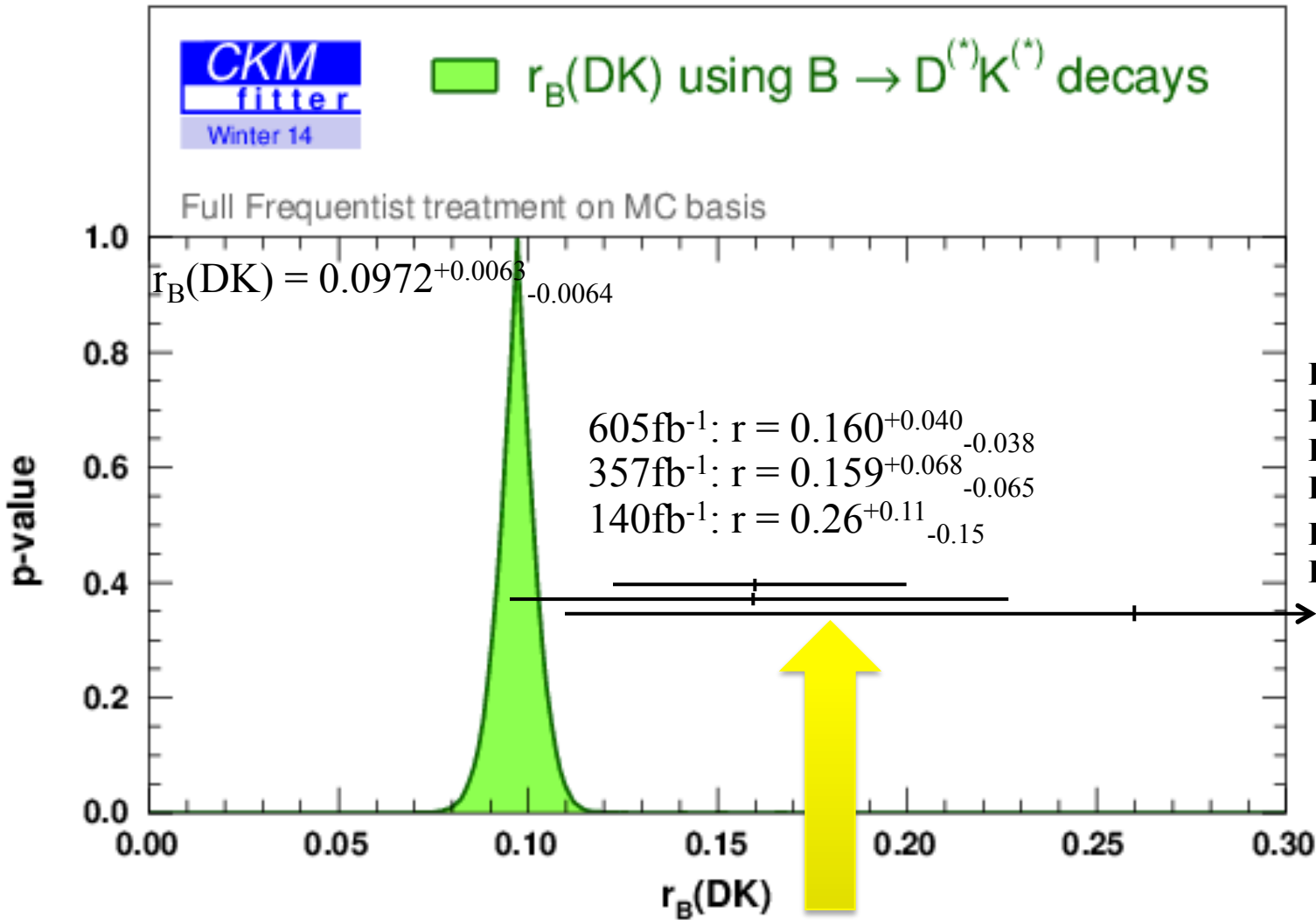


| Parameter               | $B^+ \rightarrow DK^+$       |
|-------------------------|------------------------------|
| $x_-$                   | $+0.105 \pm 0.047 \pm 0.011$ |
| $y_-$                   | $+0.177 \pm 0.060 \pm 0.018$ |
| $x_- - y_-$ correlation | $-0.289$                     |
| $x_+$                   | $-0.107 \pm 0.043 \pm 0.011$ |
| $y_+$                   | $-0.067 \pm 0.059 \pm 0.018$ |
| $x_+ - y_+$ correlation | $+0.110$                     |

| Intermediate state    | Amplitude           | Phase ( $^\circ$ ) | Fit fraction (%)  |
|-----------------------|---------------------|--------------------|-------------------|
| $K_S \sigma_1$        | $1.56 \pm 0.06$     | $214 \pm 3$        | $11.0 \pm 0.7$    |
| $K_S \rho^0$          | 1.0 (fixed)         | 0 (fixed)          | $21.2 \pm 0.5$    |
| $K_S \omega$          | $0.0343 \pm 0.0008$ | $112.0 \pm 1.3$    | $0.526 \pm 0.014$ |
| $K_S f_0(980)$        | $0.385 \pm 0.006$   | $207.3 \pm 2.3$    | $4.72 \pm 0.05$   |
| $K_S \sigma_2$        | $0.20 \pm 0.02$     | $212 \pm 12$       | $0.54 \pm 0.10$   |
| $K_S f_2(1270)$       | $1.44 \pm 0.04$     | $342.9 \pm 1.7$    | $1.82 \pm 0.05$   |
| $K_S f_0(1370)$       | $1.56 \pm 0.12$     | $110 \pm 4$        | $1.9 \pm 0.3$     |
| $K_S \rho^0(1450)$    | $0.49 \pm 0.08$     | $64 \pm 11$        | $0.11 \pm 0.04$   |
| $K^*(892)^+ \pi^-$    | $1.638 \pm 0.010$   | $133.2 \pm 0.4$    | $62.9 \pm 0.8$    |
| $K^*(892)^- \pi^+$    | $0.149 \pm 0.004$   | $325.4 \pm 1.3$    | $0.526 \pm 0.016$ |
| $K^*(1410)^+ \pi^-$   | $0.65 \pm 0.05$     | $120 \pm 4$        | $0.49 \pm 0.07$   |
| $K^*(1410)^- \pi^+$   | $0.42 \pm 0.04$     | $253 \pm 5$        | $0.21 \pm 0.03$   |
| $K_0^*(1430)^+ \pi^-$ | $2.21 \pm 0.04$     | $358.9 \pm 1.1$    | $7.93 \pm 0.09$   |
| $K_0^*(1430)^- \pi^+$ | $0.36 \pm 0.03$     | $87 \pm 4$         | $0.22 \pm 0.04$   |
| $K_2^*(1430)^+ \pi^-$ | $0.89 \pm 0.03$     | $314.8 \pm 1.1$    | $1.40 \pm 0.06$   |
| $K_2^*(1430)^- \pi^+$ | $0.23 \pm 0.02$     | $275 \pm 6$        | $0.093 \pm 0.014$ |
| $K^*(1680)^+ \pi^-$   | $0.88 \pm 0.27$     | $82 \pm 17$        | $0.06 \pm 0.04$   |
| $K^*(1680)^- \pi^+$   | $2.1 \pm 0.2$       | $130 \pm 6$        | $0.30 \pm 0.07$   |
| Nonresonant           | $2.7 \pm 0.3$       | $160 \pm 5$        | $5.0 \pm 1.0$     |

| Parameter | $B^+ \rightarrow DK^+$ mode                           |
|-----------|---|
| $\phi_3$  | $(80.8^{+13.1}_{-14.8} \pm 5.0 \pm 8.9)^\circ$        |
| $r$       | $0.161^{+0.040}_{-0.038} \pm 0.011^{+0.050}_{-0.010}$ |
| $\delta$  | $(137.4^{+13.0}_{-15.7} \pm 4.0 \pm 22.9)^\circ$      |

# $r_B$ のずれ



Phys. Rev. D 70, 072003  
 Published 22 Oct. 2004  
 Phys. Rev. D 73, 112009  
 Published 29 June 2006  
 Phys. Rev. D 81, 112002  
 Published 16 June 2010

Modelに依るバイアスではないのだろうか...

CLEO  $c_i, s_i$ 

$$c_i = \frac{\int_{\mathcal{D}_i} \sqrt{p_D \bar{p}_D} \cos(\Delta\delta_D(m_+^2, m_-^2)) d\mathcal{D}}{\sqrt{\int_{\mathcal{D}_i} p_D d\mathcal{D} \int_{\mathcal{D}_i} \bar{p}_D d\mathcal{D}}},$$

The coefficients  $K_i$  are obtained precisely from a very large sample of  $D^0$  decays in the flavor eigenstate, which is accessible at  $B$ -factories. The expected number of events in the Dalitz plot of  $D_{CP}$  decay equals to

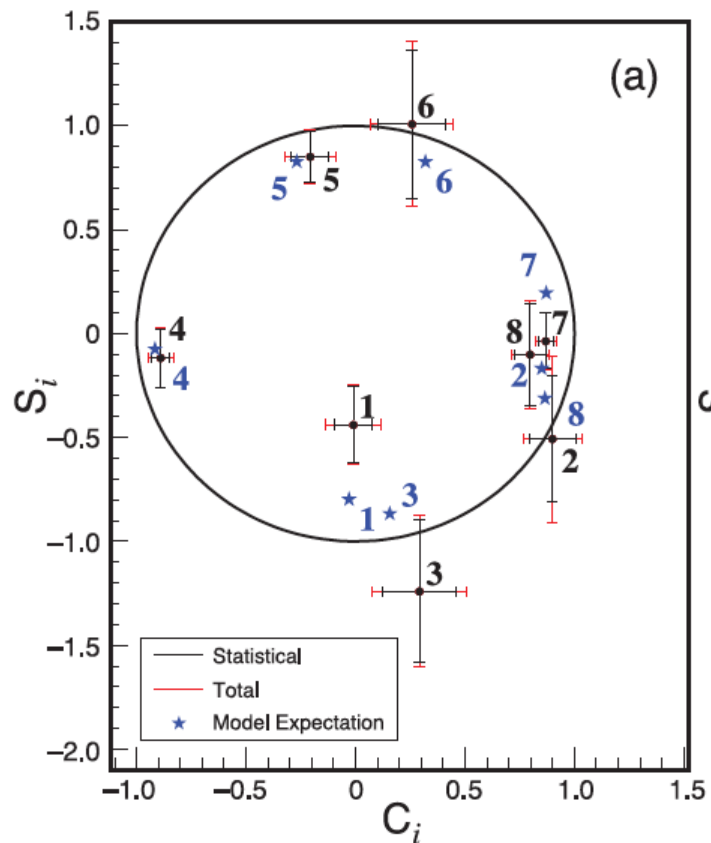
$$\langle M_i \rangle = h_{CP} [K_i + K_{-i} + 2\sqrt{K_i K_{-i}} c_i], \quad (10)$$

and thus can be used to obtain the coefficient  $c_i$ . As soon as the  $c_i$  and  $s_i$  coefficients are known, one can obtain  $x$  and  $y$  values (hence,  $\phi_3$  and other related quantities) by a maximum likelihood fit using equation (8).

In the case of a binned analysis, the number of events in the region of the  $(K_S^0 \pi^+ \pi^-)^2$  phase space is

$$\langle M \rangle_{ij} = h_{\text{corr}} [K_i K_{-j} + K_{-i} K_j - 2\sqrt{K_i K_{-i} K_j K_{-j}} (c_i c_j + s_i s_j)]. \quad (14)$$

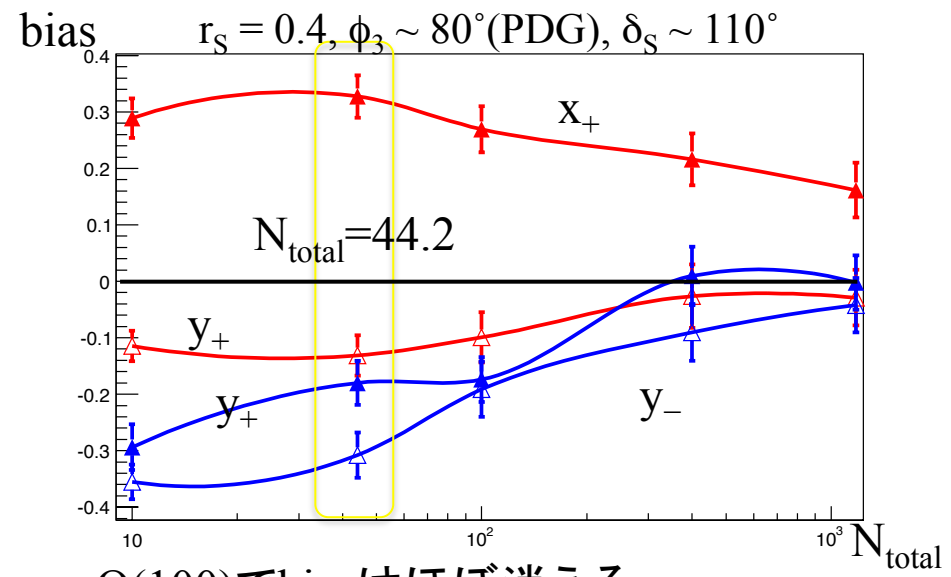
Here two indices correspond to two  $D$  mesons from  $\psi(3770)$  decay. It is logical to use the same binning as in the case of  $D_{CP}$  statistics to improve the precision of the determination of  $c_i$  coefficients, and to obtain  $s_i$  from data without model assumptions, contrary to  $D_{CP}$  case. Note that in the case of using  $(K_S^0 \pi^+ \pi^-)^2$  decays, the parameters  $c_i$  and  $s_i$  are treated as independent variables. The obvious advantage of this approach is its being unbiased for any finite  $(K_S^0 \pi^+ \pi^-)^2$  statistics (not only asymptotically as in the case of  $D_{CP}$  data).



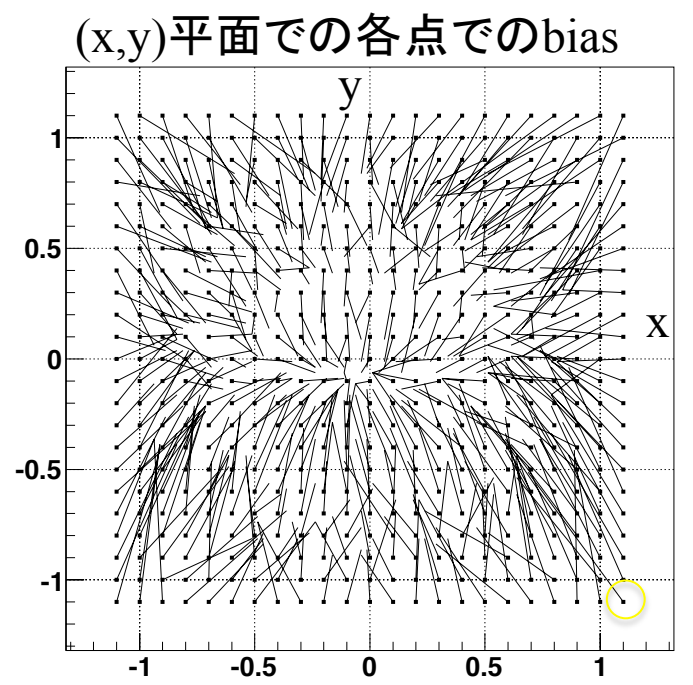
|       | CLEO measurement             |
|-------|------------------------------|
| $c_1$ | $-0.009 \pm 0.088 \pm 0.094$ |
| $c_2$ | $+0.900 \pm 0.106 \pm 0.082$ |
| $c_3$ | $+0.292 \pm 0.168 \pm 0.139$ |
| $c_4$ | $-0.890 \pm 0.041 \pm 0.044$ |
| $c_5$ | $-0.208 \pm 0.085 \pm 0.080$ |
| $c_6$ | $+0.258 \pm 0.155 \pm 0.108$ |
| $c_7$ | $+0.869 \pm 0.034 \pm 0.033$ |
| $c_8$ | $+0.798 \pm 0.070 \pm 0.047$ |
| $s_1$ | $-0.438 \pm 0.184 \pm 0.045$ |
| $s_2$ | $-0.490 \pm 0.295 \pm 0.261$ |
| $s_3$ | $-1.243 \pm 0.341 \pm 0.123$ |
| $s_4$ | $-0.119 \pm 0.141 \pm 0.038$ |
| $s_5$ | $+0.853 \pm 0.123 \pm 0.035$ |
| $s_6$ | $+0.984 \pm 0.357 \pm 0.165$ |
| $s_7$ | $-0.041 \pm 0.132 \pm 0.034$ |
| $s_8$ | $-0.107 \pm 0.240 \pm 0.080$ |

# Bias vs $N_{total}$

- $N_{total}$  を変えるとbiasが無くなる



O(100)でbiasはほぼ消える



$$N_i = h_B [K_i + (x^2 + y^2) K_{-i} + 2k \sqrt{K_i K_{-i}} (x c_i + y s_i)]$$

$r_s$ 方向に巻き付く

(シグナルの小数統計とBGの大統計)  
 $r_s$ が大きいと、小さい方にバイアスを持つ

